



Groupe RDConsultants

**GROUPE RD CONSULTANTS**  
38, CHEMIN MARIE-LOUISE  
LAC-SAINT-PAUL, QUEBEC, CANADA, J0W 1K0  
B. +1.819.587.2567 / C. +1.514.260.2567  
[r.dufour@rdconsultants.ca](mailto:r.dufour@rdconsultants.ca)  
[www.rdconsultants.ca](http://www.rdconsultants.ca)

**RAPPORT DES TRAVAUX DE RECONNAISSANCE GÉOLOGIQUE**  
**PROJET DE LA MONAZITE D'OBAYE - PE 71**  
**Territoire de WALIKALE, NORD-KIVU**  
**REPUBLIQUE DEMOCRATIQUE DU CONGO**



CAN COBALT INC  
KIBARA MINERALS SARL

À l'attention de :  
Pierre GAUTHIER  
Jean-Claude LUSINDE

Équipe de terrain :  
Rodrigue MUSIMWA  
Géologue  
Alphonse KIZITO  
Ingénieur

Supervisé et préparé par :   
Richard DUFOUR, P. Eng.

**Réf. : GE20-317**

**Décembre 2020**

**EN CONFORMITÉ AVEC LA NORME NI 43-101**



## TABLE DES MATIÈRES

|   | <b>PAGE</b> |
|---|-------------|
| 1. INTRODUCTION .....   | - 1 -       |
| 2. OBJECTIFS DE LA MISSION .....                                  | - 3 -       |
| 3. MISE EN CONTEXTE .....   | - 4 -       |
| 4. ACCESSIBILITÉ SUR LE SITE .....                                | - 6 -       |
| 5. RÉGLEMENTATION ET CERTIFICATION DE LA PERSONNE QUALIFIÉE ..... | - 7 -       |
| 5.1 CERTIFICATION DE LA PERSONNE QUALIFIÉE .....                  | - 7 -       |
| 6. PRÉSENTATION GÉOMORPHOLOGIQUE DU SITE .....                    | - 9 -       |
| 7. TRAVAUX DE TERRAIN .....                                       | - 10 -      |
| 8. PRÉSENTATION DES OBSERVATIONS GEOLOGIQUES .....                | - 11 -      |
| 9. PRÉSENTATION DES ÉCHANTILLONS .....                            | - 17 -      |
| 10. MEHODE D'ECHANTILLONNAGE .....                                | - 18 -      |
| 11. TRAVAUX DE LABORATOIRE .....                                  | - 19 -      |
| 12. RATIOS DE CONCENTRATIONS DES ÉCHANTILLONS .....               | - 20 -      |
| 13. CONCLUSIONS .....   | - 22 -      |
| 14. RECOMMANDATIONS .....   | - 25 -      |

## LISTE DES TABLEAUX

|   |    |
|---|----|
| Tableau 1 : Coordonnées et descriptions des échantillons prélevés .....         | 17 |
| Tableau 2 : Principaux résultats des analyses avec moyennes et écart type ..... | 19 |
| Tableau 3 : Ratios de concentrations des échantillons lavés versus bruts .....  | 20 |

## LISTE DES ANNEXES

### ANNEXE 1

PLAN DE LA REGION

PLAN DES CONTOURS DES PE-71 ET PE-75

PLAN DU CONTOUR DU PE-71 AVEC LES POINTS DE PRELEVEMENT

LISTE DES COORDONNEES DES PE-71 ET PE-75 TIREES DU CADASTRE MINIER (CAMI)

PLAN DE LOCALISATION DES ECHANTILLONS ET DES ZONES MINERALISEES

### ANNEXE 2

ALBUM PHOTOGRAPHIQUE

### ANNEXE 3

CERTIFICATS D'ANALYSES

### ANNEXE 4

EXTRAIT DE : OPPORTUNITIES IN DRC : COPPER, TANTALITE & RARE EARTHS DEPOSITS - KIBARA  
MINERALS MARCH 2020, PAGE 7 ET 8

ACCORD D'ACHAT DE MINERAI DU 12 SEPTEMBRE 2019

ACCORD D'ACHAT DE MINERAI DU 3 NOVEMBRE 2020

ACCORD PRELIMINAIRE DE PARTENARIAT ENTRE SAKIMA SA ET KIBARA MINERALS SARLU

### ANNEXE 5

RAPPORT : CRITICAL REVIEW OF THE NAL PLANT RESTARTING OPTIONS, DECEMBER 2020

## **1. INTRODUCTION**

Une mission de vérification, d'échantillonnage, d'étude géologique et d'élaboration d'un rapport de reconnaissance géologique a été organisée par l'équipe de RD Consultants Congo, sous les directives et la supervision immédiate (DSI) de Groupe RD Consultants Canada, selon le mandat octroyé de Central America Nickel Inc (CAN) et Monsieur Pierre Gauthier, Chairman & CEO et sa filiale congolaise, KIBARA MINERALS SARL.

La présente investigation a été réalisée sous la DSI de Richard Dufour, ingénieur senior en géologie (no membre OIQ : 112421), Président de Groupe RD Consultants Canada (9187-0238 QUEBEC INC). La présente étude constitue la première partie d'une série d'étapes d'investigation en conformité avec la Norme NI 43101.

Monsieur Dufour a été gradué de l'École Polytechnique de Montréal en 1993 avec un baccalauréat en science appliquée, génie géologique et a pratiqué sans interruption sa profession depuis 1993. Depuis, il a été impliqué en exploration minérale pour l'or, le cuivre, le plomb, le cobalt, le nickel, l'uranium, le tungstène, la colombite-tantalite et l'étain au Canada, au Chili, au Pérou, au Sénégal, au Mali, au Rwanda et en RD Congo ; en conséquence de quoi, il est une Personne Qualifiée au sens de la Norme NI 43-101.

M. Dufour a dirigé diverses campagnes d'exploration minière en RD Congo depuis 15 ans, notamment dans les provinces du Maniema, Nord et Sud Kivu, Tanganyika, Lualaba, Haut-Katanga et Kasai Oriental et Occidental.

De plus, M. Dufour et son bureau d'études en génie géologique sont indépendants de CAN, ce qui est en accord avec l'article 1.4 de la Norme NI 43-101.

Cette mission avait comme point de départ un gîte alluvionnaire qui fut une ancienne exploitation d'étain effectuée par la société SOMINKI sous l'occupation belge et après, qui dura environ 80 ans, où une exploitation artisanale de la part de la coopérative de creuseurs Okapi du village d'Obaye est en cours pour l'étain résiduel des anciens rejets de l'ancienne mine et des alluvions présents.

Il est à noter que ladite concession minière, soit le PE-71 est présentement la propriété de la Société Aurifère du Kivu et du Maniema (SAKIMA SARL), une société publique congolaise.

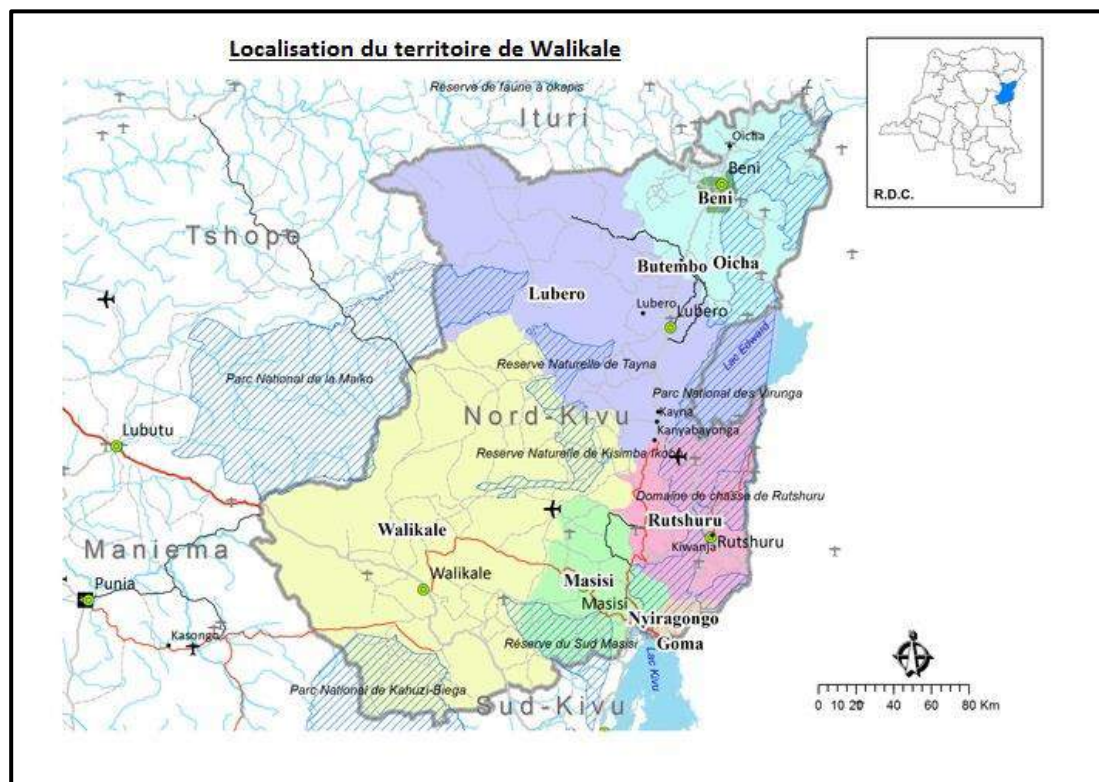
Le gîte en question est situé dans le territoire de Walikale, village d'Obaye dans la province du Nord-Kivu en RD Congo. La mission des travaux de reconnaissance a été effectuée par l'équipe de RD Consultants - Congo du 7 Novembre au 4 décembre 2020



sur ledit site à potentialités de monazite contenant des éléments des terres rares (REE) et de cassitérite contenant l'oxyde d'étain.

Le présent rapport présente les observations faites sur terrain dans le cadre du projet de reconnaissance géologique sur le PE 71, dans la zone des rejets de l'ancienne mine de la SOMINKI (voir la figure 1, le plan de la région et les contours des PE-71 et PE-75 de la SAKIMA ainsi que les coordonnées des sommets de ces contours tirés du CAMI en annexe 1). De plus, les résultats des analyses chimiques sont présentés et interprétés suivis des conclusions et recommandations.

**Figure 1 : Localisation du territoire de Walikale et la province du Nord-Kivu à l'intérieur de la R D Congo**



## **2. OBJECTIFS DE LA MISSION**

L'objet principal de la mission était de circonscrire la zone de sable à potentialité de monazite, de parcourir la concession sommairement, de définir des points de prélèvement de réaliser des sondages de l'ordre de 1,0 à 1,5 m de profondeur d'effectuer les descriptions et de prélever des échantillons composés représentatifs des sols aux droits des sondages ou des rejets rencontrés.

Les échantillons récoltés ont été acheminés à Lubumbashi pour les expédier au laboratoire d'analyses chimiques accrédité au Canada.

Il est à noter que la présente investigation n'était pas une cartographie exhaustive de la zone de monazite menant à une évaluation des réserves, mais une première vérification des données terrain à la suite de l'achat de petites quantités aux artisanaux et des résultats des analyses chimiques sur les quantités achetées à deux reprises en 2019 et 2020. La zone de travail des artisanaux et la zone de l'ancienne laverie de l'ancienne mine de la SOMINKI, ainsi que les environs immédiats des divers rejets et alluvions présents ont été échantillonnés.

L'objectif de la mission était donc de confirmer la provenance de ces quantités de minerai achetées et de vérifier une première étendue possible en surface et en profondeur au moyen des dix-huit points de prélèvement échantillonnés.



### 3. MISE EN CONTEXTE

En fonction de ce qui précède, il est nécessaire de faire une récapitulation des ententes survenues depuis 2019 jusqu'à ce jour et des étapes franchies par Kibara Minerals SARL afin d'arriver à une récente entente avec la société d'état SAKIMA SARL qui permettra de procéder à une campagne d'exploration, de cartographie et de géochimie pour réaliser à court terme un calcul des réserves, une étude de faisabilité et une exploitation graduelle.

**La première entente survenue** (voir en annexe 4) est l'accord d'achat du minerai du 12 septembre 2019 d'une durée de deux ans et renouvelable entre Kibara Minerals et la Coopérative Minière Okapi.

Par la suite, un échantillon en vrac de concentré de la coopérative minière Okapi fut livré à Kisangani et expédié au laboratoire indépendant IGS de Delson, Québec, Canada (voir les pages 7 et 8 du document intitulé : Opportunities in DRC : copper, tantalite & rare earths deposits – Kibara Minerals march 2020 pour les résultats d'analyses et les détails sur l'opération).

Les résultats positifs en termes d'oxyde furent les suivants :

Gadolinium (Gd) : 0,19%  
Lanthane (La) : 4,95%  
Néodyme (Nd) : 11,05%  
Samarium (Sm) : 1,17%  
Terbium (Tb) : 4,16%  
Praséodyme (Pr) : 18,20%  
Cérium (Ce) : 19,08%

De plus, le Thorium (Th) a titré à 0,01% lors de cette analyse, ce laisse penser à l'absence possible de radioactivité significative.

**La deuxième entente survenue** (voir en annexe 4) est l'accord d'achat du minerai du 3 novembre 2020 de cinq ans et renouvelable entre Kibara Minerals et la Coopérative Minière Okapi.

Sous la première et la deuxième entente, à la suite des bons résultats de la première étape, cinq (5) tonnes de minerai furent achetés par Kibara Minerals et livrés par la Coopérative Minière Okapi à Kisangani. Le 7 novembre 2020, l'équipe de terrain de RD Consultants Congo a procédé à la mise en pile, au quartage et au prélèvement de façon statistiquement représentative de huit (8) échantillons de plus ou moins 2 kg chacun (voir l'album

photographique aux pages 14 à 17, photos 54 à 71 en annexe 3 et les certificats d'analyses du laboratoire IGS en annexe 4).

Par la suite, les 8 échantillons furent étiquetés et expédiés de Kisangani à Lubumbashi, puis au laboratoire indépendant IGS de Delson, Québec, Canada par les professionnels de RD Consultants Congo.

Les résultats positifs en termes de métaux furent les suivants sur un échantillon composé et représentatif des huit échantillons prélevés :

Gadolinium (Gd) : 1,03%  
Lanthane (La) : 8,10%  
Néodyme (Nd) : 11,50%  
Samarium (Sm) : 1,99%  
Praséodyme (Pr) : 2,92%  
Dysprosium (Dy) : 0,20%  
Europium (Eu) : 0,29%  
Yttrium (Y) : 0,41%  
Cérium (Ce) : 19,90%

De plus, le Phosphore ( $P_2O_5$ ) a titré à 23,64%, le Galium (Ga) à 0,84%, le Germanium (Ge) à 0,11%, le Strontium à 0,13%, le Sélénium à 0,49%, l'étain (Sn) à 2,72%, lors de cette analyse. Pour ce qui est du Thorium (Th), il a titré à 0,55% et l'Uranium (U) à 0,046%, ce qui laisse penser à l'absence de radioactivité significative.

Par la suite, à la constatation de ces deuxièmes résultats tout à fait intéressants et concordants avec la première analyse, l'équipe de RD Consultants Congo fut dépêchée sur le site pour réaliser la mission du 8 novembre au 4 décembre 2020 dont les résultats sont détaillés dans les chapitres suivants avec l'objectif décrit précédemment.

**La troisième entente survenue** (voir en annexe 4), à la suite des résultats de la présente mission, est l'accord préliminaire du 11 décembre 2020 avec la société d'état SAKIMA SARL, portant sur les PE-71 et PE-75, qui permettra de procéder à une campagne d'exploration, de cartographie et de géochimie pour réaliser à court terme un calcul des réserves, une étude de faisabilité et finalement, une exploitation graduelle des alluvions et divers rejets des anciennes exploitations du village d'Obaye (voir le plan des contours des PE-71 et PE-75 en annexe 1).



#### **4. ACCESSIBILITÉ SUR LE SITE**

En provenance de la ville de Kisangani dans la province du Tshopo, la distance à parcourir est d'environ 445 km par route carrossable, soit la route Nationale N3, en passant par le territoire de Lubutu dans la province du Maniema, jusqu'à la ville de Walikale au Nord-Kivu. De là, on est obligé de faire au moins 2 heures et demie de marche à pieds en traversant la rivière Lowa au moyen d'une pirogue pour arriver au village d'Obaye (voir l'album photographique en annexe).

Une autre voie d'accès est la route de Walikale en provenance de la ville de Goma en empruntant la route R529 via la ville de Masisi, dans la province du Nord-Kivu, d'une distance de 230 km. Toutefois, cela n'exclue pas le 2 heures et demie de marche à partir de la route nationale N3 après la ville de Walikale pour arriver sur le site.

Signalons que sur la distance à parcourir en provenance de Goma quoiqu'inférieure à celle de Kisangani, la route est actuellement à l'état de délabrement.

## **5. RÉGLEMENTATION ET CERTIFICATION DE LA PERSONNE QUALIFIÉE**

La présente étude constitue la première partie d'une série d'étapes d'investigation en conformité avec la Norme NI 43101.

La personne qualifiée est Richard Dufour, ingénieur en géologie, enregistré à l'Ordre des Ingénieurs du Québec, CANADA, opérant en République Démocratique du Congo comme Président de RD CONSULTANTS CONGO et au Canada comme Président de 9187-0238 Québec Inc., opérant sous la raison sociale GROUPE RD CONSULTANTS.

### **5.1 Certification de la personne qualifiée**

Je, Richard Dufour, ing., déclare être ingénieur résidant au 76 chemin Marie-Louise, Lac-St-Paul, Québec, Canada.

Je suis l'auteur du rapport technique intitulé "RAPPORT DES TRAVAUX DE RECONNAISSANCE GÉOLOGIQUE (PE 71) et daté de Décembre 2020.

Je suis un membre en règle (#112421) de l'Ordre des Ingénieurs du Québec, Canada.

J'ai gradué de l'École Polytechnique de Montréal en 1993 avec un baccalauréat en science appliquée, génie géologique et j'ai pratiqué sans interruption ma profession depuis 1993.

Depuis 1993 j'ai été impliqué en exploration minérale pour l'or, le cuivre, le plomb, le cobalt, le nickel, l'uranium, le tungstène, la colombite-tantalite et l'étain au Canada, au Chili, au Pérou, au Sénégal, au Mali, au Rwanda et en RD Congo; en conséquence de quoi, je suis une Personne Qualifiée au sens de la Norme NI 43-101.

Je suis un ingénieur en géologie, en RDC, à l'emploi et Président de RD CONSULTANTS CONGO, une société de consultation et contractuelle en géologie, et j'occupe ce poste depuis février 2015, soit depuis sa création, au Canada, à l'emploi et Président de 9187-0238 Québec Inc., opérant sous la raison sociale GROUPE RD CONSULTANTS, et j'occupe ce poste depuis septembre 2007, soit depuis sa création.


J'ai examiné le permis d'exploitation PE 71, j'ai vérifié et contrôlé les documents fournis par le client.



Je suis indépendant de CENTRAL AMERICA NICKEL INC en accord avec l'article 1.4 de la Norme NI 43-101. Je n'ai eu aucune implication antérieurement quant au permis d'exploitation PE 71.

J'ai lu la Norme NI 43-101. En date de cette certification, ce rapport contient toute l'information requise par son Annexe 43-101A1 à l'égard de la propriété.

Fait à Lac Saint-Paul, Canada, le 30 décembre 2020.

  
Richard Dufour, ing.



## 6. PRÉSENTATION GÉOMORPHOLOGIQUE DU SITE

La figure ci-dessous montre quelques images indiquant que la concession PE-71 se trouve localisée sur une succession de collines avec un relief plus ou moins montagneux, avec une plaine dominée par des cours d'eau faisant l'objet de quelques d'exploitations artisanales.

Voir l'album photographique, pages 1 à 5, photos 1 à 21 en annexe 2 pour plus de détails sur l'aspect des accès au site, la géomorphologie de la région et un aperçu des villages présents.

**Figure 2- Morphologie du PE 71**



## **7. TRAVAUX DE TERRAIN**

Les travaux de terrain ont été effectués du 8 novembre au 4 décembre 2020 par Rodrigue MUSIMWA, Géologue et Alphonse KIZITO, ingénieur de RD Consultants Congo (société congolaise filiale de Groupe RDConsultants, entreprise canadienne), sous la supervision de Richard DUFOUR, ingénieur senior.

Il s'est agi d'une première visite de reconnaissance, telle que décrite au chapitre 2 – Objectifs de la mission, afin de produire un état des lieux géologique pour une éventuelle poursuite du projet. Au total, trente (30) échantillons ont été prélevés dans les dix-huit (18) points de prélèvements réalisés à des profondeurs entre 0,80 et 1,3 m. Un échantillon composé des sols bruts argilo-sablonneux, représentatif des puits creusés, a d'abord été récolté, puis un lavage d'une partie représentative a été pratiqué par les professionnels de RD Consultants Congo avec les outils de base utilisés par les artisans.

De plus, dans la zone de l'ancienne laverie de l'ancienne mine, les rejets ont été échantillonnés, ainsi que dans les zones où œuvrent les artisans.

Il est à noter que lors de la campagne d'échantillonnage, les limites nord, sud, est et ouest de la zone d'alluvions contenant la monazite n'ont pas été atteintes, ni la profondeur limite où il n'y aurait plus de monazite présente.

Le plan de localisation des échantillons et des zones minéralisées en annexe 1 montre trois (3) contours rectangulaires entourant les zones échantillonnées, dont les limites ne sont pas celles où la minéralisation se termine mais elles sont des limites arbitraires où la minéralisation est présumée s'étendre sur cette surface au minimum.

Les étapes suivantes qui constitueront une campagne d'exploration, de cartographie et de géochimie pour réaliser à court terme un calcul des réserves, une étude de faisabilité et finalement, une exploitation graduelle des alluvions et divers rejets des anciennes exploitations du village d'Obaye pourront déterminer les limites réelles d'exploitation dans toutes les directions.

## 8. PRESENTATION DES OBSERVATIONS GEOLOGIQUES

La zone suivant les sites ciblés ayant déjà fait l'objet d'une exploitation artisanale ou semi-industrielle ou alors industrielle dans le passé a été investiguée.

Ainsi des échantillons ont été prélevés et les endroits de prélèvement ont été décrits suivant les observations. Les coordonnées captées au GPS sont en UTM (WGS84) et présentées suivant Est/Nord/Élévation.

- Aux coordonnées 581443/9851135/597m, site d'exploitation artisanale de la cassitérite dont le sable contiendrait de la monazite. Deux échantillons prélevés au point P1 :  
OBY001 (sol argilo-sablonneux non lavé)  
OBY002 (sable lavé)



Note : environ 100kg de sable brut ont donné plus ou moins 2kg de sable lavé qui contiendrait de la monazite.

- Aux coordonnées 581455/9851170/608m  
Sol argilo-sablonneux brunâtre à grisâtre avec abondance de graviers de quartz dans un petit puits de prélèvement creusé jusqu'à 0,80m de profondeur au point P2 :  
OBY003 : non lavé  
OBY004 : lavé
- Aux coordonnées 581266/9851177/606m, sol argilo-sablonneux brunâtre à grisâtre avec des graviers de quartz dans une tranchée des artisans conduisant l'eau jusqu'à l'endroit de lavage des remblais pour la cassitérite.  
Point de prélèvement P3 :  
OBY005 : non lavé  
OBY006 : lavé





- Aux coordonnées 580776/9851399/603, sable avec graviers de quartz à 1,5m de profondeur d'un puits creusé sur un ancien site d'exploitation artisanale.



Point de prélèvement P4 :

OBY007 : non lavé

OBY008 : sable lavé

- Aux coordonnées 580471/9852030/599m

Point de prélèvement P5 :

OBY009 : non lavé

OBY010 : sable lavé

- Aux coordonnées 581209/9852664/602m, puits creusé au travers des rejets de l'ancienne exploitation de la cassitérite à l'époque coloniale.



Point de prélèvement P6 :

OBY011 : rejets de l'exploitation de la cassitérite

OBY012 : sable tiré à 1,30m de profondeur puis lavé

OBY013 : sable non lavé

- Aux coordonnées 581229/9852652/599m, sable prélevé dans un étang de pisciculture actuel, site de l'ancienne laverie de l'ancienne mine.

Point de prélèvement P7 :

OBY014



- Aux coordonnées 581201/9852682/613m, puits creusé jusqu'à plus ou moins 0,80m de profondeur dans un sol argilo-sablonneux jaunâtre à brunâtre.

Point de prélèvement P8 :

OBY015 : sable lavé

OBY016 : non lavé



- Aux coordonnées 581216/9852704/610m, rejets de l'exploitation artisanale de la cassitérite dans un cours d'eau.



Point de prélèvement P9 :

OBY017

OBY018

- Aux coordonnées 581741/9854162/610m, sol argilo-sablonneux jaunâtre à brunâtre dans un puits de plus ou moins 1m.

Point de prélèvement P10 :

OBY0119 : sable non lavé

OBY020 : lavé

- Aux coordonnées 581497/9854337/607m, sol argilo-sablonneux jaunâtre à brunâtre dans un puits creusé jusqu'à 0,80m.



Point de prélèvement P11 :  
OBY021 : sable non lavé  
OBY022 : lavé

Notons qu'au-delà des observations et échantillons faits sur l'ensemble du site, quelques puits de plus ou moins 1,00 à 1,30m de profondeur sur une maille de plus ou moins 300m x 300m, ont aussi été exécutés et prélevés.

Signalons de plus que ce site est actif pour l'exploitation artisanale de la cassitérite bien que le nombre des creuseurs demeure minime.

Il s'agit des puits aux coordonnées :

- 581186/9850986/621m, puits de plus ou moins 1,00m de profondeur dans un sol argilo-sablonneux jaunâtre à brunâtre.  
Point de prélèvement P12 :  
OBY023 : sable non lavé
- 581144/9851259/615m, puis de 1,00m de profondeur avec un sable argileux jaunâtre à brunâtre.  
Point de prélèvement P13 :  
OBY024 : sable non lavé
- 581494/9851438/616m, puits de 1,20m de profondeur dans un sol argilo-sablonneux jaunâtre à brunâtre.  
Point de prélèvement P14 :  
OBY025 : sable non lavé
- 581758/9851152/616m, sol argilo-sablonneux jaunâtre à brunâtre, traversé par un puits de 1,20m.  
Point de prélèvement P15 :  
OBY026 : sable non lavé
- 581491/9850849/622m, puits de 1,00m de profondeur traversant un sol argileux jaunâtre jusqu'à 0,60m et un sol argilo-sablonneux jaunâtre à brunâtre entre 0,60 et 1,00m de profondeur.  
Point de prélèvement P16 :  
OBY027 : sable non lavé



- 581312/9852391/608m, puits de 1,30m de profondeur dans un sol argilo-sablonneux jaunâtre.  
Point de prélèvement P17 :  
OBY028 : sable non lavé
- 580800/9851421/605m, échantillonnage dans la rivière Mayabuto.  
Point de prélèvement P18 :  
OBY029  
OBY030

Tous les échantillons prélevés ont été étiquetés et expédiés pour préparation et analyse au laboratoire COALIA à Thedford Mines au Québec, Canada.

## 9. PRÉSENTATION DES ÉCHANTILLONS

Le tableau 1 suivant fait la synthèse des échantillons prélevés, leur nomenclature, leur position GPS et les descriptions sommaires.

**Tableau 1 : Coordonnées et descriptions des échantillons prélevés**

| N° | Project | N°Point de prélevement | Field_ID | Sample_ID | Northing (WGS84) | Easting (WGS84) | Elevation (NMM) | Descriptions  |
|----|---------|------------------------|----------|-----------|------------------|-----------------|-----------------|---|
| 1  | Obaye   | P1                     | OBY001   | 365210    | 581443           | 9851135         | 597             | sol argilo-sablonneux                                       |
| 2  | Obaye   | P1                     | OBY002   | 365211    | 581443           | 9851135         | 597             | sable lavé  |
| 3  | Obaye   | P2                     | OBY003   | 365212    | 581455           | 9851170         | 608             | sol argilo-sablonneux                                       |
| 4  | Obaye   | P2                     | OBY004   | 365213    | 581455           | 9851170         | 608             | sable lavé  |
| 5  | Obaye   | P3                     | OBY005   | 365214    | 581266           | 9851177         | 606             | sol argilo-sablonneux                                       |
| 6  | Obaye   | P3                     | OBY006   | 365215    | 581266           | 9851177         | 606             | sable lavé  |
| 7  | Obaye   | P4                     | OBY007   | 365216    | 580776           | 9851399         | 603             | sol argilo-sablonneux                                       |
| 8  | Obaye   | P4                     | OBY008   | 365217    | 580776           | 9851399         | 603             | sable lavé  |
| 9  | Obaye   | P5                     | OBY009   | 365218    | 580471           | 9852030         | 599             | sol argilo-sablonneux                                       |
| 10 | Obaye   | P5                     | OBY010   | 365219    | 580471           | 9852030         | 599             | sable lavé  |
| 11 | Obaye   | P6                     | OBY011   | 365220    | 581209           | 9852664         | 602             | rejets de l'exploitation antérieure, ancienne laverie       |
| 12 | Obaye   | P6                     | OBY012   | 365221    | 581209           | 9852664         | 602             | sable lavé  |
| 13 | Obaye   | P6                     | OBY013   | 365222    | 581209           | 9852664         | 602             | sol argilo-sablonneux                                       |
| 14 | Obaye   | P7                     | OBY014   | 365223    | 581229           | 9852652         | 599             | sable tiré dans un étang, sur le site de l'ancienne laverie |
| 15 | Obaye   | P8                     | OBY015   | 365224    | 581201           | 9852682         | 613             | sable lavé  |
| 16 | Obaye   | P8                     | OBY016   | 365225    | 581201           | 9852682         | 613             | sol argilo-sablonneux                                       |
| 17 | Obaye   | P9                     | OBY017   | 365226    | 581216           | 9852704         | 610             | rejets de l'exploitation artisanale                         |
| 18 | Obaye   | P9                     | OBY018   | 365227    | 581216           | 9852704         | 610             | rejets de l'exploitation artisanale                         |
| 19 | Obaye   | P10                    | OBY019   | 365228    | 581741           | 9854162         | 610             | sol argilo-sablonneux                                       |
| 20 | Obaye   | P10                    | OBY020   | 365229    | 581741           | 9854162         | 610             | sable lavé  |
| 21 | Obaye   | P11                    | OBY021   | 365230    | 581497           | 9854337         | 607             | sable lavé  |
| 22 | Obaye   | P11                    | OBY022   | 365231    | 581497           | 9854337         | 607             | sol argilo-sablonneux                                       |
| 23 | Obaye   | P12                    | OBY023   | 365232    | 581186           | 9850986         | 621             | sol argilo-sablonneux                                       |
| 24 | Obaye   | P13                    | OBY024   | 365233    | 581144           | 9851259         | 615             | sol argilo-sablonneux                                       |
| 25 | Obaye   | P14                    | OBY025   | 365234    | 581494           | 9851438         | 616             | sol argilo-sablonneux                                       |
| 26 | Obaye   | P15                    | OBY026   | 365235    | 581758           | 9851152         | 616             | sol argilo-sablonneux                                       |
| 27 | Obaye   | P16                    | OBY027   | 365236    | 581491           | 9850849         | 622             | sol argilo-sablonneux                                       |
| 28 | Obaye   | P17                    | OBY028   | 365237    | 581312           | 9852391         | 608             | sol argilo-sablonneux                                       |
| 29 | Obaye   | P18                    | OBY029   | 365238    | 580800           | 9851421         | 605             | sol argilo-sablonneux                                       |
| 30 | Obaye   | P18                    | OBY030   | 365239    | 580800           | 9851421         | 605             | sable lavé  |

## **10. MEHODE D'ECHANTILLONNAGE**

Étant dans une zone alluvionnaire avec une couverture végétale considérable, l'échantillon était prélevé au fond après le creusage d'un petit puits de plus ou moins 1,00 à 1,30m de profondeur en vue de trouver du sable en place, d'une part.

D'autre part, les parois de certains petits puits creusés ont été échantillonnées pour avoir un échantillon composite.

Un échantillon a été lavé pour éliminer la partie argileuse et les éléments grossiers de quartz. Un autre échantillon a été conservé à l'état brut pour la plupart des points d'échantillonnage.

Le lavage des échantillons était effectué au moyen d'un bassin plastic dont les creuseurs se servent comme pan lorsque la quantité de sable à laver est petite.

Par endroits, les rejets des exploitants artisanaux à la recherche de la cassitérite ainsi que les rejets l'ancienne exploitation de l'époque coloniale ont été échantillonnés.

## 11. TRAVAUX DE LABORATOIRE

Tous les échantillons ont été transportés à Lubumbashi en vue de les expédier au laboratoire au Canada pour analyse après conditionnement évitant toute contamination possible.

Les analyses ont été effectuées par trois laboratoires canadiens, soit Coalia de Thedford Mines au Québec, IGS de Delson au Québec et Actlabs d'Ancaster en Ontario. Le tableau 2 suivant liste les principaux résultats des analyses de Coalia sur les 30 échantillons prélevés lors de la campagne d'échantillonnage faisant l'objet du présent rapport (voir les différents certificats d'analyses en annexe 4 pour les résultats complets).

**Tableau 2 : Principaux résultats des analyses avec moyennes et écart type**

| N° | N°Point de prélèvement | Sample_ID | CeO2   | Nd2O3 | La2O3 | Pr6O11 | Sm2O3 | Gd2O3 | SnO2   | TiO2   | P2O5   |
|----|------------------------|-----------|--------|-------|-------|--------|-------|-------|--------|--------|--------|
| 1  | P1                     | 365210    | 0,08%  | N/D   | N/D   | N/D    | N/D   | N/D   | N/D    | 0,85%  | N/D    |
| 2  | P1                     | 365211    | 16,15% | 6,75% | 4,84% | 1,49%  | 0,94% | 0,36% | 7,24%  | 7,80%  | 9,44%  |
| 3  | P2                     | 365212    | 1,85%  | 0,77% | 0,59% | 0,11%  | 0,08% | 0,02% | 0,45%  | 1,76%  | 1,39%  |
| 4  | P2                     | 365213    | 19,08% | 7,92% | 5,86% | 1,58%  | 1,12% | 0,40% | 6,15%  | 5,65%  | 11,07% |
| 5  | P3                     | 365214    | 0,38%  | 0,15% | 0,12% | N/D    | N/D   | N/D   | 0,12%  | 1,88%  | 0,32%  |
| 6  | P3                     | 365215    | 23,46% | 9,22% | 6,84% | 1,89%  | 1,37% | 0,53% | 10,75% | 3,26%  | 13,23% |
| 7  | P4                     | 365216    | 0,33%  | 0,15% | 0,10% | N/D    | N/D   | N/D   | 0,05%  | 2,57%  | 0,27%  |
| 8  | P4                     | 365217    | 13,39% | 5,59% | 4,10% | 1,12%  | 0,84% | 0,29% | 8,05%  | 17,94% | 7,55%  |
| 9  | P5                     | 365218    | 0,20%  | 0,09% | 0,06% | N/D    | N/D   | N/D   | N/D    | 2,14%  | 0,18%  |
| 10 | P5                     | 365219    | 8,51%  | 3,54% | 2,47% | 0,70%  | 0,49% | 0,19% | 2,26%  | 3,75%  | 5,55%  |
| 11 | P6                     | 365220    | 9,69%  | 4,29% | 2,98% | 0,78%  | 0,59% | 0,28% | 1,13%  | 21,21% | 6,13%  |
| 12 | P6                     | 365221    | 11,25% | 4,55% | 3,55% | 0,92%  | 0,69% | 0,25% | 1,87%  | 10,90% | 7,03%  |
| 13 | P6                     | 365222    | 0,10%  | N/D   | 0,04% | N/D    | N/D   | N/D   | N/D    | 0,71%  | 0,15%  |
| 14 | P7                     | 365223    | 17,90% | 7,28% | 5,37% | 1,47%  | 1,23% | 0,39% | 1,95%  | 9,18%  | 10,78% |
| 15 | P8                     | 365224    | 1,11%  | 0,46% | 0,41% | 0,02%  | 0,15% | 0,03% | 1,18%  | 0,83%  | 0,93%  |
| 16 | P8                     | 365225    | 0,13%  | N/D   | N/D   | N/D    | N/D   | N/D   | 0,05%  | 0,76%  | 0,11%  |
| 17 | P9                     | 365226    | 7,03%  | 3,30% | 2,17% | 0,64%  | 0,47% | 0,17% | 2,18%  | 18,25% | 4,81%  |
| 18 | P9                     | 365227    | 5,58%  | 2,49% | 1,72% | 0,41%  | 0,35% | 0,14% | 0,94%  | 10,14% | 3,95%  |
| 19 | P10                    | 365228    | 0,09%  | N/D   | N/D   | N/D    | N/D   | N/D   | N/D    | 0,88%  | 0,25%  |
| 20 | P10                    | 365229    | 3,56%  | 1,54% | 1,15% | 0,26%  | 0,33% | 0,05% | 1,30%  | 0,71%  | 2,17%  |
| 21 | P11                    | 365230    | 17,33% | 7,11% | 5,35% | 1,53%  | 1,08% | 0,38% | 2,69%  | 10,85% | 10,62% |
| 22 | P11                    | 365231    | 9,08%  | 3,75% | 2,92% | 0,79%  | 0,68% | 0,28% | 4,98%  | 0,80%  | 5,41%  |
| 23 | P12                    | 365232    | N/D    | N/D   | N/D   | N/D    | N/D   | N/D   | N/D    | 0,85%  | 0,14%  |
| 24 | P13                    | 365233    | 0,04%  | N/D   | N/D   | N/D    | N/D   | N/D   | N/D    | 1,46%  | 0,10%  |
| 25 | P14                    | 365234    | 0,03%  | N/D   | N/D   | N/D    | N/D   | N/D   | N/D    | 0,72%  | 0,08%  |
| 26 | P15                    | 365235    | 1,52%  | 0,70% | 0,46% | 0,14%  | 0,15% | 0,05% | 0,10%  | 0,69%  | 0,92%  |
| 27 | P16                    | 365236    | N/D    | N/D   | N/D   | N/D    | N/D   | N/D   | N/D    | 1,41%  | 0,19%  |
| 28 | P17                    | 365237    | 0,02%  | N/D   | N/D   | N/D    | N/D   | N/D   | N/D    | 1,54%  | 0,11%  |
| 29 | P18                    | 365238    | 0,44%  | 0,14% | 0,13% | N/D    | N/D   | N/D   | 0,09%  | 2,30%  | 0,43%  |
| 30 | P18                    | 365239    | 17,93% | 7,56% | 5,47% | 1,62%  | 1,11% | 0,39% | 5,30%  | 9,25%  | 10,48% |

| Type   | CeO2   | Nd2O3 | La2O3 | Pr6O11 | Sm2O3 | Gd2O3 | SnO2  | TiO2  | P2O5  | Total : |
|--------|--------|-------|-------|--------|-------|-------|-------|-------|-------|---------|
| μ lavé | 11,87% | 4,93% | 3,62% | 1,00%  | 0,74% | 0,27% | 4,66% | 7,19% | 7,06% | 41,34%  |
| σ Lavé | 6,87%  | 2,75% | 2,02% | 0,60%  | 0,37% | 0,15% | 3,18% | 6,40% | 3,79% |         |
| μ brut | 2,41%  | 1,56% | 1,01% | 0,68%  | 0,50% | 0,18% | 0,63% | 3,17% | 1,77% | 11,91%  |
| σ brut | 5,21%  | 2,60% | 1,84% | 0,75%  | 0,52% | 0,18% | 0,97% | 3,69% | 3,33% |         |

Moyenne : μ  
Écart type : σ



## 12. RATIOS DE CONCENTRATIONS DES ÉCHANTILLONS

Le tableau 3 ci-dessous liste les résultats des calculs des ratios de concentrations des échantillons lavés versus les échantillons de sable brut.

**Tableau 3 : Ratios de concentrations des échantillons lavés versus bruts**

| N°                                 | N°Point de prélèvement | Sample_ID | CeO2   | Nd2O3 | La2O3 | Pr6O11 | Sm2O3 | Gd2O3 | SnO2  | TiO2  | P2O5  |
|------------------------------------|------------------------|-----------|--------|-------|-------|--------|-------|-------|-------|-------|-------|
| 1                                  | P1                     | 365210    | 0,08%  | N/D   | N/D   | N/D    | N/D   | N/D   | N/D   | 0,85% | N/D   |
| 2                                  | P1                     | 365211    | 16,15% | 6,75% | 4,84% | 1,49%  | 0,94% | 0,36% | 7,24% | 7,80% | 9,44% |
| Ratio de concentration (lavé/brut) |                        |           | 201,88 |       |       |        |       |       |       | 9,18  |       |

| N°                                 | N°Point de prélèvement | Sample_ID | CeO2   | Nd2O3 | La2O3 | Pr6O11 | Sm2O3 | Gd2O3 | SnO2  | TiO2  | P2O5   |
|------------------------------------|------------------------|-----------|--------|-------|-------|--------|-------|-------|-------|-------|--------|
| 3                                  | P2                     | 365212    | 1,85%  | 0,77% | 0,59% | 0,11%  | 0,08% | 0,02% | 0,45% | 1,76% | 1,39%  |
| 4                                  | P2                     | 365213    | 19,08% | 7,92% | 5,86% | 1,58%  | 1,12% | 0,40% | 6,15% | 5,65% | 11,07% |
| Ratio de concentration (lavé/brut) |                        |           | 10,31  | 10,29 | 9,93  | 14,36  | 14,00 | 20,00 | 13,67 | 3,21  | 7,96   |

| N°                                 | N°Point de prélèvement | Sample_ID | CeO2   | Nd2O3 | La2O3 | Pr6O11 | Sm2O3 | Gd2O3 | SnO2   | TiO2  | P2O5   |
|------------------------------------|------------------------|-----------|--------|-------|-------|--------|-------|-------|--------|-------|--------|
| 5                                  | P3                     | 365214    | 0,38%  | 0,15% | 0,12% | N/D    | N/D   | N/D   | 0,12%  | 1,88% | 0,32%  |
| 6                                  | P3                     | 365215    | 23,46% | 9,22% | 6,84% | 1,89%  | 1,37% | 0,53% | 10,75% | 3,26% | 13,23% |
| Ratio de concentration (lavé/brut) |                        |           | 61,74  | 61,47 | 57,00 |        |       |       | 89,58  | 1,73  | 41,34  |

| N°                                 | N°Point de prélèvement | Sample_ID | CeO2   | Nd2O3 | La2O3 | Pr6O11 | Sm2O3 | Gd2O3 | SnO2  | TiO2   | P2O5  |
|------------------------------------|------------------------|-----------|--------|-------|-------|--------|-------|-------|-------|--------|-------|
| 7                                  | P4                     | 365216    | 0,33%  | 0,15% | 0,10% | N/D    | N/D   | N/D   | 0,05% | 2,57%  | 0,27% |
| 8                                  | P4                     | 365217    | 13,39% | 5,59% | 4,10% | 1,12%  | 0,84% | 0,29% | 8,05% | 17,94% | 7,55% |
| Ratio de concentration (lavé/brut) |                        |           | 40,58  | 37,27 | 41    |        |       |       | 161   | 6,98   | 27,96 |

| N°                                 | N°Point de prélèvement | Sample_ID | CeO2  | Nd2O3 | La2O3 | Pr6O11 | Sm2O3 | Gd2O3 | SnO2  | TiO2  | P2O5  |
|------------------------------------|------------------------|-----------|-------|-------|-------|--------|-------|-------|-------|-------|-------|
| 9                                  | P5                     | 365218    | 0,20% | 0,09% | 0,06% | N/D    | N/D   | N/D   | N/D   | 2,14% | 0,18% |
| 10                                 | P5                     | 365219    | 8,51% | 3,54% | 2,47% | 0,70%  | 0,49% | 0,19% | 2,26% | 3,75% | 5,55% |
| Ratio de concentration (lavé/brut) |                        |           | 42,55 | 39,33 | 41,17 |        |       |       |       | 1,75  | 30,83 |

| N°                                 | N°Point de prélèvement | Sample_ID | CeO2   | Nd2O3 | La2O3 | Pr6O11 | Sm2O3 | Gd2O3 | SnO2  | TiO2   | P2O5  |
|------------------------------------|------------------------|-----------|--------|-------|-------|--------|-------|-------|-------|--------|-------|
| 13                                 | P6                     | 365222    | 0,10%  | N/D   | 0,04% | N/D    | N/D   | N/D   | N/D   | 0,71%  | 0,15% |
| 12                                 | P6                     | 365221    | 11,25% | 4,55% | 3,55% | 0,92%  | 0,69% | 0,25% | 1,87% | 10,90% | 7,03% |
| Ratio de concentration (lavé/brut) |                        |           | 112,5  |       | 88,75 |        |       |       |       | 15,35  | 46,87 |

| N°                                 | N°Point de prélèvement | Sample_ID | CeO2  | Nd2O3 | La2O3 | Pr6O11 | Sm2O3 | Gd2O3 | SnO2  | TiO2  | P2O5  |
|------------------------------------|------------------------|-----------|-------|-------|-------|--------|-------|-------|-------|-------|-------|
| 16                                 | P8                     | 365225    | 0,13% | N/D   | N/D   | N/D    | N/D   | N/D   | 0,05% | 0,76% | 0,11% |
| 15                                 | P8                     | 365224    | 1,11% | 0,46% | 0,41% | 0,02%  | 0,15% | 0,03% | 1,18% | 0,83% | 0,93% |
| Ratio de concentration (lavé/brut) |                        |           | 8,54  |       |       |        |       |       | 23,6  | 1,09  | 8,45  |

| N°                                 | N°Point de prélèvement | Sample_ID | CeO2  | Nd2O3 | La2O3 | Pr6O11 | Sm2O3 | Gd2O3 | SnO2  | TiO2  | P2O5  |
|------------------------------------|------------------------|-----------|-------|-------|-------|--------|-------|-------|-------|-------|-------|
| 19                                 | P10                    | 365228    | 0,09% | N/D   | N/D   | N/D    | N/D   | N/D   | N/D   | 0,88% | 0,25% |
| 20                                 | P10                    | 365229    | 3,56% | 1,54% | 1,15% | 0,26%  | 0,33% | 0,05% | 1,30% | 0,71% | 2,17% |
| Ratio de concentration (lavé/brut) |                        |           | 39,56 |       |       |        |       |       |       | 0,81  | 8,68  |

| N°                                 | N°Point de prélèvement | Sample_ID | CeO2   | Nd2O3 | La2O3 | Pr6O11 | Sm2O3 | Gd2O3 | SnO2  | TiO2   | P2O5   |
|------------------------------------|------------------------|-----------|--------|-------|-------|--------|-------|-------|-------|--------|--------|
| 22                                 | P11                    | 365231    | 9,08%  | 3,75% | 2,92% | 0,79%  | 0,68% | 0,28% | 4,98% | 0,80%  | 5,41%  |
| 21                                 | P11                    | 365230    | 17,33% | 7,11% | 5,35% | 1,53%  | 1,08% | 0,38% | 2,69% | 10,85% | 10,62% |
| Ratio de concentration (lavé/brut) |                        |           | 1,91   | 1,9   | 1,83  | 1,94   | 1,59  | 1,36  | 0,54  | 13,56  | 1,96   |

| N°                                 | N°Point de prélèvement | Sample_ID | CeO2   | Nd2O3 | La2O3 | Pr6O11 | Sm2O3 | Gd2O3 | SnO2  | TiO2  | P2O5   |
|------------------------------------|------------------------|-----------|--------|-------|-------|--------|-------|-------|-------|-------|--------|
| 29                                 | P18                    | 365238    | 0,44%  | 0,14% | 0,13% | N/D    | N/D   | N/D   | 0,09% | 2,30% | 0,43%  |
| 30                                 | P18                    | 365239    | 17,93% | 7,56% | 5,47% | 1,62%  | 1,11% | 0,39% | 5,30% | 9,25% | 10,48% |
| Ratio de concentration (lavé/brut) |                        |           | 40,75  | 54    | 42,08 |        |       |       | 58,89 | 4,02  | 24,37  |

### 13. CONCLUSIONS

La mission ayant été focalisée sur l'étude d'un site connu se basant sur le rapport présenté de la première étape d'achat et d'analyses du concentré acquis en 2019 et qu'il s'agissait de procéder à l'échantillonnage systématique dudit site, les observations suivantes ont été faites :

- Le site d'Obaye présente des potentialités de la minéralisation en monazite (terres rares) contenue dans un gisement stannifère secondaire ;
- Le site présente aussi de la minéralisation résiduelle exploitable en cassitérite (étain) ;
- Le site a fait l'objet d'une exploitation semi-industrielle de l'étain à l'époque coloniale et dont les rejets ont des potentialités en terres rares, étain et certains autres éléments tels le titane, le phosphore ;
- L'existence des petits sites d'exploitation artisanale confirme un potentiel restant pour l'étain ;
- La présente mission de reconnaissance n'a pas permis de déterminer les limites en surface et en profondeur de la zone d'alluvions riches en métaux ni d'une source minéralisée dans le socle rocheux ;

C'est ainsi que nous étions amenés à parcourir une partie du PE 71 afin d'identifier des zones potentiellement riches et propices à des études plus approfondies ; après échantillonnage et sur base des résultats de laboratoire.

#### En résumé :

Les résultats en termes d'oxyde sur le premier l'échantillon acheté à la coopérative minière Okapi en 2019 sont les suivants :

Gadolinium (Gd) : 0,19%

Lanthane (La) : 4,95%

Néodyme (Nd) : 11,05%

Samarium (Sm) : 1,17%

Terbium (Tb) : 4,16%

Praséodyme (Pr) : 18,20%

Cérium (Ce) : 19,08%

De plus, le Thorium (Th) a titré à 0,01% lors de cette analyse, ce laisse penser à l'absence possible de radioactivité significative.

Les résultats positifs en termes de métaux furent les suivants sur un échantillon composé et représentatif des huit échantillons prélevés sur les cinq (5) tonnes achetées à la coopérative minière Okapi en 2020 et échantillonnés par l'équipe de RD Consultants le 7 novembre 2020, sont les suivants :

Gadolinium (Gd) : 1,03%  
Lanthane (La) : 8,10%  
Néodyme (Nd) : 11,50%  
Samarium (Sm) : 1,99  
Praséodyme (Pr) : 2,92%  
Dysprosium (Dy) : 0,20%  
Europium (Eu) : 0,29%  
Yttrium (Y) : 0,41%  
Cérium (Ce) : 19,90%

De plus, le Phosphore ( $P_2O_5$ ) a titré à 23,64%, le Galium (Ga) à 0,84%, le Germanium (Ge) à 0,11%, le Strontium à 0,13%, le Sélénium à 0,49%, l'étain (Sn) à 2,72%, lors de cette analyse. Pour ce qui est du Thorium (Th), il a titré à 0,55% et l'Uranium (U) à 0,046%, ce qui laisse penser à l'absence de radioactivité significative.

Les données de laboratoire issues de la présente mission indiquent ce qui suit :

Au total, trente (30) échantillons ont été récoltés dans dix-huit (18) points de prélèvement. Les trente (30) échantillons prélevés contiennent les éléments des terres rares suivants, dont les résultats les plus élevés, en termes d'oxydes, dans les échantillons de sable lavé ou alluvionnaire montrent les variations suivantes :

Cérium (Ce) : de 3.6% à 23.5%, moyenne : 11,87%  
Néodyme (Nd) : 1.5% à 9.2%, moyenne : 4,93%  
Lanthane (La) : 1.2% à 6.8%, moyenne : 3,62%  
Praséodyme (Pr) : 0.3% à 1.9%, moyenne : 1,00%  
Samarium (Sm) : 0.3% à 1.4%, moyenne : 3,74%  
Gadolinium (Gd) : 0.1% à 1.5%, moyenne : 0,27%

L'étain (0.9% à 10.8%) et le titane (0.7% à 21.2%) sont aussi omniprésents en quantités appréciables lorsque les terres rares sont en plus grandes quantités, ainsi que le phosphore (2.2% à 13%). Il est à noter que les pourcentages résultants des analyses chimiques sont en termes d'oxydes.

Sur dix-sept (17) terres rares existantes, le gisement d'Obaye en compte douze (12) de présentes sur le site dans les alluvions et rejets d'exploitation dont neuf (9) en quantités permettant d'évaluer les résultats lors d'une méthode de concentration à définir ultérieurement.

En additionnant les pourcentages d'oxydes moyens des douze (12) terres rares présentes à Obaye, on obtient 30.49% d'oxydes de terres rares concentrées avec des outils très rudimentaires utilisés présentement par les artisans.



Les teneurs, les moyennes et les ratios de concentrations obtenus avec des outils et des techniques artisanales de base sont impressionnants, ce qui laisse croire qu'avec une méthode de concentration étudiée et des outils et équipements de pointe, il sera facile d'améliorer la concentration du minerai qui sera exploité et mis en conteneurs sur place pour être expédié à l'usine de traitement au Canada.

Les teneurs très faibles en uranium et thorium laissent entrevoir que les éléments radioactifs ne causeront pas de difficultés majeures lors de l'exploitation, la concentration et le transport.

Lors de la campagne d'échantillonnage, les limites nord, sud, est et ouest de la zone d'alluvions contenant la monazite n'ont pas été atteintes, ni la profondeur limite où il n'y aurait plus de monazite présente.

Le plan de localisation des échantillons et des zones minéralisées en annexe 1 montre trois (3) contours rectangulaires entourant les zones échantillonnées, dont les limites ne sont pas celles où la minéralisation se termine mais elles sont des limites arbitraires où la minéralisation est présumée s'étendre sur cette surface au minimum.

Étant donné que les surfaces montrées à ce plan ainsi que les profondeurs rencontrées de la minéralisation sont minimums en fonction des observations sur le terrain et des résultats d'analyses, si l'on assume une épaisseur minimum de 1,00m de profondeur, les trois zones possèdent un volume exploitable total d'un peu plus de 3 millions de mètres cubes. Étant donné que la densité calculée au laboratoire IGS de Delson, Québec, Canada et de l'ordre de 4, nous savons que ces trois zones possèdent un tonnage de plus de 12 millions de mètres cubes.

Avec un ratio de concentration de 10 pour 1, ce qui a été réalisé au minimum sur place avec des outils rudimentaires, cela représente 1,2 million de tonnes de concentré et la surface totale, l'épaisseur totale ainsi que la méthode de concentration finale ne sont pas encore connues, ce qui laisse voir un potentiel de découverte d'un gisement de terres rares de classe mondiale.

Voir le rapport de métallurgie intitulé : Critical Review of The NAL PLANT Restarting Options, December 2020, en annexe 5, Prepared by: Ahmed Bouajila, VP R&D and technology transfer, 38 pages, pour plus de détails sur ce sujet.

## **14. RECOMMANDATIONS**

Étant donné que le gisement ciblé est dans les dépôts meubles des sables de surface et que la zone est entourée par des cours d'eau, une géochimie systématique desdits cours d'eau (stream sediment) est nécessaire pour la compréhension de l'évolution de la minéralisation. De plus, un échantillon récolté dans les sédiments de la petite rivière Mayabuto à proximité du site (point de prélèvement P18), les résultats de l'échantillon lavé ont donné un ratio de concentration parfaitement exploitable.

Une campagne de géochimie de sol accompagnées d'un réseau de puits d'exploration dans la zone sur 4 km nord-sud par 2 km est-ouest centrée sur la zone des 18 points de prélèvements est recommandée afin de cartographier suffisamment les sols pour calculer des réserves indiquées.

Le site de l'ancienne laverie ainsi que celui de l'exploitation artisanale actuelle de la cassitérite pourront être considérés comme point de départ pour les travaux de recherche proposés, ainsi que pour démarrer une exploitation parallèlement aux recherches géologiques.

Lors des recherches géologiques, un échantillonnage et une cartographie des affleurements et des collines environnantes est recommandé de tenter de retrouver la source de la minéralisation.

Une voie d'accès sur le site, autre que la marche à pieds de plus ou moins 3 heures à partir de la route nationale N3 doit être créée afin de permettre l'accès aux machineries, matériaux de construction et équipements, ainsi que pour le transport du minerai concentré une fois l'exploitation débutés.

Au niveau de la rivière Lowa, une barge devra être conçue afin de permettre la traverse.

Afin de débiter une exploitation éventuelle, des machineries lourdes telles que pelle mécanique, chargeuse, camions 10 roues, etc., doivent être acquises et amenées sur place.

La construction d'au moins un bâtiment de style hangar doit être planifiée afin d'abriter des bureaux, un entrepôt des matières brutes excavées, une section de lavage et concentration des sols, une section séchage et une section mise en sacs et en conteneurs du minerai concentré.

Les ratios de concentration peuvent être grandement améliorés en intégrant dans la méthode de concentration une étape de séparation par gravité des matières légères et lourdes et une étape de séparation du fer par magnétisme.

L'étape de lavage sera effectuée avec de l'eau comme présentement, mais une attention spéciale devra être portée à la qualité de l'environnement.

Il est finalement recommandé d'élaborer une bonne pratique de responsabilité sociale de l'entreprise (RSE), passant par une collaboration et l'embauche éventuelle des gens de la coopérative artisanale et des villageois, ou encore de créer des retombées indirectes dans la population et les commerces locaux, par exemple pour l'hébergement et la restauration du personnel.

Lorsque la progression le permettra, l'élaboration de programmes sociaux est recommandée, tels que l'installation d'un puits avec une pompe solaire, voir à l'évacuation et le traitement des eaux usées de façon environnementale, la construction de routes carrossables, la création d'un centre de santé ou d'une école pour les enfants, etc.

**ANNEXE 1**

**PLAN DE LA REGION**

**PLAN DES CONTOURS DES PE-71 ET PE-75**

**PLAN DU CONTOUR DU PE-71 AVEC LES POINTS DE PRELEVEMENT**

**LISTE DES COORDONNEES DES PE-71 ET PE-75 TIREES DU CADASTRE MINIER (CAMI)**

**PLAN DE LOCALISATION DES ECHANTILLONS ET DES ZONES MINERALISEES**



**PLAN DE LA RÉGION**

**Projet de la Monazite d'OBAYE - PE 71**  
**Rapport des travaux de reconnaissance géologique**

**Client : CAN COBALT INC**  
**Lieu : Village d'OBAYE, Territoire de WALIKALE**  
**Province du NORD-KIVU**  
**République Démocratique du CONGO**

**N/D : GE20-317**  
**Date : 26 décembre 2020**  
**Préparé par : Richard Dufour, ing.**

**Sceau :** 

**Signature :** 



**Échelle 1 : 1 000 000, 1 cm = 10 km**

**Note : Extrait de Google Earth**







**PLAN DES CONTOURS DES PE-75 ET PE-71**

**Projet de la Monazite d'OBAYE - PE 71**  
**Rapport des travaux de reconnaissance géologique**

**Client : CAN COBALT INC – Kibara Minerals SARL**

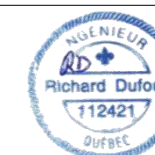
**Lieu : Village d'OBAYE, Territoire de WALIKALE**  
**Province du NORD-KIVU**  
**République Démocratique du CONGO**

**N/D : GE20-317**

**Date : 26 décembre 2020**

**Préparé par : Richard Dufour, ing.**

**Sceau :**

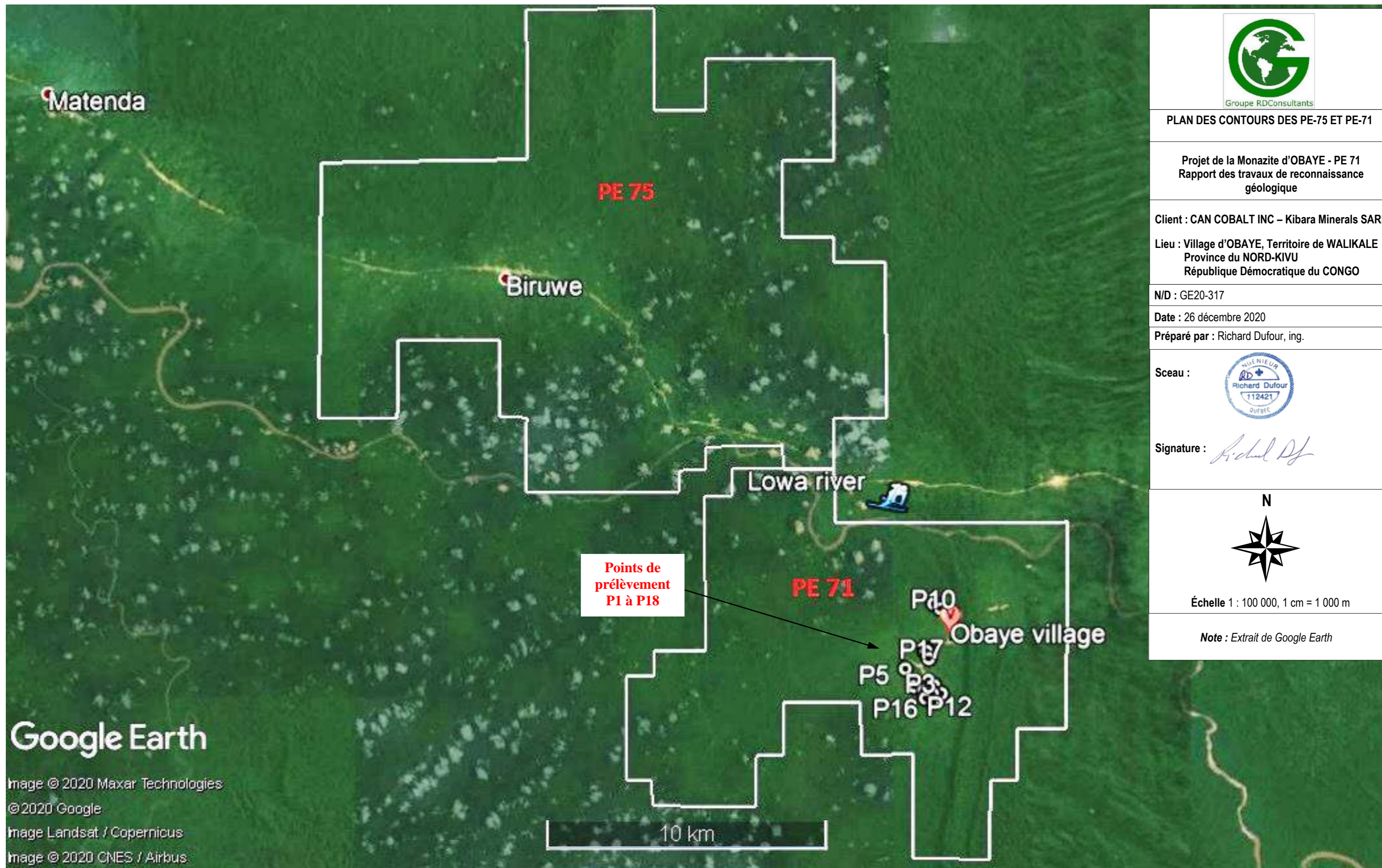


**Signature :**



**Échelle 1 : 100 000, 1 cm = 1 000 m**

**Note : Extrait de Google Earth**



**Points de  
prélèvement  
P1 à P18**

**Google Earth**

Image © 2020 Maxar Technologies

© 2020 Google

Image Landsat / Copernicus

Image © 2020 CNES / Airbus





PLAN DU CONTOUR DU PE-71

Projet de la Monazite d'OBAYE - PE 71  
Rapport des travaux de reconnaissance  
géologique

Client : CAN COBALT INC – Kibara Minerals SARL

Lieu : Village d'OBAYE, Territoire de WALIKALE  
Province du NORD-KIVU  
République Démocratique du CONGO

N/D : GE20-317

Date : 26 décembre 2020

Préparé par : Richard Dufour, ing.

Sceau :



Signature :

Légende

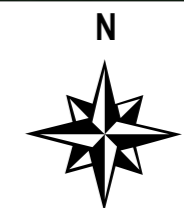
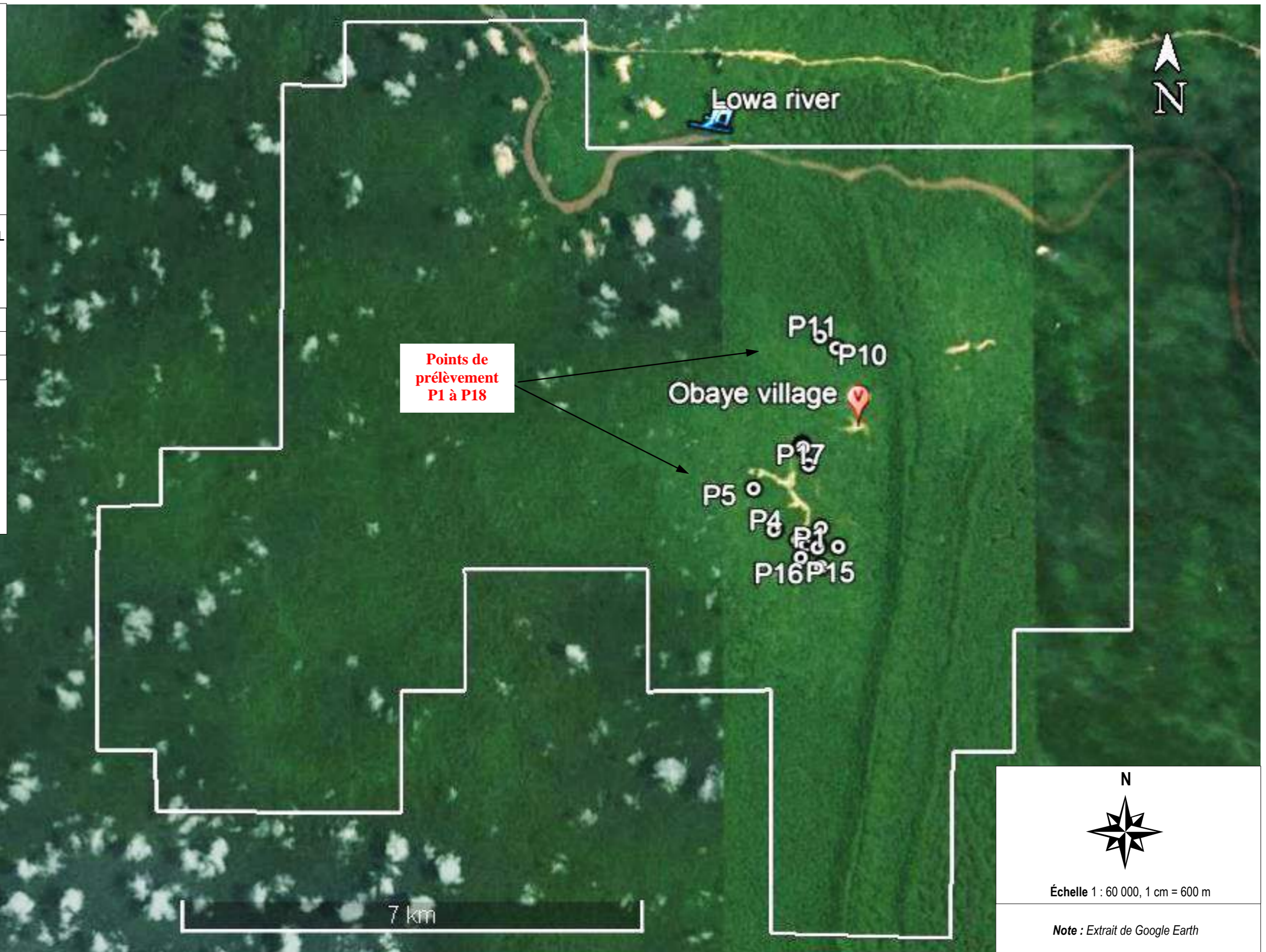
- Points de prélèvement
- Lowa river
- Obaye village
- PE71

Google Earth

Image © 2020 Maxar Technologies

©2020 Google

Image Landsat / Copernicus



Échelle 1 : 60 000, 1 cm = 600 m

Note : Extrait de Google Earth





## EXTRAIT DE LA CARTE DE RETOMBE MINIERE

Titre **71**  
Type **PERMIS D'EXPLOITATION**  
Titulaire **SAKIMA SARL**

Annexe 1

### Coordonnées des sommets

|    |   | Lat          | Long          |
|----|---|--------------|---------------|
| 1  | A | S 1° 22' 30" | E 27° 38' 0"  |
| 2  | B | S 1° 20' 30" | E 27° 38' 0"  |
| 3  |   | S 1° 20' 30" | E 27° 38' 30" |
| 4  |   | S 1° 20' 0"  | E 27° 38' 30" |
| 5  |   | S 1° 20' 0"  | E 27° 39' 30" |
| 6  |   | S 1° 17' 0"  | E 27° 39' 30" |
| 7  |   | S 1° 17' 0"  | E 27° 40' 0"  |
| 8  |   | S 1° 16' 30" | E 27° 40' 0"  |
| 9  |   | S 1° 16' 30" | E 27° 42' 0"  |
| 10 |   | S 1° 17' 30" | E 27° 42' 0"  |
| 11 |   | S 1° 17' 30" | E 27° 46' 30" |
| 12 |   | S 1° 21' 30" | E 27° 46' 30" |
| 13 |   | S 1° 21' 30" | E 27° 45' 30" |
| 14 |   | S 1° 22' 30" | E 27° 45' 30" |
| 15 |   | S 1° 22' 30" | E 27° 45' 0"  |
| 16 |   | S 1° 24' 0"  | E 27° 45' 0"  |
| 17 |   | S 1° 24' 0"  | E 27° 43' 30" |
| 18 |   | S 1° 22' 0"  | E 27° 43' 30" |
| 19 |   | S 1° 22' 0"  | E 27° 42' 30" |
| 20 |   | S 1° 21' 0"  | E 27° 42' 30" |
| 21 |   | S 1° 21' 0"  | E 27° 41' 0"  |
| 22 |   | S 1° 22' 0"  | E 27° 41' 0"  |
| 23 |   | S 1° 22' 0"  | E 27° 40' 30" |
| 24 |   | S 1° 23' 0"  | E 27° 40' 30" |
| 25 |   | S 1° 23' 0"  | E 27° 38' 30" |
| 26 |   | S 1° 22' 30" | E 27° 38' 30" |

Cartes de Retombe:

S 2/27

Nombre de Carrés:

160

Date d'octroi / Fin validité:

4/04/1969 - 3/04/1999

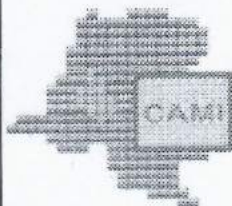
Date d'Impression:

7/06/2005

Carte produite par: **Cadastre Minier**

Carte dressée par: **SIGTIM-RDC**

Carte développée par: **GAF AG 2003**



## EXTRAIT DE LA CARTE DE RETOMBE MINIERE

Titre **75**  
Type **PERMIS D'EXPLOITATION**  
Titulaire **SAKIMA SARL**

Annexe 1

### Coordonnées des sommets

|    |   | Lat          | Long          |
|----|---|--------------|---------------|
| 1  | A | S 1° 15' 30" | E 27° 32' 0"  |
| 2  | B | S 1° 10' 30" | E 27° 32' 0"  |
| 3  |   | S 1° 10' 30" | E 27° 36' 0"  |
| 4  |   | S 1° 7' 30"  | E 27° 36' 0"  |
| 5  |   | S 1° 7' 30"  | E 27° 38' 30" |
| 6  |   | S 1° 9' 30"  | E 27° 38' 30" |
| 7  |   | S 1° 9' 30"  | E 27° 39' 30" |
| 8  |   | S 1° 8' 30"  | E 27° 39' 30" |
| 9  |   | S 1° 8' 30"  | E 27° 42' 0"  |
| 10 |   | S 1° 10' 30" | E 27° 42' 0"  |
| 11 |   | S 1° 10' 30" | E 27° 41' 0"  |
| 12 |   | S 1° 12' 0"  | E 27° 41' 0"  |
| 13 |   | S 1° 12' 0"  | E 27° 42' 0"  |
| 14 |   | S 1° 12' 30" | E 27° 42' 0"  |
| 15 |   | S 1° 12' 30" | E 27° 43' 0"  |
| 16 |   | S 1° 15' 30" | E 27° 43' 0"  |
| 17 |   | S 1° 15' 30" | E 27° 42' 0"  |
| 18 |   | S 1° 16' 30" | E 27° 42' 0"  |
| 19 |   | S 1° 16' 30" | E 27° 41' 0"  |
| 20 |   | S 1° 16' 0"  | E 27° 41' 0"  |
| 21 |   | S 1° 16' 0"  | E 27° 39' 30" |
| 22 |   | S 1° 16' 30" | E 27° 39' 30" |
| 23 |   | S 1° 16' 30" | E 27° 39' 0"  |
| 24 |   | S 1° 17' 0"  | E 27° 39' 0"  |
| 25 |   | S 1° 17' 0"  | E 27° 36' 0"  |
| 26 |   | S 1° 15' 30" | E 27° 36' 0"  |
| 27 |   | S 1° 15' 30" | E 27° 35' 30" |
| 28 |   | S 1° 14' 0"  | E 27° 35' 30" |
| 29 |   | S 1° 14' 0"  | E 27° 33' 30" |
| 30 |   | S 1° 15' 30" | E 27° 33' 30" |

Cartes de Retombe:

**S 2/27**

Nombre de Carrés:

**275**

Date d'octroi / Fin validité:

**4/04/1969 - 3/04/1999**

Date d'Impression:

**8/06/2005**

Carte produite par: **Cadastre Minier**

Carte dressée par: **SIGTIM-RDC**

Carte développée par: **GAF AG 2003**





**TITLE : PRELIMINARY GEOLOGICAL STUDY**

**Project : Obaye Rare Earth Elements/Tin  
Exploration project in the D.R.  
Congo**

**Customer : Central America Nickel INC/  
Kibara Minerals SARLU**

**Location : Obaye Village, Nord-Kivu  
Province, D.R. Congo**

**N/D : GE20-317**

**Date : 2020, 30th december**

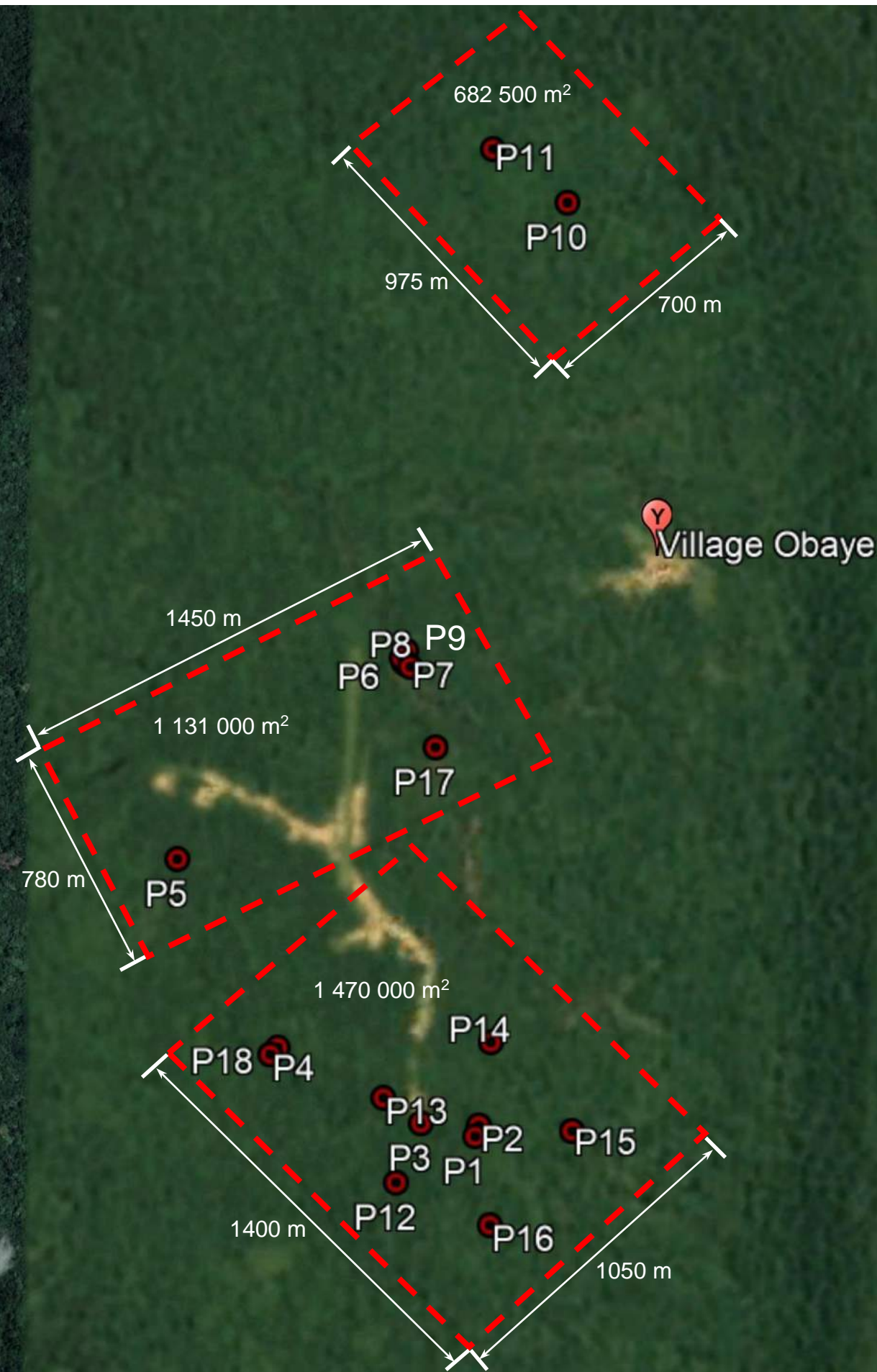
**Prepared by : Richard Dufour, P.Eng.**

**Seal :**



**Scale 1 : 15 000  
1 cm = 150 m**

**Note : Extract of Google Earth**



**P1** Point de prélèvement des échantillons de 0.8 à 1.3 m de profondeur

**Zone potentielle :**  
entre 5 et 25% Cerium (Ce)  
entre 2 et 10% Neodyme (Nd)  
entre 2 et 10% Lanthane (La)

500 m



**ANNEXE 2**

**ALBUM PHOTOGRAPHIQUE**

# ALBUM PHOTOGRAPHIQUE DES ACTIVITES REALISÉES

## 1. Situation géographique

Obaye est un village minier situé dans le territoire de Walikale en province du Nord Kivu à plus ou moins 500 km de la ville de Kisangani.

### 1.a. Voies d'accès

De Kisangani en Province de la Tshopo à Walikale en Province du Nord Kivu en passant par Lubutu-centre en Province de Maniema, le village d'Obaye est à plus ou moins 650 km de Kisangani empruntant la route Nationale N3 sur l'ensemble du trajet.

De la route principale au niveau du village de Kanyama il n'y a pas de route tracée pour atteindre Obaye, on emprunte à pieds un sentier sous les arbres jusqu'à Obaye où on doit prendre une pirogue en bois pour traverser la rivière Lowa.

Le village d'Obaye se trouve dans le PE 71 de la Société Aurifère du Kivu et Maniema en sigle SAKIMA SA qui est une société de l'Etat Congolais et ce PE est traversé par la rivière Lowa où se déverse presque toute la totalité des rivières et ruisseaux drainant le PE.

Voici en images le déroulement des activités sur le terrain à Obaye.



**Photos 1 et 2 : Transport par moto pour atteindre Obaye**



**Photos 3 et 4 : La traversée de la rivière Lowa en pirogue. De gauche à droite, Rodrigue MUSIMWA, Géologue et Alphonse KIZITO, ingénieur**



**Photos 5 et 6 : Au niveau du village de Kanyama, projet de construction de la route qui mènera à Obaye**









**Photos 7 à 16 : Accès à Obaye via la forêt et la rivière Lowa**





***Photos 17 à 21 : Le village d'Obaye, les maisons des villageois, la maison de passage de la SAKIMA SA et l'ancienne piste d'atterrissage de la SOMINKI***

## 1. b. Activités des artisans à Obaye sur le site de l'ancienne mine d'étain de la SOMINKI



**Photos 22 à 27 : Extraction du concentré dans le cours d'eau, séchage et séparation manuelle du sable de la monazite et de la cassitérite**



1.c Prélèvement des échantillons







**Photos 28 à 33 : Prélèvement d'un échantillon lavé en zone active**



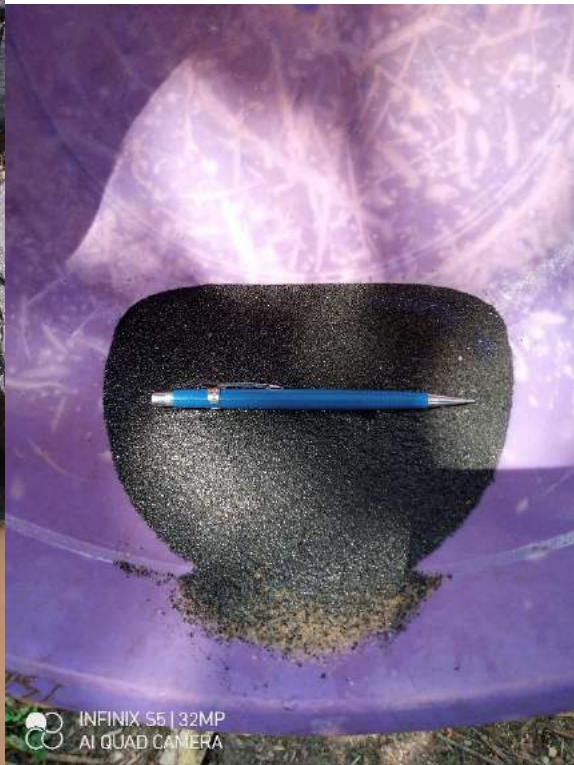




**Photos 34 à 37 : Prélèvement dans une tranchée**







**Photos 38 à 41 : Prélèvement dans un sondage de plus ou moins 1m, échantillon brut et échantillon lavé**





**Photos 42 à 44 : Prélèvement dans une rivière**







**Photos 45 à 47 : Prélèvement sur une pile de sable de monazite près de l'ancienne laverie**







**Photos 48 à 51 : Prélèvement sur l'ancienne laverie de la SOMINKI**



**Photos 52 et 53 : Prélèvement dans un étang piscicole où étaient stockés les résidus de la laverie**

De ce qui précède, la zone monazitique d'Obaye est très vaste plus ou moins 10 km x 10 km selon les témoignages des habitants de la région. Pour l'instant, aucune superficie exhaustive n'a été cartographiée.

De plus, l'épaisseur de la couche minéralisée n'a pas été déterminée lors des travaux de reconnaissance de surface qui ont été réalisés de 0,8 m à 1,3 m de profondeur.



2. ECHANTILLONNAGE A KISANGANI











INFINIX S5 | 32MP  
AI QUAD CAMERA



INFINIX S5 | 32MP  
AI QUAD CAMERA



INFINIX S5 | 32MP  
AI QUAD CAMERA



INFINIX S5 | 32MP  
AI QUAD CAMERA





INFINIX S5 | 32MP  
AI QUAD CAMERA



INFINIX S5 | 32MP  
AI QUAD CAMERA



INFINIX S5 | 32MP  
AI QUAD CAMERA



INFINIX S5 | 32MP  
AI QUAD CAMERA

**Photos 54 à 71 : Mise en pile, quartage et prélèvement de huit échantillons sur une quantité de cinq tonnes acquises auprès des artisans qui récupèrent les rejets de l'ancienne mine de la SOMINKI**

**ANNEXE 3**

**CERTIFICATS D'ANALYSES**



Report No.: A20-15305-Revised
Report Date: 30-Dec-20
Date Submitted: 27-Nov-20
Your Reference:

IGS Impact Global Solutions
70 Rue Goodfellow
Delson Quebec J5B 1V4
Canada

ATTN: Muhammad Hasib

CERTIFICATE OF ANALYSIS

1 Pulp samples were submitted for analysis.

Table with 2 columns: The following analytical package(s) were requested: and Testing Date:
Row 1: UT-7, QOP Sodium Peroxide (Sodium Peroxide Fusion ICPOES + ICPMS), 2020-12-07 13:35:27

REPORT A20-15305-Revised

This report may be reproduced without our consent. If only selected portions of the report are reproduced, permission must be obtained. If no instructions were given at time of sample submittal regarding excess material, it will be discarded within 90 days of this report. Our liability is limited solely to the analytical cost of these analyses. Test results are representative only of material submitted for analysis.

Notes:

CERTIFIED BY:

Handwritten signature of Elitsa Hrischeva

Elitsa Hrischeva, Ph.D.
Quality Control Coordinator

ACTIVATION LABORATORIES LTD.
41 Bittern Street, Ancaster, Ontario, Canada, L9G 4V5
TELEPHONE +905 648-9611 or +1.888.228.5227 FAX +1.905.648.9613
E-MAIL Ancaster@actlabs.com ACTLABS GROUP WEBSITE www.actlabs.com



Results

Activation Laboratories Ltd.

Report: A20-15305

| Analyte Symbol | Al            | As                   | B                    | Ba                   | Be                   | Bi                   | Ca            | Cd                   | Ce                   | Co                   | Cr                   | Cs                   | Cu                   | Dy                   | Er                   | Eu                   | Fe            | Ga                   | Gd                   | Ge                   | Ho                   | Hf                   | In                   |
|----------------|---------------|----------------------|----------------------|----------------------|----------------------|----------------------|---------------|----------------------|----------------------|----------------------|----------------------|----------------------|----------------------|----------------------|----------------------|----------------------|---------------|----------------------|----------------------|----------------------|----------------------|----------------------|----------------------|
| Unit Symbol    | %             | ppm                  | ppm                  | ppm                  | ppm                  | ppm                  | %             | ppm                  | ppm                  | ppm                  | ppm                  | ppm                  | ppm                  | ppm                  | ppm                  | ppm                  | %             | ppm                  | ppm                  | ppm                  | ppm                  | ppm                  | ppm                  |
| Lower Limit    | 0.01          | 5                    | 10                   | 3                    | 3                    | 2                    | 0.01          | 2                    | 0.8                  | 0.2                  | 30                   | 0.1                  | 2                    | 0.3                  | 0.1                  | 0.1                  | 0.05          | 0.2                  | 0.1                  | 0.7                  | 0.2                  | 10                   | 0.2                  |
| Method Code    | FUS-<br>Na2O2 | FUS-<br>MS-<br>Na2O2 | FUS-<br>MS-<br>Na2O2 | FUS-<br>MS-<br>Na2O2 | FUS-<br>MS-<br>Na2O2 | FUS-<br>MS-<br>Na2O2 | FUS-<br>Na2O2 | FUS-<br>MS-<br>Na2O2 | FUS-<br>MS-<br>Na2O2 | FUS-<br>MS-<br>Na2O2 | FUS-<br>MS-<br>Na2O2 | FUS-<br>MS-<br>Na2O2 | FUS-<br>MS-<br>Na2O2 | FUS-<br>MS-<br>Na2O2 | FUS-<br>MS-<br>Na2O2 | FUS-<br>MS-<br>Na2O2 | FUS-<br>Na2O2 | FUS-<br>MS-<br>Na2O2 | FUS-<br>MS-<br>Na2O2 | FUS-<br>MS-<br>Na2O2 | FUS-<br>MS-<br>Na2O2 | FUS-<br>MS-<br>Na2O2 | FUS-<br>MS-<br>Na2O2 |
| CONG-4         | 1.27          | < 5                  | 30                   | 75                   | < 3                  | < 2                  | 0.14          | < 2                  | 199000               | 6.5                  | 90                   | 1.6                  | 18                   | 2040                 | 310                  | 2920                 | 1.32          | 8390                 | 10300                | 1060                 | 203                  | < 10                 | < 0.2                |

Results

Activation Laboratories Ltd.

Report: A20-15305

| Analyte Symbol | K             | La                   | Li                   | Mg            | Mn                   | Mo                   | Nb                   | Nd                   | Ni                   | Pb                   | Pr                   | Rb                   | S             | Sb                   | Se                   | Si            | Sm                   | Sn                   | Sr                   | Ta                   | Tb                   | Te                   | Th                   |
|----------------|---------------|----------------------|----------------------|---------------|----------------------|----------------------|----------------------|----------------------|----------------------|----------------------|----------------------|----------------------|---------------|----------------------|----------------------|---------------|----------------------|----------------------|----------------------|----------------------|----------------------|----------------------|----------------------|
| Unit Symbol    | %             | ppm                  | ppm                  | %             | ppm                  | ppm                  | ppm                  | ppm                  | ppm                  | ppm                  | ppm                  | ppm                  | %             | ppm                  | ppm                  | %             | ppm                  | ppm                  | ppm                  | ppm                  | ppm                  | ppm                  | ppm                  |
| Lower Limit    | 0.1           | 0.4                  | 3                    | 0.01          | 3                    | 1                    | 2.4                  | 0.4                  | 10                   | 0.8                  | 0.1                  | 0.4                  | 0.01          | 2                    | 8                    | 0.01          | 0.1                  | 0.5                  | 3                    | 0.2                  | 0.1                  | 6                    | 0.1                  |
| Method Code    | FUS-<br>Na2O2 | FUS-<br>MS-<br>Na2O2 | FUS-<br>MS-<br>Na2O2 | FUS-<br>Na2O2 | FUS-<br>MS-<br>Na2O2 | FUS-<br>MS-<br>Na2O2 | FUS-<br>MS-<br>Na2O2 | FUS-<br>MS-<br>Na2O2 | FUS-<br>MS-<br>Na2O2 | FUS-<br>MS-<br>Na2O2 | FUS-<br>MS-<br>Na2O2 | FUS-<br>MS-<br>Na2O2 | FUS-<br>Na2O2 | FUS-<br>MS-<br>Na2O2 | FUS-<br>MS-<br>Na2O2 | FUS-<br>Na2O2 | FUS-<br>MS-<br>Na2O2 | FUS-<br>MS-<br>Na2O2 | FUS-<br>MS-<br>Na2O2 | FUS-<br>MS-<br>Na2O2 | FUS-<br>MS-<br>Na2O2 | FUS-<br>MS-<br>Na2O2 | FUS-<br>MS-<br>Na2O2 |
| CONG-4         | 0.3           | 81000                | 64                   | 0.04          | 631                  | < 1                  | 625.2                | 115000               | 60                   | 498                  | 29200                | 18.9                 | 0.03          | < 2                  | 4910                 | 3.82          | 19900                | 27200                | 1320                 | 213                  | 785                  | < 6                  | 5460                 |

| Analyte Symbol | Ti            | Tl                   | Tm                   | U                    | V                    | W                    | Y                    | Yb                   | Zn                   | Sc            |
|----------------|---------------|----------------------|----------------------|----------------------|----------------------|----------------------|----------------------|----------------------|----------------------|---------------|
| Unit Symbol    | %             | ppm                  | ppm                  | ppm                  | ppm                  | ppm                  | ppm                  | ppm                  | ppm                  | ppm           |
| Lower Limit    | 0.01          | 0.1                  | 0.1                  | 0.1                  | 5                    | 0.7                  | 0.1                  | 0.1                  | 30                   | 5             |
| Method Code    | FUS-<br>Na2O2 | FUS-<br>MS-<br>Na2O2 | FUS-<br>MS-<br>Na2O2 | FUS-<br>MS-<br>Na2O2 | FUS-<br>MS-<br>Na2O2 | FUS-<br>MS-<br>Na2O2 | FUS-<br>MS-<br>Na2O2 | FUS-<br>MS-<br>Na2O2 | FUS-<br>MS-<br>Na2O2 | FUS-<br>Na2O2 |
| CONG-4         | 0.83          | 0.2                  | 23.2                 | 465                  | 27                   | 20.8                 | 4140                 | 92.1                 | 100                  | 41            |



| Analyte Symbol           | Al        | As           | B            | Ba           | Be           | Bi           | Ca        | Cd           | Ce           | Co           | Cr           | Cs           | Cu           | Dy           | Er           | Eu           | Fe        | Ga           | Gd           | Ge           | Ho           | Hf           | In           |
|--------------------------|-----------|--------------|--------------|--------------|--------------|--------------|-----------|--------------|--------------|--------------|--------------|--------------|--------------|--------------|--------------|--------------|-----------|--------------|--------------|--------------|--------------|--------------|--------------|
| Unit Symbol              | %         | ppm          | ppm          | ppm          | ppm          | ppm          | %         | ppm          | ppm          | ppm          | ppm          | ppm          | ppm          | ppm          | ppm          | ppm          | %         | ppm          | ppm          | ppm          | ppm          | ppm          | ppm          |
| Lower Limit              | 0.01      | 5            | 10           | 3            | 3            | 2            | 0.01      | 2            | 0.8          | 0.2          | 30           | 0.1          | 2            | 0.3          | 0.1          | 0.1          | 0.05      | 0.2          | 0.1          | 0.7          | 0.2          | 10           | 0.2          |
| Method Code              | FUS-Na2O2 | FUS-MS-Na2O2 | FUS-MS-Na2O2 | FUS-MS-Na2O2 | FUS-MS-Na2O2 | FUS-MS-Na2O2 | FUS-Na2O2 | FUS-MS-Na2O2 | FUS-MS-Na2O2 | FUS-MS-Na2O2 | FUS-MS-Na2O2 | FUS-MS-Na2O2 | FUS-MS-Na2O2 | FUS-MS-Na2O2 | FUS-MS-Na2O2 | FUS-MS-Na2O2 | FUS-Na2O2 | FUS-MS-Na2O2 | FUS-MS-Na2O2 | FUS-MS-Na2O2 | FUS-MS-Na2O2 | FUS-MS-Na2O2 | FUS-MS-Na2O2 |
| PTM-1a Meas              |           | 2160         |              |              |              |              |           |              |              | > 5000       |              |              | > 10000      |              |              |              |           |              |              |              |              |              |              |
| PTM-1a Cert              |           | 2200         |              |              |              |              |           |              |              | 20500.00     |              |              | 249600.00    |              |              |              |           |              |              |              |              |              |              |
| PTM-1a Meas              |           | 2090         |              |              |              |              |           |              |              | > 5000       |              |              | > 10000      |              |              |              |           |              |              |              |              |              |              |
| PTM-1a Cert              |           | 2200         |              |              |              |              |           |              |              | 20500.00     |              |              | 249600.00    |              |              |              |           |              |              |              |              |              |              |
| CCU-1C Meas              |           |              |              |              |              |              |           |              |              |              |              |              | > 10000      |              |              |              |           |              |              |              |              |              |              |
| CCU-1C Cert              |           |              |              |              |              |              |           |              |              |              |              |              | 256000       |              |              |              |           |              |              |              |              |              |              |
| CCU-1C Meas              |           |              |              |              |              |              |           |              |              |              |              |              | > 10000      |              |              |              |           |              |              |              |              |              |              |
| CCU-1C Cert              |           |              |              |              |              |              |           |              |              |              |              |              | 256000       |              |              |              |           |              |              |              |              |              |              |
| NIST 696 Meas            | > 25.0    |              |              |              |              |              |           |              |              |              |              |              |              |              |              |              |           |              |              |              |              |              |              |
| NIST 696 Cert            | 28.9      |              |              |              |              |              |           |              |              |              |              |              |              |              |              |              |           |              |              |              |              |              |              |
| DTS-2b Meas              | 0.22      |              |              |              |              |              | 0.08      |              |              |              |              |              |              |              |              |              |           |              |              |              |              |              |              |
| DTS-2b Cert              | 0.240     |              |              |              |              |              | 0.0900    |              |              |              |              |              |              |              |              |              |           |              |              |              |              |              |              |
| Oreas 74a (Fusion) Meas  |           | 46           |              |              |              |              |           |              |              | 560          | 1810         |              | 1190         |              |              |              | 13.8      |              |              |              |              |              |              |
| Oreas 74a (Fusion) Cert  |           | 50           |              |              |              |              |           |              |              | 581          | 1800.00      |              | 1240.00      |              |              |              | 13.7      |              |              |              |              |              |              |
| Oreas 74a (Fusion) Meas  |           | 42           |              |              |              |              |           |              |              | 536          | 1670         |              | 1110         |              |              |              |           |              |              |              |              |              |              |
| Oreas 74a (Fusion) Cert  |           | 50           |              |              |              |              |           |              |              | 581          | 1800.00      |              | 1240.00      |              |              |              |           |              |              |              |              |              |              |
| Oreas 74a (Fusion) Meas  |           | 50           |              |              |              |              |           |              |              | 570          | 1790         |              | 1170         |              |              |              |           |              |              |              |              |              |              |
| Oreas 74a (Fusion) Cert  |           | 50           |              |              |              |              |           |              |              | 581          | 1800.00      |              | 1240.00      |              |              |              |           |              |              |              |              |              |              |
| OREAS 101a (Fusion) Meas |           |              |              |              |              |              |           |              | 1310         | 45.3         |              |              | 418          | 32.6         | 16.3         | 8.7          | 11.3      |              | 53.0         |              | 6.6          |              |              |
| OREAS 101a (Fusion) Cert |           |              |              |              |              |              |           |              | 1396         | 48.8         |              |              | 434          | 33.3         | 19.5         | 8.06         | 11.06     |              | 43.4         |              | 6.46         |              |              |
| OREAS 101a (Fusion) Meas |           |              |              |              |              |              |           |              | 1370         | 49.4         |              |              | 441          | 33.0         | 18.5         | 8.4          |           |              | 50.8         |              | 6.3          |              |              |
| OREAS 101a (Fusion) Cert |           |              |              |              |              |              |           |              | 1396         | 48.8         |              |              | 434          | 33.3         | 19.5         | 8.06         |           |              | 43.4         |              | 6.46         |              |              |
| OREAS 101a (Fusion) Meas |           |              |              |              |              |              |           |              | 1300         | 49.5         |              |              | 418          | 34.0         | 17.3         | 7.7          |           |              | 43.9         |              | 6.2          |              |              |
| OREAS 101a (Fusion) Cert |           |              |              |              |              |              |           |              | 1396         | 48.8         |              |              | 434          | 33.3         | 19.5         | 8.06         |           |              | 43.4         |              | 6.46         |              |              |
| SARM 3 Meas              |           |              |              | 427          |              |              |           |              | 280          |              |              |              | 39           |              |              | 1.2          |           |              |              |              |              |              |              |
| SARM 3 Cert              |           |              |              | 450          |              |              |           |              | 240.000      |              |              |              | 13           |              |              | 1.2          |           |              |              |              |              |              |              |
| SARM 3 Meas              |           |              |              | 412          |              |              |           |              | 248          |              |              |              | 8            |              |              | 1.1          |           |              |              |              |              |              |              |
| SARM 3 Cert              |           |              |              | 450          |              |              |           |              | 240.000      |              |              |              | 13           |              |              | 1.2          |           |              |              |              |              |              |              |
| NCS DC86303 Meas         |           |              |              |              |              |              |           |              |              |              |              | 338          |              |              |              |              |           |              |              |              |              |              |              |
| NCS DC86303 Cert         |           |              |              |              |              |              |           |              |              |              |              | 350          |              |              |              |              |           |              |              |              |              |              |              |
| NCS DC86303 Meas         |           |              |              |              |              |              |           |              |              |              |              | 331          |              |              |              |              |           |              |              |              |              |              |              |
| NCS DC86303 Cert         |           |              |              |              |              |              |           |              |              |              |              | 350          |              |              |              |              |           |              |              |              |              |              |              |
| NCS DC86303 Meas         |           |              |              |              |              |              |           |              |              |              |              | 349          |              |              |              |              |           |              |              |              |              |              |              |
| NCS DC86303              |           |              |              |              |              |              |           |              |              |              |              | 350          |              |              |              |              |           |              |              |              |              |              |              |

| Analyte Symbol                   | Al        | As           | B            | Ba           | Be           | Bi           | Ca        | Cd           | Ce           | Co           | Cr           | Cs           | Cu           | Dy           | Er           | Eu           | Fe        | Ga           | Gd           | Ge           | Ho           | Hf           | In           |
|----------------------------------|-----------|--------------|--------------|--------------|--------------|--------------|-----------|--------------|--------------|--------------|--------------|--------------|--------------|--------------|--------------|--------------|-----------|--------------|--------------|--------------|--------------|--------------|--------------|
| Unit Symbol                      | %         | ppm          | ppm          | ppm          | ppm          | ppm          | %         | ppm          | ppm          | ppm          | ppm          | ppm          | ppm          | ppm          | ppm          | ppm          | %         | ppm          | ppm          | ppm          | ppm          | ppm          | ppm          |
| Lower Limit                      | 0.01      | 5            | 10           | 3            | 3            | 2            | 0.01      | 2            | 0.8          | 0.2          | 30           | 0.1          | 2            | 0.3          | 0.1          | 0.1          | 0.05      | 0.2          | 0.1          | 0.7          | 0.2          | 10           | 0.2          |
| Method Code                      | FUS-Na2O2 | FUS-MS-Na2O2 | FUS-MS-Na2O2 | FUS-MS-Na2O2 | FUS-MS-Na2O2 | FUS-MS-Na2O2 | FUS-Na2O2 | FUS-MS-Na2O2 | FUS-MS-Na2O2 | FUS-MS-Na2O2 | FUS-MS-Na2O2 | FUS-MS-Na2O2 | FUS-MS-Na2O2 | FUS-MS-Na2O2 | FUS-MS-Na2O2 | FUS-MS-Na2O2 | FUS-Na2O2 | FUS-MS-Na2O2 | FUS-MS-Na2O2 | FUS-MS-Na2O2 | FUS-MS-Na2O2 | FUS-MS-Na2O2 | FUS-MS-Na2O2 |
| Cert                             |           |              |              |              |              |              |           |              |              |              |              |              |              |              |              |              |           |              |              |              |              |              |              |
| NCS DC86314 Meas                 |           |              |              |              |              |              |           |              |              |              |              | 2720         |              |              |              |              |           |              |              |              |              |              |              |
| NCS DC86314 Cert                 |           |              |              |              |              |              |           |              |              |              |              | 2830         |              |              |              |              |           |              |              |              |              |              |              |
| NCS DC86314 Meas                 |           |              |              |              |              |              |           |              |              |              |              | 2750         |              |              |              |              |           |              |              |              |              |              |              |
| NCS DC86314 Cert                 |           |              |              |              |              |              |           |              |              |              |              | 2830         |              |              |              |              |           |              |              |              |              |              |              |
| CZN-4 Meas                       | 0.07      | 346          |              |              |              |              |           | 2610         |              | 95.3         |              |              | 4070         |              |              |              |           |              |              |              |              |              |              |
| CZN-4 Cert                       | 0.0715    | 356.00       |              |              |              |              |           | 2604.0       |              | 93.5         |              |              | 4030.0       |              |              |              |           |              |              |              |              |              |              |
|                                  |           | 00           |              |              |              |              |           | 000          |              |              |              |              | 00           |              |              |              |           |              |              |              |              |              |              |
| CZN-4 Meas                       |           | 354          |              |              |              |              |           | 2650         |              | 94.2         |              |              | 4020         |              |              |              |           |              |              |              |              |              |              |
| CZN-4 Cert                       |           | 356.00       |              |              |              |              |           | 2604.0       |              | 93.5         |              |              | 4030.0       |              |              |              |           |              |              |              |              |              |              |
|                                  |           | 00           |              |              |              |              |           | 000          |              |              |              |              | 00           |              |              |              |           |              |              |              |              |              |              |
| OREAS 922 (Peroxide Fusion) Meas | 7.77      |              |              | 477          |              | 9            | 0.50      |              | 84.4         | 21.2         | 120          | 7.5          | 2230         | 5.5          | 3.3          | 1.9          | 5.71      | 24.7         | 7.6          |              | 1.1          | < 10         | 0.4          |
| OREAS 922 (Peroxide Fusion) Cert | 7.59      |              |              | 481          |              | 10           | 0.49      |              | 88.0         | 20.9         | 90           | 7.5          | 2220         | 5.75         | 3.38         | 1.52         | 5.71      | 21.2         | 6.94         |              | 1.20         | 5.93         | 0.3          |
| OREAS 621 (Peroxide Fusion) Meas | 6.75      | 80           |              | 2570         | < 3          | 5            | 2.01      | 287          | 52.0         | 30.4         | 80           | 3.8          | 3770         |              |              |              | 3.77      | 26.3         |              |              |              |              | 1.9          |
| OREAS 621 (Peroxide Fusion) Cert | 6.63      | 85           |              | 2610         | 2            | 4            | 2.00      | 295          | 52.0         | 31.4         | 50           | 3.6          | 3680         |              |              |              | 3.71      | 26.5         |              |              |              |              | 1.9          |
| OREAS 621 (Peroxide Fusion) Meas |           | 78           |              | 2610         | < 3          | 4            |           | 281          | 55.0         | 31.2         | 70           | 3.1          | 3750         |              |              |              |           | 26.5         |              |              |              |              | 1.9          |
| OREAS 621 (Peroxide Fusion) Cert |           | 85           |              | 2610         | 2            | 4            |           | 295          | 52.0         | 31.4         | 50           | 3.6          | 3680         |              |              |              |           | 26.5         |              |              |              |              | 1.9          |
| OREAS 621 (Peroxide Fusion) Meas |           | 76           |              | 2610         | < 3          | 4            |           | 276          | 54.7         | 31.5         | 90           | 2.8          | 3520         |              |              |              |           | 24.0         |              |              |              |              | 1.8          |
| OREAS 621 (Peroxide Fusion) Cert |           | 85           |              | 2610         | 2            | 4            |           | 295          | 52.0         | 31.4         | 50           | 3.6          | 3680         |              |              |              |           | 26.5         |              |              |              |              | 1.9          |
| OREAS 680 (Peroxide Fusion) Meas | 7.07      | 116          |              | 662          |              | < 2          | 5.67      | 8            | 34.1         | 322          | 2120         | 3.2          | 8910         | 3.3          | 0.9          | 1.2          | 11.9      | 15.9         | 4.1          |              | 0.5          |              |              |
| OREAS 680 (Peroxide Fusion) Cert | 7.19      | 120          |              | 649          |              | 1.66         | 5.80      | 8.18         | 38.7         | 334          | 2140         | 3.94         | 9040         | 3.07         | 1.74         | 1.30         | 11.9      | 16.5         | 3.77         |              | 0.580        |              |              |
| OREAS 680 (Peroxide Fusion) Meas |           | 114          |              | 655          |              | < 2          |           | 9            | 38.0         | 324          | 2130         | 4.7          | 9070         | 2.9          | 2.1          | 1.0          |           | 16.5         | 3.6          |              | 0.6          |              |              |
| OREAS 680 (Peroxide Fusion) Cert |           | 120          |              | 649          |              | 1.66         |           | 8.18         | 38.7         | 334          | 2140         | 3.94         | 9040         | 3.07         | 1.74         | 1.30         |           | 16.5         | 3.77         |              | 0.580        |              |              |
| OREAS 139 (Peroxide Fusion) Meas | 3.60      | 340          |              |              | 3            | 7            | 1.15      | 269          | 43.5         | 24.6         |              | 3.3          | 319          |              | 1.1          |              | 11.7      | 13.8         |              |              |              |              | 0.7          |
| OREAS 139 (Peroxide Fusion) Cert | 3.70      | 332          |              |              | 3.17         | 6.64         | 1.20      | 296          | 49.4         | 26.0         |              | 3.21         | 274          |              | 1.69         |              | 11.9      | 10.2         |              |              |              |              | 0.690        |
| OREAS 139 (Peroxide Fusion)      |           | 338          |              |              | 4            | 7            |           | 279          | 50.8         | 26.4         |              | 3.6          | 358          |              | 1.0          |              |           | 12.5         |              |              |              |              | 0.7          |

| Analyte Symbol                   | Al        | As           | B            | Ba           | Be           | Bi           | Ca        | Cd           | Ce           | Co           | Cr           | Cs           | Cu           | Dy           | Er           | Eu           | Fe        | Ga           | Gd           | Ge           | Ho           | Hf           | In           |
|----------------------------------|-----------|--------------|--------------|--------------|--------------|--------------|-----------|--------------|--------------|--------------|--------------|--------------|--------------|--------------|--------------|--------------|-----------|--------------|--------------|--------------|--------------|--------------|--------------|
| Unit Symbol                      | %         | ppm          | ppm          | ppm          | ppm          | ppm          | %         | ppm          | ppm          | ppm          | ppm          | ppm          | ppm          | ppm          | ppm          | ppm          | %         | ppm          | ppm          | ppm          | ppm          | ppm          | ppm          |
| Lower Limit                      | 0.01      | 5            | 10           | 3            | 3            | 2            | 0.01      | 2            | 0.8          | 0.2          | 30           | 0.1          | 2            | 0.3          | 0.1          | 0.1          | 0.05      | 0.2          | 0.1          | 0.7          | 0.2          | 10           | 0.2          |
| Method Code                      | FUS-Na2O2 | FUS-MS-Na2O2 | FUS-MS-Na2O2 | FUS-MS-Na2O2 | FUS-MS-Na2O2 | FUS-MS-Na2O2 | FUS-Na2O2 | FUS-MS-Na2O2 | FUS-MS-Na2O2 | FUS-MS-Na2O2 | FUS-MS-Na2O2 | FUS-MS-Na2O2 | FUS-MS-Na2O2 | FUS-MS-Na2O2 | FUS-MS-Na2O2 | FUS-MS-Na2O2 | FUS-Na2O2 | FUS-MS-Na2O2 | FUS-MS-Na2O2 | FUS-MS-Na2O2 | FUS-MS-Na2O2 | FUS-MS-Na2O2 | FUS-MS-Na2O2 |
| Meas                             |           |              |              |              |              |              |           |              |              |              |              |              |              |              |              |              |           |              |              |              |              |              |              |
| OREAS 139 (Peroxide Fusion) Cert |           | 332          |              |              | 3.17         | 6.64         |           | 296          | 49.4         | 26.0         |              | 3.21         | 274          |              | 1.69         |              |           | 10.2         |              |              |              |              | 0.690        |
| OREAS 624 (Peroxide Fusion) Meas | 4.41      | 117          |              | 1040         |              | 22           | 1.48      | 124          | 30.5         | 263          |              | 1.5          | > 10000      |              |              |              | 16.8      | 22.6         |              |              |              |              | 4.1          |
| OREAS 624 (Peroxide Fusion) Cert | 4.32      | 115          |              | 1070         |              | 21.3         | 1.49      | 133          | 32.9         | 273          |              | 1.32         | 30800        |              |              |              | 16.3      | 22.1         |              |              |              |              | 4.14         |
| OREAS 624 (Peroxide Fusion) Meas |           | 114          |              | 1050         |              | 21           |           | 126          | 33.5         | 274          |              | 1.7          | > 10000      |              |              |              |           | 25.0         |              |              |              |              | 3.8          |
| OREAS 624 (Peroxide Fusion) Cert |           | 115          |              | 1070         |              | 21.3         |           | 133          | 32.9         | 273          |              | 1.32         | 30800        |              |              |              |           | 22.1         |              |              |              |              | 4.14         |
| OREAS 624 (Peroxide Fusion) Meas |           | 127          |              | 1050         |              | 23           |           | 128          | 29.6         | 274          |              | 1.6          | > 10000      |              |              |              |           | 22.9         |              |              |              |              | 4.2          |
| OREAS 624 (Peroxide Fusion) Cert |           | 115          |              | 1070         |              | 21.3         |           | 133          | 32.9         | 273          |              | 1.32         | 30800        |              |              |              |           | 22.1         |              |              |              |              | 4.14         |
| OREAS 124 (Peroxide Fusion) Meas | 4.69      |              |              | 1020         | < 3          |              | 0.07      |              | 47.9         |              | 90           |              |              | 2.6          | 1.3          | 1.6          | 1.55      | 11.1         | 3.6          |              | 0.4          | < 10         |              |
| OREAS 124 (Peroxide Fusion) Cert | 4.62      |              |              | 1020         | 1.83         |              | 0.0880    |              | 47.6         |              | 51.0         |              |              | 2.82         | 1.60         | 1.15         | 1.56      | 10.5         | 3.47         |              | 0.580        | 6.22         |              |
| OREAS 124 (Peroxide Fusion) Meas |           |              |              | 1040         | < 3          |              |           |              | 47.1         |              | 80           |              |              | 3.1          | 2.1          | 1.3          |           | 11.4         | 3.4          |              | 0.5          | < 10         |              |
| OREAS 124 (Peroxide Fusion) Cert |           |              |              | 1020         | 1.83         |              |           |              | 47.6         |              | 51.0         |              |              | 2.82         | 1.60         | 1.15         |           | 10.5         | 3.47         |              | 0.580        | 6.22         |              |
| AMIS 0346 (Peroxide Fusion) Meas |           |              |              |              |              |              |           |              |              |              |              |              |              |              |              |              | > 30.0    |              |              |              |              |              |              |
| AMIS 0346 (Peroxide Fusion) Cert |           |              |              |              |              |              |           |              |              |              |              |              |              |              |              |              | 44.3      |              |              |              |              |              |              |
| AMIS 0346 (Peroxide Fusion) Meas |           |              |              |              |              |              |           |              |              |              |              |              |              |              |              |              |           |              |              |              |              |              |              |
| AMIS 0346 (Peroxide Fusion) Cert |           |              |              |              |              |              |           |              |              |              |              |              |              |              |              |              |           |              |              |              |              |              |              |
| NCS DC73520 Meas                 |           |              |              |              |              |              |           |              |              |              |              |              |              |              |              |              |           |              |              |              |              |              |              |
| NCS DC73520 Cert                 |           |              |              |              |              |              |           |              |              |              |              |              |              |              |              |              |           |              |              |              |              |              |              |
| CONG-4 Orig                      | 1.27      | 43           | 30           | 74           | < 3          | < 2          | 0.14      | < 2          | 196000       | 7.0          | 100          | 2.0          | 19           | 2080         | 308          | 2880         | 1.32      | 8450         | 10100        | 1070         | 200          | 10           | 2.4          |
| CONG-4 Dup                       | 1.27      | < 5          | 20           | 77           | < 3          | < 2          | 0.15      | < 2          | 203000       | 6.0          | 90           | 1.1          | 17           | 2010         | 313          | 2970         | 1.32      | 8330         | 10400        | 1050         | 206          | < 10         | < 0.2        |
| Method Blank                     | < 0.01    | < 5          | < 10         | < 3          | < 3          | < 2          | < 0.01    | < 2          | < 0.8        | 0.6          | 60           | < 0.1        | < 2          | < 0.3        | < 0.1        | < 0.1        | < 0.05    | < 0.2        | < 0.1        | < 0.7        | < 0.2        | < 10         | < 0.2        |
| Method Blank                     | < 0.01    |              |              |              |              |              | < 0.01    |              |              |              |              |              |              |              |              |              | < 0.05    |              |              |              |              |              |              |
| Method Blank                     | < 0.01    | 8            | < 10         | 4            | < 3          | < 2          | < 0.01    | < 2          | < 0.8        | 0.3          | 40           | 0.4          | 13           | < 0.3        | < 0.1        | < 0.1        | < 0.05    | < 0.2        | < 0.1        | < 0.7        | < 0.2        | < 10         | < 0.2        |



| Analyte Symbol           | K         | La           | Li           | Mg        | Mn           | Mo           | Nb           | Nd           | Ni           | Pb           | Pr           | Rb           | S         | Sb           | Se           | Si        | Sm           | Sn           | Sr           | Ta           | Tb           | Te           | Th           |
|--------------------------|-----------|--------------|--------------|-----------|--------------|--------------|--------------|--------------|--------------|--------------|--------------|--------------|-----------|--------------|--------------|-----------|--------------|--------------|--------------|--------------|--------------|--------------|--------------|
| Unit Symbol              | %         | ppm          | ppm          | %         | ppm          | ppm          | ppm          | ppm          | ppm          | ppm          | ppm          | ppm          | %         | ppm          | ppm          | %         | ppm          | ppm          | ppm          | ppm          | ppm          | ppm          | ppm          |
| Lower Limit              | 0.1       | 0.4          | 3            | 0.01      | 3            | 1            | 2.4          | 0.4          | 10           | 0.8          | 0.1          | 0.4          | 0.01      | 2            | 8            | 0.01      | 0.1          | 0.5          | 3            | 0.2          | 0.1          | 6            | 0.1          |
| Method Code              | FUS-Na2O2 | FUS-MS-Na2O2 | FUS-MS-Na2O2 | FUS-Na2O2 | FUS-MS-Na2O2 | FUS-MS-Na2O2 | FUS-MS-Na2O2 | FUS-MS-Na2O2 | FUS-MS-Na2O2 | FUS-MS-Na2O2 | FUS-MS-Na2O2 | FUS-MS-Na2O2 | FUS-Na2O2 | FUS-MS-Na2O2 | FUS-MS-Na2O2 | FUS-Na2O2 | FUS-MS-Na2O2 | FUS-MS-Na2O2 | FUS-MS-Na2O2 | FUS-MS-Na2O2 | FUS-MS-Na2O2 | FUS-MS-Na2O2 | FUS-MS-Na2O2 |
| PTM-1a Meas              |           |              |              |           |              |              |              |              | > 10000      |              |              |              | 22.1      |              |              |           |              |              |              |              |              |              |              |
| PTM-1a Cert              |           |              |              |           |              |              |              |              | 474400.00    |              |              |              | 22.4      |              |              |           |              |              |              |              |              |              |              |
| PTM-1a Meas              |           |              |              |           |              |              |              |              | > 10000      |              |              |              |           |              |              |           |              |              |              |              |              |              |              |
| PTM-1a Cert              |           |              |              |           |              |              |              |              | 474400.00    |              |              |              |           |              |              |           |              |              |              |              |              |              |              |
| CCU-1C Meas              |           |              |              |           |              |              |              |              |              |              |              |              | > 25.0    |              | 35           |           |              |              |              |              |              |              |              |
| CCU-1C Cert              |           |              |              |           |              |              |              |              |              |              |              |              | 33.3      |              | 107          |           |              |              |              |              |              |              |              |
| CCU-1C Meas              |           |              |              |           |              |              |              |              |              |              |              |              | > 25.0    |              | 70           |           |              |              |              |              |              |              |              |
| CCU-1C Cert              |           |              |              |           |              |              |              |              |              |              |              |              | 33.3      |              | 107          |           |              |              |              |              |              |              |              |
| NIST 696 Meas            |           |              |              |           |              |              |              |              |              |              |              |              |           |              |              |           |              |              |              |              |              |              |              |
| NIST 696 Cert            |           |              |              |           |              |              |              |              |              |              |              |              |           |              |              |           |              |              |              |              |              |              |              |
| DTS-2b Meas              |           |              |              | > 30.0    |              |              |              |              |              |              |              |              |           |              |              |           |              |              |              |              |              |              |              |
| DTS-2b Cert              |           |              |              | 29.8      |              |              |              |              |              |              |              |              |           |              |              |           |              |              |              |              |              |              |              |
| Oreas 74a (Fusion) Meas  |           |              |              |           |              |              |              |              | > 10000      |              |              |              | 7.27      |              |              | 15.5      |              |              |              |              |              |              |              |
| Oreas 74a (Fusion) Cert  |           |              |              |           |              |              |              |              | 32400.00     |              |              |              | 7.25      |              |              | 15.14     |              |              |              |              |              |              |              |
| Oreas 74a (Fusion) Meas  |           |              |              |           |              |              |              |              | > 10000      |              |              |              |           |              |              |           |              |              |              |              |              |              |              |
| Oreas 74a (Fusion) Cert  |           |              |              |           |              |              |              |              | 32400.00     |              |              |              |           |              |              |           |              |              |              |              |              |              |              |
| Oreas 74a (Fusion) Meas  |           |              |              |           |              |              |              |              | > 10000      |              |              |              |           |              |              |           |              |              |              |              |              |              |              |
| Oreas 74a (Fusion) Cert  |           |              |              |           |              |              |              |              | 32400.00     |              |              |              |           |              |              |           |              |              |              |              |              |              |              |
| OREAS 101a (Fusion) Meas | 2.3       | 785          |              | 1.19      | 903          | 21           |              | 405          |              |              | 131          |              |           |              |              |           | 46.3         |              |              |              | 5.3          |              | 36.0         |
| OREAS 101a (Fusion) Cert | 2.34      | 816          |              | 1.23      | 964          | 21.9         |              | 403          |              |              | 134          |              |           |              |              |           | 48.8         |              |              |              | 5.92         |              | 36.6         |
| OREAS 101a (Fusion) Meas |           | 835          |              |           | 916          | 25           |              | 403          |              |              | 138          |              |           |              |              |           | 46.7         |              |              |              | 6.3          |              | 39.3         |
| OREAS 101a (Fusion) Cert |           | 816          |              |           | 964          | 21.9         |              | 403          |              |              | 134          |              |           |              |              |           | 48.8         |              |              |              | 5.92         |              | 36.6         |
| OREAS 101a (Fusion) Meas |           | 812          |              |           | 931          | 19           |              | 406          |              |              | 125          |              |           |              |              |           | 45.4         |              |              |              | 5.7          |              | 37.4         |
| OREAS 101a (Fusion) Cert |           | 816          |              |           | 964          | 21.9         |              | 403          |              |              | 134          |              |           |              |              |           | 48.8         |              |              |              | 5.92         |              | 36.6         |
| SARM 3 Meas              |           | 234          |              |           | 5510         |              | 908.5        | 49.6         |              | 45.0         |              | 191          |           |              |              |           |              |              | 4300         |              |              |              | 66.5         |
| SARM 3 Cert              |           | 250.000      |              |           | 5960.00      |              | 978          | 48           |              | 43           |              | 190          |           |              |              |           |              |              | 4565         |              |              |              | 66           |
| SARM 3 Meas              |           | 226          |              |           | 5650         |              | 895.8        | 47.2         |              | 49.5         |              | 178          |           |              |              |           |              |              | 4270         |              |              |              | 61.7         |
| SARM 3 Cert              |           | 250.000      |              |           | 5960.00      |              | 978          | 48           |              | 43           |              | 190          |           |              |              |           |              |              | 4565         |              |              |              | 66           |
| NCS DC86303 Meas         |           |              | 2080         |           |              |              |              |              |              |              |              | 1320         |           |              |              |           |              |              |              |              |              |              |              |
| NCS DC86303 Cert         |           |              | 2100         |           |              |              |              |              |              |              |              | 1330         |           |              |              |           |              |              |              |              |              |              |              |
| NCS DC86303 Meas         |           |              | 2040         |           |              |              |              |              |              |              |              | 1360         |           |              |              |           |              |              |              |              |              |              |              |
| NCS DC86303 Cert         |           |              | 2100         |           |              |              |              |              |              |              |              | 1330         |           |              |              |           |              |              |              |              |              |              |              |
| NCS DC86303 Meas         |           |              | 2110         |           |              |              |              |              |              |              |              | 1310         |           |              |              |           |              |              |              |              |              |              |              |
| NCS DC86303              |           |              | 2100         |           |              |              |              |              |              |              |              | 1330         |           |              |              |           |              |              |              |              |              |              |              |

| Analyte Symbol                   | K         | La           | Li           | Mg        | Mn           | Mo           | Nb           | Nd           | Ni           | Pb           | Pr           | Rb           | S         | Sb           | Se           | Si        | Sm           | Sn           | Sr           | Ta           | Tb           | Te           | Th           |  |
|----------------------------------|-----------|--------------|--------------|-----------|--------------|--------------|--------------|--------------|--------------|--------------|--------------|--------------|-----------|--------------|--------------|-----------|--------------|--------------|--------------|--------------|--------------|--------------|--------------|--|
| Unit Symbol                      | %         | ppm          | ppm          | %         | ppm          | ppm          | ppm          | ppm          | ppm          | ppm          | ppm          | ppm          | %         | ppm          | ppm          | %         | ppm          | ppm          | ppm          | ppm          | ppm          | ppm          | ppm          |  |
| Lower Limit                      | 0.1       | 0.4          | 3            | 0.01      | 3            | 1            | 2.4          | 0.4          | 10           | 0.8          | 0.1          | 0.4          | 0.01      | 2            | 8            | 0.01      | 0.1          | 0.5          | 3            | 0.2          | 0.1          | 6            | 0.1          |  |
| Method Code                      | FUS-Na2O2 | FUS-MS-Na2O2 | FUS-MS-Na2O2 | FUS-Na2O2 | FUS-MS-Na2O2 | FUS-MS-Na2O2 | FUS-MS-Na2O2 | FUS-MS-Na2O2 | FUS-MS-Na2O2 | FUS-MS-Na2O2 | FUS-MS-Na2O2 | FUS-MS-Na2O2 | FUS-Na2O2 | FUS-MS-Na2O2 | FUS-MS-Na2O2 | FUS-Na2O2 | FUS-MS-Na2O2 | FUS-MS-Na2O2 | FUS-MS-Na2O2 | FUS-MS-Na2O2 | FUS-MS-Na2O2 | FUS-MS-Na2O2 | FUS-MS-Na2O2 |  |
| Cert                             |           |              |              |           |              |              |              |              |              |              |              |              |           |              |              |           |              |              |              |              |              |              |              |  |
| NCS DC86314 Meas                 |           |              | > 10000      |           |              |              |              |              |              |              |              | > 5000       |           |              |              |           |              | 155          |              |              |              |              |              |  |
| NCS DC86314 Cert                 |           |              | 18100.00     |           |              |              |              |              |              |              |              | 11400        |           |              |              |           |              | 152          |              |              |              |              |              |  |
| NCS DC86314 Meas                 |           |              | > 10000      |           |              |              |              |              |              |              |              | > 5000       |           |              |              |           |              | 150          |              |              |              |              |              |  |
| NCS DC86314 Cert                 |           |              | 18100.00     |           |              |              |              |              |              |              |              | 11400        |           |              |              |           |              | 152          |              |              |              |              |              |  |
| CZN-4 Meas                       |           |              |              |           |              |              |              |              |              | 1710         |              |              | > 25.0    |              | 48           | 0.27      |              |              |              |              |              |              |              |  |
| CZN-4 Cert                       |           |              |              |           |              |              |              |              |              | 1861.0000    |              |              | 33.07     |              | 86.7         | 0.295     |              |              |              |              |              |              |              |  |
| CZN-4 Meas                       |           |              |              |           |              |              |              |              |              | 1850         |              |              |           |              | 49           |           |              |              |              |              |              |              |              |  |
| CZN-4 Cert                       |           |              |              |           |              |              |              |              |              | 1861.0000    |              |              |           |              | 86.7         |           |              |              |              |              |              |              |              |  |
| OREAS 922 (Peroxide Fusion) Meas | 2.7       | 47.0         | 33           | 1.57      | 828          |              | 14.7         | 36.1         | 60           | 63.6         | 11.0         | 173          | 0.36      |              |              | > 30.0    | 8.2          | 13.1         | 63           | 1.6          | 0.9          |              | 18.6         |  |
| OREAS 922 (Peroxide Fusion) Cert | 2.60      | 45.6         | 29           | 1.61      | 880          |              | 15.2         | 38.9         | 40           | 64.0         | 10.6         | 167          | 0.389     |              |              | 30.51     | 7.31         | 10.0         | 58.0         | 1.3          | 1.02         |              | 17.7         |  |
| OREAS 621 (Peroxide Fusion) Meas | 2.2       | 29.6         |              | 0.51      | 547          | 15           | 14.6         | 23.7         |              | > 5000       | 6.5          | 89.6         | 4.29      | 147          |              | 28.2      |              |              | 101          |              |              |              | 8.2          |  |
| OREAS 621 (Peroxide Fusion) Cert | 2.23      | 26.1         |              | 0.516     | 554          | 14           | 10.4         | 24.2         |              | 13300        | 6.64         | 89.0         | 4.51      | 146          |              | 28.1      |              |              | 101          |              |              |              | 8.6          |  |
| OREAS 621 (Peroxide Fusion) Meas |           | 28.8         |              |           | 539          | 13           | 15.3         | 23.1         |              | > 5000       | 6.9          | 83.1         |           | 144          |              |           |              |              | 97           |              |              |              | 8.2          |  |
| OREAS 621 (Peroxide Fusion) Cert |           | 26.1         |              |           | 554          | 14           | 10.4         | 24.2         |              | 13300        | 6.64         | 89.0         |           | 146          |              |           |              |              | 101          |              |              |              | 8.6          |  |
| OREAS 621 (Peroxide Fusion) Meas |           | 29.2         |              |           | 553          | 13           | 10.4         | 23.0         |              | > 5000       | 6.0          | 83.4         |           | 147          |              |           |              |              | 110          |              |              |              | 8.6          |  |
| OREAS 621 (Peroxide Fusion) Cert |           | 26.1         |              |           | 554          | 14           | 10.4         | 24.2         |              | 13300        | 6.64         | 89.0         |           | 146          |              |           |              |              | 101          |              |              |              | 8.6          |  |
| OREAS 680 (Peroxide Fusion) Meas | 1.2       | 17.9         | 10           | 3.66      | 1190         |              | 6.9          | 20.9         | > 10000      | 2490         | 4.9          | 75.7         | 4.91      | 20           |              | 20.3      | 3.9          |              | 398          |              | 0.6          |              | 6.3          |  |
| OREAS 680 (Peroxide Fusion) Cert | 1.29      | 18.6         | 14.5         | 3.71      | 1240         |              | 5.09         | 20.8         | 21500        | 2580         | 4.99         | 76.0         | 5.14      | 19.7         |              | 20.6      | 4.26         |              | 420          |              | 0.550        |              | 6.73         |  |
| OREAS 680 (Peroxide Fusion) Meas |           | 17.5         | 16           |           | 1200         |              | 8.3          | 22.0         | > 10000      | 2470         | 4.8          | 71.3         |           | 17           |              |           | 3.8          |              | 402          |              | 0.7          |              | 6.6          |  |
| OREAS 680 (Peroxide Fusion) Cert |           | 18.6         | 14.5         |           | 1240         |              | 5.09         | 20.8         | 21500        | 2580         | 4.99         | 76.0         |           | 19.7         |              |           | 4.26         |              | 420          |              | 0.550        |              | 6.73         |  |
| OREAS 139 (Peroxide Fusion) Meas | 3.2       | 23.1         | 33           | 0.49      | 6170         | 10           |              |              |              | > 5000       |              | 136          | 15.6      | 65           |              | 15.9      |              |              | 438          |              | 0.5          |              | 7.6          |  |
| OREAS 139 (Peroxide Fusion) Cert | 3.30      | 23.1         | 40.4         | 0.501     | 6570         | 11.1         |              |              |              | 22000        |              | 145          | 16.04     | 63.0         |              | 16.34     |              |              | 479          |              | 0.500        |              | 7.54         |  |
| OREAS 139 (Peroxide Fusion)      |           | 25.9         | 44           |           | 6230         | 11           |              |              |              | > 5000       |              | 144          |           | 58           |              |           |              |              | 447          |              | 0.5          |              | 8.3          |  |

| Analyte Symbol                   | K         | La           | Li           | Mg        | Mn           | Mo           | Nb           | Nd           | Ni           | Pb           | Pr           | Rb           | S         | Sb           | Se           | Si        | Sm           | Sn           | Sr           | Ta           | Tb           | Te           | Th           |
|----------------------------------|-----------|--------------|--------------|-----------|--------------|--------------|--------------|--------------|--------------|--------------|--------------|--------------|-----------|--------------|--------------|-----------|--------------|--------------|--------------|--------------|--------------|--------------|--------------|
| Unit Symbol                      | %         | ppm          | ppm          | %         | ppm          | ppm          | ppm          | ppm          | ppm          | ppm          | ppm          | ppm          | %         | ppm          | ppm          | %         | ppm          | ppm          | ppm          | ppm          | ppm          | ppm          | ppm          |
| Lower Limit                      | 0.1       | 0.4          | 3            | 0.01      | 3            | 1            | 2.4          | 0.4          | 10           | 0.8          | 0.1          | 0.4          | 0.01      | 2            | 8            | 0.01      | 0.1          | 0.5          | 3            | 0.2          | 0.1          | 6            | 0.1          |
| Method Code                      | FUS-Na2O2 | FUS-MS-Na2O2 | FUS-MS-Na2O2 | FUS-Na2O2 | FUS-MS-Na2O2 | FUS-MS-Na2O2 | FUS-MS-Na2O2 | FUS-MS-Na2O2 | FUS-MS-Na2O2 | FUS-MS-Na2O2 | FUS-MS-Na2O2 | FUS-MS-Na2O2 | FUS-Na2O2 | FUS-MS-Na2O2 | FUS-MS-Na2O2 | FUS-Na2O2 | FUS-MS-Na2O2 | FUS-MS-Na2O2 | FUS-MS-Na2O2 | FUS-MS-Na2O2 | FUS-MS-Na2O2 | FUS-MS-Na2O2 | FUS-MS-Na2O2 |
| Meas                             |           |              |              |           |              |              |              |              |              |              |              |              |           |              |              |           |              |              |              |              |              |              |              |
| OREAS 139 (Peroxide Fusion) Cert |           | 23.1         | 40.4         |           | 6570         | 11.1         |              |              |              | 22000        |              | 145          |           | 63.0         |              |           |              |              | 479          |              | 0.500        |              | 7.54         |
| OREAS 624 (Peroxide Fusion) Meas | 1.0       | 16.7         | 8            | 1.31      | 640          | 15           | 5.8          | 16.5         |              | > 5000       | 3.9          | 33.8         | 13.5      | 70           |              | 20.8      |              |              | 46           |              |              |              | 4.4          |
| OREAS 624 (Peroxide Fusion) Cert | 0.991     | 17.3         | 10.3         | 1.31      | 660          | 17.8         | 5.78         | 16.8         |              | 6120         | 4.27         | 33.0         | 13.2      | 72.0         |              | 20.5      |              |              | 47.6         |              |              |              | 4.12         |
| OREAS 624 (Peroxide Fusion) Meas |           | 18.3         | 14           |           | 614          | 17           | 5.9          | 15.0         |              | > 5000       | 4.1          | 31.6         |           | 67           |              |           |              |              | 49           |              |              |              | 4.4          |
| OREAS 624 (Peroxide Fusion) Cert |           | 17.3         | 10.3         |           | 660          | 17.8         | 5.78         | 16.8         |              | 6120         | 4.27         | 33.0         |           | 72.0         |              |           |              |              | 47.6         |              |              |              | 4.12         |
| OREAS 624 (Peroxide Fusion) Meas |           | 17.5         | 30           |           | 661          | 16           | 7.0          | 15.1         |              | > 5000       | 3.6          | 34.9         |           | 71           |              |           |              |              | 53           |              |              |              | 3.8          |
| OREAS 624 (Peroxide Fusion) Cert |           | 17.3         | 10.3         |           | 660          | 17.8         | 5.78         | 16.8         |              | 6120         | 4.27         | 33.0         |           | 72.0         |              |           |              |              | 47.6         |              |              |              | 4.12         |
| OREAS 124 (Peroxide Fusion) Meas | 2.7       | 21.1         |              | 0.21      | 645          |              |              | 22.5         |              |              | 5.8          | 99.4         |           |              |              | > 30.0    | 4.1          |              |              |              | 0.7          |              | 5.9          |
| OREAS 124 (Peroxide Fusion) Cert | 2.62      | 21.6         |              | 0.224     | 700          |              |              | 20.8         |              |              | 5.39         | 86.0         |           |              |              | 38.2      | 4.21         |              |              |              | 0.480        |              | 5.74         |
| OREAS 124 (Peroxide Fusion) Meas |           | 21.5         |              |           | 636          |              |              | 21.6         |              |              | 5.2          | 86.7         |           |              |              |           | 3.3          |              |              |              | 0.4          |              | 5.7          |
| OREAS 124 (Peroxide Fusion) Cert |           | 21.6         |              |           | 700          |              |              | 20.8         |              |              | 5.39         | 86.0         |           |              |              |           | 4.21         |              |              |              | 0.480        |              | 5.74         |
| AMIS 0346 (Peroxide Fusion) Meas |           |              |              |           |              |              |              |              |              |              |              |              |           |              |              |           |              |              |              |              |              |              |              |
| AMIS 0346 (Peroxide Fusion) Cert |           |              |              |           |              |              |              |              |              |              |              |              |           |              |              |           |              |              |              |              |              |              |              |
| AMIS 0346 (Peroxide Fusion) Meas |           |              |              |           |              |              |              |              |              |              |              |              |           |              |              |           |              |              |              |              |              |              |              |
| AMIS 0346 (Peroxide Fusion) Cert |           |              |              |           |              |              |              |              |              |              |              |              |           |              |              |           |              |              |              |              |              |              |              |
| NCS DC73520 Meas                 |           |              |              |           |              |              |              |              |              |              |              |              | 0.43      |              |              |           |              |              |              |              |              |              |              |
| NCS DC73520 Cert                 |           |              |              |           |              |              |              |              |              |              |              |              | 0.44      |              |              |           |              |              |              |              |              |              |              |
| CONG-4 Orig                      | 0.3       | 79200        | 69           | 0.04      | 613          | < 1          | 626.6        | 114000       | 60           | 490          | 28800        | 20.3         | 0.03      | < 2          | 4780         | 3.85      | 19700        | 26500        | 1340         | 384          | 779          | < 6          | 5970         |
| CONG-4 Dup                       | 0.3       | 82800        | 59           | 0.04      | 650          | 3            | 623.7        | 117000       | 60           | 506          | 29600        | 17.5         | 0.02      | < 2          | 5030         | 3.79      | 20200        | 27800        | 1300         | 41.7         | 791          | < 6          | 4940         |
| Method Blank                     | < 0.1     | < 0.4        | < 3          | < 0.01    | 10           | 1            | < 2.4        | < 0.4        | 20           | < 0.8        | < 0.1        | 2.3          | < 0.01    | < 2          | < 8          | < 0.01    | < 0.1        | < 0.5        | 17           | 0.8          | < 0.1        | 27           | < 0.1        |
| Method Blank                     | < 0.1     |              |              | < 0.01    |              |              |              |              |              |              |              |              | < 0.01    |              |              | < 0.01    |              |              |              |              |              |              |              |
| Method Blank                     | < 0.1     | < 0.4        | 6            | < 0.01    | 7            | < 1          | 2.5          | < 0.4        | 20           | 3.0          | < 0.1        | 2.3          | < 0.01    | < 2          | 9            | < 0.01    | < 0.1        | 0.8          | 15           | 1.7          | < 0.1        | < 6          | < 0.1        |



| Analyte Symbol              | Ti            | Tl                   | Tm                   | U                    | V                    | W                    | Y                    | Yb                   | Zn                   | Sc            |
|-----------------------------|---------------|----------------------|----------------------|----------------------|----------------------|----------------------|----------------------|----------------------|----------------------|---------------|
| Unit Symbol                 | %             | ppm                  | ppm                  | ppm                  | ppm                  | ppm                  | ppm                  | ppm                  | ppm                  | ppm           |
| Lower Limit                 | 0.01          | 0.1                  | 0.1                  | 0.1                  | 5                    | 0.7                  | 0.1                  | 0.1                  | 30                   | 5             |
| Method Code                 | FUS-<br>Na2O2 | FUS-<br>MS-<br>Na2O2 | FUS-<br>MS-<br>Na2O2 | FUS-<br>MS-<br>Na2O2 | FUS-<br>MS-<br>Na2O2 | FUS-<br>MS-<br>Na2O2 | FUS-<br>MS-<br>Na2O2 | FUS-<br>MS-<br>Na2O2 | FUS-<br>MS-<br>Na2O2 | FUS-<br>Na2O2 |
| PTM-1a Meas                 |               |                      |                      |                      |                      |                      |                      |                      |                      |               |
| PTM-1a Cert                 |               |                      |                      |                      |                      |                      |                      |                      |                      |               |
| PTM-1a Meas                 |               |                      |                      |                      |                      |                      |                      |                      |                      |               |
| PTM-1a Cert                 |               |                      |                      |                      |                      |                      |                      |                      |                      |               |
| CCU-1C Meas                 | < 0.01        |                      |                      |                      |                      |                      |                      |                      | > 10000              |               |
| CCU-1C Cert                 | 0.00640       |                      |                      |                      |                      |                      |                      |                      | 39900                |               |
| CCU-1C Meas                 | < 0.01        |                      |                      |                      |                      |                      |                      |                      | > 10000              |               |
| CCU-1C Cert                 | 0.00640       |                      |                      |                      |                      |                      |                      |                      | 39900                |               |
| NIST 696 Meas               |               |                      |                      |                      |                      |                      |                      |                      |                      |               |
| NIST 696 Cert               |               |                      |                      |                      |                      |                      |                      |                      |                      |               |
| DTS-2b Meas                 |               |                      |                      |                      |                      |                      |                      |                      |                      | 9             |
| DTS-2b Cert                 |               |                      |                      |                      |                      |                      |                      |                      |                      | 3.00          |
| Oreas 74a<br>(Fusion) Meas  |               |                      |                      |                      |                      |                      |                      |                      |                      |               |
| Oreas 74a<br>(Fusion) Cert  |               |                      |                      |                      |                      |                      |                      |                      |                      |               |
| Oreas 74a<br>(Fusion) Meas  |               |                      |                      |                      |                      |                      |                      |                      |                      |               |
| Oreas 74a<br>(Fusion) Cert  |               |                      |                      |                      |                      |                      |                      |                      |                      |               |
| Oreas 74a<br>(Fusion) Meas  |               |                      |                      |                      |                      |                      |                      |                      |                      |               |
| Oreas 74a<br>(Fusion) Cert  |               |                      |                      |                      |                      |                      |                      |                      |                      |               |
| OREAS 101a<br>(Fusion) Meas | 0.39          |                      | 2.7                  | 410                  | 79                   |                      | 176                  | 17.3                 |                      |               |
| OREAS 101a<br>(Fusion) Cert | 0.395         |                      | 2.90                 | 422                  | 83                   |                      | 183                  | 17.5                 |                      |               |
| OREAS 101a<br>(Fusion) Meas |               |                      | 2.7                  | 441                  | 73                   |                      | 192                  | 17.3                 |                      |               |
| OREAS 101a<br>(Fusion) Cert |               |                      | 2.90                 | 422                  | 83                   |                      | 183                  | 17.5                 |                      |               |
| OREAS 101a<br>(Fusion) Meas |               |                      | 2.9                  | 429                  | 82                   |                      | 183                  | 17.6                 |                      |               |
| OREAS 101a<br>(Fusion) Cert |               |                      | 2.90                 | 422                  | 83                   |                      | 183                  | 17.5                 |                      |               |
| SARM 3 Meas                 |               |                      |                      | 18.1                 | 84                   |                      | 21.2                 |                      | 420                  |               |
| SARM 3 Cert                 |               |                      |                      | 14                   | 81                   |                      | 22                   |                      | 395                  |               |
| SARM 3 Meas                 |               |                      |                      | 17.3                 | 84                   |                      | 22.2                 |                      | 420                  |               |
| SARM 3 Cert                 |               |                      |                      | 14                   | 81                   |                      | 22                   |                      | 395                  |               |
| NCS DC86303<br>Meas         |               |                      |                      |                      |                      | 8.7                  |                      |                      |                      |               |
| NCS DC86303<br>Cert         |               |                      |                      |                      |                      | 8.9                  |                      |                      |                      |               |
| NCS DC86303<br>Meas         |               |                      |                      |                      |                      | 9.4                  |                      |                      |                      |               |
| NCS DC86303<br>Cert         |               |                      |                      |                      |                      | 8.9                  |                      |                      |                      |               |
| NCS DC86303<br>Meas         |               |                      |                      |                      |                      | 6.8                  |                      |                      |                      |               |
| NCS DC86303<br>Cert         |               |                      |                      |                      |                      | 8.9                  |                      |                      |                      |               |
| NCS DC86314<br>Meas         |               |                      |                      |                      |                      | 75.0                 |                      |                      |                      |               |

| Analyte Symbol                         | Ti            | Tl                   | Tm                   | U                    | V                    | W                    | Y                    | Yb                   | Zn                   | Sc            |
|--|---------------|----------------------|----------------------|----------------------|----------------------|----------------------|----------------------|----------------------|----------------------|---------------|
| Unit Symbol                            | %             | ppm                  | ppm                  | ppm                  | ppm                  | ppm                  | ppm                  | ppm                  | ppm                  | ppm           |
| Lower Limit                            | 0.01          | 0.1                  | 0.1                  | 0.1                  | 5                    | 0.7                  | 0.1                  | 0.1                  | 30                   | 5             |
| Method Code                            | FUS-<br>Na2O2 | FUS-<br>MS-<br>Na2O2 | FUS-<br>MS-<br>Na2O2 | FUS-<br>MS-<br>Na2O2 | FUS-<br>MS-<br>Na2O2 | FUS-<br>MS-<br>Na2O2 | FUS-<br>MS-<br>Na2O2 | FUS-<br>MS-<br>Na2O2 | FUS-<br>MS-<br>Na2O2 | FUS-<br>Na2O2 |
| NCS DC86314<br>Cert                    |               |                      |                      |                      |                      | 79.0                 |                      |                      |                      |               |
| NCS DC86314<br>Meas                    |               |                      |                      |                      |                      | 77.7                 |                      |                      |                      |               |
| NCS DC86314<br>Cert                    |               |                      |                      |                      |                      | 79.0                 |                      |                      |                      |               |
| CZN-4 Meas                             |               |                      |                      |                      |                      |                      |                      |                      | > 10000              |               |
| CZN-4 Cert                             |               |                      |                      |                      |                      |                      |                      |                      | 550700<br>.00        |               |
| CZN-4 Meas                             |               |                      |                      |                      |                      |                      |                      |                      | > 10000              |               |
| CZN-4 Cert                             |               |                      |                      |                      |                      |                      |                      |                      | 550700<br>.00        |               |
| OREAS 922<br>(Peroxide Fusion)<br>Meas | 0.44          | 0.8                  | 0.5                  | 3.5                  | 92                   |                      | 36.5                 | 3.6                  | 290                  |               |
| OREAS 922<br>(Peroxide Fusion)<br>Cert | 0.439         | 0.9                  | 0.510                | 3.6                  | 92.0                 |                      | 31.1                 | 3.17                 | 280                  |               |
| OREAS 621<br>(Peroxide Fusion)<br>Meas | 0.18          | 2.0                  |                      | 2.6                  | 34                   | 2.8                  | 12.6                 | 1.4                  | > 10000              |               |
| OREAS 621<br>(Peroxide Fusion)<br>Cert | 0.181         | 2.0                  |                      | 3.0                  | 36.3                 | 2.6                  | 13.9                 | 1.03                 | 52200                |               |
| OREAS 621<br>(Peroxide Fusion)<br>Meas |               | 2.0                  |                      | 2.8                  | 35                   | 3.6                  | 14.0                 | 0.8                  | > 10000              |               |
| OREAS 621<br>(Peroxide Fusion)<br>Cert |               | 2.0                  |                      | 3.0                  | 36.3                 | 2.6                  | 13.9                 | 1.03                 | 52200                |               |
| OREAS 621<br>(Peroxide Fusion)<br>Meas |               | 1.9                  |                      | 2.9                  | 38                   | 1.2                  | 12.8                 | 1.3                  | > 10000              |               |
| OREAS 621<br>(Peroxide Fusion)<br>Cert |               | 2.0                  |                      | 3.0                  | 36.3                 | 2.6                  | 13.9                 | 1.03                 | 52200                |               |
| OREAS 680<br>(Peroxide Fusion)<br>Meas | 0.52          |                      |                      | 2.1                  | 219                  |                      | 15.3                 | 1.7                  | 2330                 | 17            |
| OREAS 680<br>(Peroxide Fusion)<br>Cert | 0.523         |                      |                      | 1.55                 | 224                  |                      | 16.2                 | 1.52                 | 2320                 | 21.3          |
| OREAS 680<br>(Peroxide Fusion)<br>Meas |               |                      |                      | 2.3                  | 214                  |                      | 14.8                 | 1.6                  | 2390                 |               |
| OREAS 680<br>(Peroxide Fusion)<br>Cert |               |                      |                      | 1.55                 | 224                  |                      | 16.2                 | 1.52                 | 2320                 |               |
| OREAS 139<br>(Peroxide Fusion)<br>Meas | 0.15          | 34.3                 |                      | 11.5                 |                      |                      | 16.6                 |                      | > 10000              |               |
| OREAS 139<br>(Peroxide Fusion)<br>Cert | 0.157         | 35.4                 |                      | 12.2                 |                      |                      | 17.1                 |                      | 133600<br>.00        |               |
| OREAS 139<br>(Peroxide Fusion)<br>Meas |               | 32.4                 |                      | 12.0                 |                      |                      | 16.5                 |                      | > 10000              |               |
| OREAS 139<br>(Peroxide Fusion)         |               | 35.4                 |                      | 12.2                 |                      |                      | 17.1                 |                      | 133600<br>.00        |               |

| Analyte Symbol                         | Ti            | Tl                   | Tm                   | U                    | V                    | W                    | Y                    | Yb                   | Zn                   | Sc            |
|--|---------------|----------------------|----------------------|----------------------|----------------------|----------------------|----------------------|----------------------|----------------------|---------------|
| Unit Symbol                            | %             | ppm                  | ppm                  | ppm                  | ppm                  | ppm                  | ppm                  | ppm                  | ppm                  | ppm           |
| Lower Limit                            | 0.01          | 0.1                  | 0.1                  | 0.1                  | 5                    | 0.7                  | 0.1                  | 0.1                  | 30                   | 5             |
| Method Code                            | FUS-<br>Na2O2 | FUS-<br>MS-<br>Na2O2 | FUS-<br>MS-<br>Na2O2 | FUS-<br>MS-<br>Na2O2 | FUS-<br>MS-<br>Na2O2 | FUS-<br>MS-<br>Na2O2 | FUS-<br>MS-<br>Na2O2 | FUS-<br>MS-<br>Na2O2 | FUS-<br>MS-<br>Na2O2 | FUS-<br>Na2O2 |
| Cert                                   |               |                      |                      |                      |                      |                      |                      |                      |                      |               |
| OREAS 624<br>(Peroxide Fusion)<br>Meas | 0.16          | 0.9                  |                      | 1.2                  | 33                   | 7.1                  | 16.4                 | 2.0                  | > 10000              |               |
| OREAS 624<br>(Peroxide Fusion)<br>Cert | 0.146         | 0.940                |                      | 1.34                 | 43.3                 | 4.58                 | 17.3                 | 1.94                 | 24100                |               |
| OREAS 624<br>(Peroxide Fusion)<br>Meas |               | 0.9                  |                      | 1.2                  | 34                   | 4.8                  | 17.5                 | 2.1                  | > 10000              |               |
| OREAS 624<br>(Peroxide Fusion)<br>Cert |               | 0.940                |                      | 1.34                 | 43.3                 | 4.58                 | 17.3                 | 1.94                 | 24100                |               |
| OREAS 624<br>(Peroxide Fusion)<br>Meas |               | 1.1                  |                      | 1.3                  | 36                   | 3.8                  | 13.0                 | 1.5                  | > 10000              |               |
| OREAS 624<br>(Peroxide Fusion)<br>Cert |               | 0.940                |                      | 1.34                 | 43.3                 | 4.58                 | 17.3                 | 1.94                 | 24100                |               |
| OREAS 124<br>(Peroxide Fusion)<br>Meas | 0.27          |                      | 0.2                  | 1820                 | 21                   |                      | 13.7                 | 1.7                  |                      |               |
| OREAS 124<br>(Peroxide Fusion)<br>Cert | 0.254         |                      | 0.220                | 1790                 | 23.3                 |                      | 14.2                 | 1.63                 |                      |               |
| OREAS 124<br>(Peroxide Fusion)<br>Meas |               |                      | 0.2                  | 1790                 | 29                   |                      | 15.3                 | 1.4                  |                      |               |
| OREAS 124<br>(Peroxide Fusion)<br>Cert |               |                      | 0.220                | 1790                 | 23.3                 |                      | 14.2                 | 1.63                 |                      |               |
| AMIS 0346<br>(Peroxide Fusion)<br>Meas | 14.9          |                      |                      |                      | 2650                 |                      |                      |                      |                      |               |
| AMIS 0346<br>(Peroxide Fusion)<br>Cert | 15.0          |                      |                      |                      | 2700                 |                      |                      |                      |                      |               |
| AMIS 0346<br>(Peroxide Fusion)<br>Meas |               |                      |                      |                      | 2510                 |                      |                      |                      |                      |               |
| AMIS 0346<br>(Peroxide Fusion)<br>Cert |               |                      |                      |                      | 2700                 |                      |                      |                      |                      |               |
| NCS DC73520<br>Meas                    |               |                      |                      |                      |                      |                      |                      |                      |                      |               |
| NCS DC73520<br>Cert                    |               |                      |                      |                      |                      |                      |                      |                      |                      |               |
| CONG-4 Orig                            | 0.84          | 0.1                  | 23.2                 | 477                  | 29                   | 22.1                 | 4150                 | 90.5                 | 110                  | 42            |
| CONG-4 Dup                             | 0.81          | 0.2                  | 23.3                 | 452                  | 26                   | 19.5                 | 4120                 | 93.6                 | 90                   | 41            |
| Method Blank                           | < 0.01        | < 0.1                | < 0.1                | < 0.1                | 8                    | < 0.7                | < 0.1                | < 0.1                | < 30                 | < 5           |
| Method Blank                           | < 0.01        |                      |                      |                      |                      |                      |                      |                      |                      | < 5           |
| Method Blank                           | < 0.01        | < 0.1                | < 0.1                | < 0.1                | 7                    | < 0.7                | < 0.1                | 0.1                  | < 30                 | < 5           |





Report No.: A20-15305-P
Report Date: 31-Dec-20
Date Submitted: 27-Nov-20
Your Reference:

IGS Impact Global Solutions
70 Rue Goodfellow
Delson Quebec J5B 1V4
Canada

ATTN: Muhammad Hasib

CERTIFICATE OF ANALYSIS

1 Pulp samples were submitted for analysis.

Table with 2 columns: The following analytical package(s) were requested: and Testing Date:
Row 1: UT-7, QOP Sodium Peroxide (Sodium Peroxide Fusion ICPOES + ICPMS)

REPORT A20-15305-P

This report may be reproduced without our consent. If only selected portions of the report are reproduced, permission must be obtained. If no instructions were given at time of sample submittal regarding excess material, it will be discarded within 90 days of this report. Our liability is limited solely to the analytical cost of these analyses. Test results are representative only of material submitted for analysis.

Notes:

CERTIFIED BY:

Handwritten signature of Elitsa Hrischeva

Elitsa Hrischeva, Ph.D.
Quality Control Coordinator

ACTIVATION LABORATORIES LTD.
41 Bittern Street, Ancaster, Ontario, Canada, L9G 4V5
TELEPHONE +905 648-9611 or +1.888.228.5227 FAX +1.905.648.9613
E-MAIL Ancaster@actlabs.com ACTLABS GROUP WEBSITE www.actlabs.com

|                |             |
|----------------|-------------|
| Analyte Symbol | P2O5        |
| Unit Symbol    | %           |
| Lower Limit    | 0.01        |
| Method Code    | FUS-<br>XRF |
| CONG-4         | 23.64       |

|                |             |
|----------------|-------------|
| Analyte Symbol | P2O5        |
| Unit Symbol    | %           |
| Lower Limit    | 0.01        |
| Method Code    | FUS-<br>XRF |
| NIST 694 Meas  | 30.75       |
| NIST 694 Cert  | 30.2        |
| IF-G Meas      | 0.07        |
| IF-G Cert      | 0.0630      |
| BE-N Meas      | 1.10        |
| BE-N Cert      | 1.05        |
| BE-N Meas      | 1.07        |
| BE-N Cert      | 1.05        |
| SCH-1 Meas     | 0.13        |
| SCH-1 Cert     | 0.124       |
| SX18-05 Meas   | 5.74        |
| SX18-05 Cert   | 5.78        |



**XRF Semi-quantitatif**

| ID 365210    |               |
|--------------|---------------|
| Formula      | Conc          |
| SiO2         | 84,00%        |
| Al2O3        | 10,13%        |
| Fe2O3        | 2,88%         |
| K2O          | 1,30%         |
| TiO2         | 0,85%         |
| MgO          | 0,31%         |
| Na2O         | 0,14%         |
| P2O5         | 0,12%         |
| CeO2         | 0,08%         |
| CaO          | 0,06%         |
| ZrO2         | 0,03%         |
| SO3          | 0,03%         |
| Cl           | 0,02%         |
| MnO          | 0,01%         |
| ZnO          | 40 PPM        |
| CuO          | 39 PPM        |
| Rb2O         | 31 PPM        |
| Nb2O5        | 28 PPM        |
| SrO          | 22 PPM        |
| As2O3        | 20 PPM        |
| <b>Total</b> | <b>99,96%</b> |

| ID 365211    |               |
|--------------|---------------|
| Formula      | Conc          |
| SiO2         | 32,96%        |
| CeO2         | 16,15%        |
| P2O5         | 9,44%         |
| TiO2         | 7,80%         |
| SnO2         | 7,24%         |
| Nd2O3        | 6,75%         |
| Fe2O3        | 6,21%         |
| La2O3        | 4,84%         |
| Al2O3        | 4,02%         |
| Pr6O11       | 1,49%         |
| Sm2O3        | 0,94%         |
| Gd2O3        | 0,36%         |
| ThO2         | 0,28%         |
| K2O          | 0,26%         |
| Y2O3         | 0,23%         |
| MnO          | 0,20%         |
| CaO          | 0,18%         |
| MgO          | 0,16%         |
| PbO          | 0,11%         |
| SrO          | 0,08%         |
| ZrO2         | 0,07%         |
| Nb2O5        | 0,07%         |
| ZnO          | 0,07%         |
| Ta2O5        | 0,05%         |
| NiO          | 0,02%         |
| <b>Total</b> | <b>99,98%</b> |

| ID 365212    |               |
|--------------|---------------|
| Formula      | Conc          |
| SiO2         | 86,20%        |
| Al2O3        | 4,70%         |
| CeO2         | 1,85%         |
| TiO2         | 1,76%         |
| P2O5         | 1,39%         |
| Fe2O3        | 1,12%         |
| Nd2O3        | 0,77%         |
| K2O          | 0,62%         |
| La2O3        | 0,59%         |
| SnO2         | 0,45%         |
| MgO          | 0,11%         |
| Pr6O11       | 0,11%         |
| Sm2O3        | 0,08%         |
| CaO          | 0,04%         |
| ThO2         | 0,03%         |
| Y2O3         | 0,03%         |
| ZrO2         | 0,03%         |
| Eu2O3        | 0,03%         |
| MnO          | 0,03%         |
| Gd2O3        | 0,02%         |
| SrO          | 0,01%         |
| ZnO          | 96 PPM        |
| Nb2O5        | 67 PPM        |
| CuO          | 31 PPM        |
| NiO          | 30 PPM        |
| <b>Total</b> | <b>99,97%</b> |

| ID 365213    |               |
|--------------|---------------|
| Formula      | Conc          |
| SiO2         | 31,26%        |
| CeO2         | 19,08%        |
| P2O5         | 11,07%        |
| Nd2O3        | 7,92%         |
| SnO2         | 6,15%         |
| La2O3        | 5,86%         |
| TiO2         | 5,65%         |
| Fe2O3        | 4,50%         |
| Al2O3        | 3,69%         |
| Pr6O11       | 1,58%         |
| Sm2O3        | 1,12%         |
| Gd2O3        | 0,40%         |
| ThO2         | 0,34%         |
| Y2O3         | 0,27%         |
| K2O          | 0,24%         |
| MnO          | 0,15%         |
| MgO          | 0,12%         |
| PbO          | 0,10%         |
| CaO          | 0,10%         |
| SrO          | 0,09%         |
| ZnO          | 0,06%         |
| Nb2O5        | 0,06%         |
| Dy2O3        | 0,06%         |
| Ta2O5        | 0,05%         |
| Cl           | 0,03%         |
| NiO          | 0,02%         |
| UO2          | 0,02%         |
| <b>Total</b> | <b>99,99%</b> |

| ID 365216    |               |
|--------------|---------------|
| Formula      | Conc          |
| SiO2         | 87,80%        |
| Al2O3        | 5,23%         |
| TiO2         | 2,57%         |
| Fe2O3        | 2,50%         |
| K2O          | 0,71%         |
| CeO2         | 0,33%         |
| P2O5         | 0,27%         |
| Nd2O3        | 0,15%         |
| La2O3        | 0,10%         |
| MgO          | 0,07%         |
| SnO2         | 0,05%         |
| MnO          | 0,05%         |
| ZrO2         | 0,04%         |
| SO3          | 0,02%         |
| CaO          | 0,01%         |
| Y2O3         | 83 PPM        |
| ThO2         | 77 PPM        |
| MoO3         | 77 PPM        |
| ZnO          | 76 PPM        |
| CuO          | 47 PPM        |
| Nb2O5        | 46 PPM        |
| V2O5         | 38 PPM        |
| SrO          | 31 PPM        |
| Rb2O         | 19 PPM        |
| <b>Total</b> | <b>99,90%</b> |

| ID 365217    |               |
|--------------|---------------|
| Formula      | Conc          |
| SiO2         | 21,88%        |
| TiO2         | 17,94%        |
| CeO2         | 13,39%        |
| Fe2O3        | 13,24%        |
| SnO2         | 8,05%         |
| P2O5         | 7,55%         |
| Nd2O3        | 5,59%         |
| La2O3        | 4,10%         |
| Al2O3        | 3,90%         |
| Pr6O11       | 1,12%         |
| Sm2O3        | 0,84%         |
| MnO          | 0,44%         |
| Gd2O3        | 0,29%         |
| K2O          | 0,29%         |
| ThO2         | 0,25%         |
| ZrO2         | 0,21%         |
| Y2O3         | 0,19%         |
| Nb2O5        | 0,16%         |
| MgO          | 0,15%         |
| Ta2O5        | 0,13%         |
| PbO          | 0,12%         |
| SrO          | 0,07%         |
| ZnO          | 0,06%         |
| NiO          | 0,02%         |
| CuO          | 91 PPM        |
| <b>Total</b> | <b>99,98%</b> |

**Appareil:**

XRF S8 Tiger de Bruker

**Conditions:**

Semi-Quantitatif: Analyse sur l'échantillon en poudre QE-oxyde-28mm-full-atmHe.  
Résultats corrigés à 100%.

**XRF Semi-quantitatif**

| ID 365233    |               |
|--------------|---------------|
| Formula      | Conc          |
| SiO2         | 52,96%        |
| Al2O3        | 24,82%        |
| Fe2O3        | 14,33%        |
| K2O          | 5,35%         |
| TiO2         | 1,46%         |
| MgO          | 0,33%         |
| Na2O         | 0,26%         |
| BaO          | 0,12%         |
| P2O5         | 0,10%         |
| SO3          | 0,08%         |
| ZrO2         | 0,06%         |
| CeO2         | 0,04%         |
| MnO          | 0,03%         |
| Cr2O3        | 0,02%         |
| Rb2O         | 0,02%         |
| MoO3         | 0,01%         |
| ZnO          | 73 PPM        |
| Nb2O5        | 57 PPM        |
| SrO          | 55 PPM        |
| As2O3        | 45 PPM        |
| <b>Total</b> | <b>99,99%</b> |

| ID 365234    |               |
|--------------|---------------|
| Formula      | Conc          |
| Fe2O3        | 41,32%        |
| SiO2         | 40,16%        |
| Al2O3        | 15,54%        |
| K2O          | 1,38%         |
| TiO2         | 0,72%         |
| SO3          | 0,20%         |
| Na2O         | 0,17%         |
| MgO          | 0,12%         |
| P2O5         | 0,08%         |
| V2O5         | 0,07%         |
| Cr2O3        | 0,06%         |
| CaO          | 0,04%         |
| ZrO2         | 0,03%         |
| CeO2         | 0,03%         |
| MnO          | 0,03%         |
| As2O3        | 0,02%         |
| ZnO          | 97 PPM        |
| CuO          | 72 PPM        |
| Rb2O         | 48 PPM        |
| <b>Total</b> | <b>99,97%</b> |

| ID 365236    |               |
|--------------|---------------|
| Formula      | Conc          |
| SiO2         | 46,93%        |
| Al2O3        | 26,14%        |
| Fe2O3        | 20,11%        |
| K2O          | 4,20%         |
| TiO2         | 1,41%         |
| Na2O         | 0,37%         |
| MgO          | 0,29%         |
| P2O5         | 0,19%         |
| SO3          | 0,10%         |
| BaO          | 0,09%         |
| ZrO2         | 0,05%         |
| Cr2O3        | 0,03%         |
| MnO          | 0,03%         |
| Rb2O         | 0,01%         |
| As2O3        | 0,01%         |
| ZnO          | 84 PPM        |
| CuO          | 83 PPM        |
| Nb2O5        | 57 PPM        |
| Ga2O3        | 51 PPM        |
| SrO          | 50 PPM        |
| <b>Total</b> | <b>99,96%</b> |

| ID 365237    |               |
|--------------|---------------|
| Formula      | Conc          |
| SiO2         | 54,96%        |
| Al2O3        | 26,16%        |
| Fe2O3        | 12,61%        |
| K2O          | 3,80%         |
| TiO2         | 1,54%         |
| Na2O         | 0,26%         |
| MgO          | 0,24%         |
| SO3          | 0,11%         |
| P2O5         | 0,11%         |
| BaO          | 0,07%         |
| ZrO2         | 0,05%         |
| CeO2         | 0,02%         |
| Cr2O3        | 0,02%         |
| MnO          | 0,01%         |
| Rb2O         | 0,01%         |
| Nb2O5        | 77 PPM        |
| As2O3        | 51 PPM        |
| SrO          | 47 PPM        |
| <b>Total</b> | <b>99,97%</b> |

| ID 365238    |               |
|--------------|---------------|
| Formula      | Conc          |
| SiO2         | 88,60%        |
| Fe2O3        | 3,59%         |
| Al2O3        | 3,44%         |
| TiO2         | 2,30%         |
| K2O          | 0,52%         |
| CeO2         | 0,44%         |
| P2O5         | 0,43%         |
| Nd2O3        | 0,14%         |
| La2O3        | 0,13%         |
| SnO2         | 0,09%         |
| MgO          | 0,09%         |
| Cl           | 0,06%         |
| MnO          | 0,04%         |
| SO3          | 0,04%         |
| CaO          | 0,03%         |
| ZrO2         | 0,03%         |
| ZnO          | 0,01%         |
| Y2O3         | 90 PPM        |
| ThO2         | 81 PPM        |
| Nb2O5        | 45 PPM        |
| SrO          | 35 PPM        |
| Rb2O         | 12 PPM        |
| <b>Total</b> | <b>99,98%</b> |

| ID 365239    |               |
|--------------|---------------|
| Formula      | Conc          |
| SiO2         | 24,58%        |
| CeO2         | 17,93%        |
| P2O5         | 10,48%        |
| TiO2         | 9,25%         |
| Fe2O3        | 9,18%         |
| Nd2O3        | 7,56%         |
| La2O3        | 5,47%         |
| SnO2         | 5,30%         |
| Al2O3        | 5,03%         |
| Pr6O11       | 1,62%         |
| Sm2O3        | 1,11%         |
| Gd2O3        | 0,39%         |
| ThO2         | 0,35%         |
| K2O          | 0,33%         |
| Y2O3         | 0,27%         |
| MnO          | 0,26%         |
| ZrO2         | 0,17%         |
| MgO          | 0,15%         |
| Nb2O5        | 0,10%         |
| SrO          | 0,10%         |
| ZnO          | 0,09%         |
| PbO          | 0,08%         |
| Ta2O5        | 0,08%         |
| SO3          | 0,06%         |
| NiO          | 0,02%         |
| <b>Total</b> | <b>99,96%</b> |

**XRF Semi-quantitatif**

| ID 365215    |               |
|--------------|---------------|
| Formula      | Conc          |
| CeO2         | 23,46%        |
| SiO2         | 21,40%        |
| P2O5         | 13,23%        |
| SnO2         | 10,75%        |
| Nd2O3        | 9,22%         |
| La2O3        | 6,84%         |
| Al2O3        | 3,38%         |
| TiO2         | 3,26%         |
| Fe2O3        | 2,99%         |
| Pr6O11       | 1,89%         |
| Sm2O3        | 1,37%         |
| Gd2O3        | 0,53%         |
| ThO2         | 0,39%         |
| Y2O3         | 0,32%         |
| K2O          | 0,28%         |
| PbO          | 0,16%         |
| SrO          | 0,11%         |
| Nb2O5        | 0,09%         |
| MnO          | 0,08%         |
| ZrO2         | 0,07%         |
| Ta2O5        | 0,07%         |
| ZnO          | 0,06%         |
| WO3          | 0,02%         |
| NiO          | 0,02%         |
| <b>Total</b> | <b>99,99%</b> |

| ID 365220    |               |
|--------------|---------------|
| Formula      | Conc          |
| TiO2         | 21,21%        |
| SiO2         | 20,84%        |
| Fe2O3        | 19,93%        |
| CeO2         | 9,69%         |
| Al2O3        | 9,63%         |
| P2O5         | 6,13%         |
| Nd2O3        | 4,29%         |
| La2O3        | 2,98%         |
| SnO2         | 1,13%         |
| Pr6O11       | 0,78%         |
| MnO          | 0,72%         |
| Sm2O3        | 0,59%         |
| K2O          | 0,32%         |
| Gd2O3        | 0,28%         |
| ThO2         | 0,25%         |
| MgO          | 0,22%         |
| Nb2O5        | 0,18%         |
| Y2O3         | 0,16%         |
| Ta2O5        | 0,16%         |
| ZnO          | 0,13%         |
| CaO          | 0,11%         |
| ZrO2         | 0,08%         |
| WO3          | 0,06%         |
| SrO          | 0,05%         |
| PbO          | 0,03%         |
| SO3          | 0,02%         |
| NiO          | 99 PPM        |
| CuO          | 96 PPM        |
| MoO3         | 90 PPM        |
| <b>Total</b> | <b>99,97%</b> |

| ID 365221    |               |
|--------------|---------------|
| Formula      | Conc          |
| SiO2         | 33,19%        |
| Fe2O3        | 13,99%        |
| CeO2         | 11,25%        |
| TiO2         | 10,90%        |
| Al2O3        | 9,60%         |
| P2O5         | 7,03%         |
| Nd2O3        | 4,55%         |
| La2O3        | 3,55%         |
| SnO2         | 1,87%         |
| Pr6O11       | 0,92%         |
| Sm2O3        | 0,69%         |
| K2O          | 0,47%         |
| MnO          | 0,35%         |
| ThO2         | 0,26%         |
| Gd2O3        | 0,25%         |
| MgO          | 0,22%         |
| Y2O3         | 0,19%         |
| ZrO2         | 0,14%         |
| ZnO          | 0,11%         |
| Nb2O5        | 0,10%         |
| CaO          | 0,10%         |
| Ta2O5        | 0,08%         |
| SrO          | 0,06%         |
| SO3          | 0,04%         |
| PbO          | 0,03%         |
| WO3          | 0,03%         |
| NiO          | 0,01%         |
| CuO          | 0,01%         |
| <b>Total</b> | <b>99,99%</b> |

| ID 365223    |                |
|--------------|----------------|
| Formula      | Conc           |
| SiO2         | 25,28%         |
| CeO2         | 17,90%         |
| P2O5         | 10,78%         |
| Fe2O3        | 9,57%          |
| TiO2         | 9,18%          |
| Nd2O3        | 7,28%          |
| Al2O3        | 7,27%          |
| La2O3        | 5,37%          |
| SnO2         | 1,95%          |
| Pr6O11       | 1,47%          |
| Sm2O3        | 1,23%          |
| Gd2O3        | 0,39%          |
| ThO2         | 0,37%          |
| K2O          | 0,36%          |
| Y2O3         | 0,29%          |
| MnO          | 0,29%          |
| ZrO2         | 0,19%          |
| MgO          | 0,16%          |
| Nb2O5        | 0,13%          |
| CaO          | 0,13%          |
| Ta2O5        | 0,12%          |
| ZnO          | 0,09%          |
| SrO          | 0,09%          |
| PbO          | 0,04%          |
| WO3          | 0,04%          |
| SO3          | 0,03%          |
| NiO          | 0,02%          |
| CuO          | 98 PPM         |
| <b>Total</b> | <b>100,02%</b> |

| ID 365226    |               |
|--------------|---------------|
| Formula      | Conc          |
| SiO2         | 26,40%        |
| Fe2O3        | 18,79%        |
| TiO2         | 18,25%        |
| Al2O3        | 12,99%        |
| CeO2         | 7,03%         |
| P2O5         | 4,81%         |
| Nd2O3        | 3,30%         |
| SnO2         | 2,18%         |
| La2O3        | 2,17%         |
| Pr6O11       | 0,64%         |
| MnO          | 0,62%         |
| Sm2O3        | 0,47%         |
| K2O          | 0,34%         |
| MgO          | 0,29%         |
| WO3          | 0,26%         |
| Nb2O5        | 0,24%         |
| ZrO2         | 0,20%         |
| Ta2O5        | 0,20%         |
| ZnO          | 0,19%         |
| Gd2O3        | 0,17%         |
| ThO2         | 0,17%         |
| Y2O3         | 0,12%         |
| CaO          | 0,08%         |
| SrO          | 0,04%         |
| PbO          | 0,03%         |
| CuO          | 86 PPM        |
| Ga2O3        | 50 PPM        |
| <b>Total</b> | <b>99,98%</b> |

| ID 365227    |                |
|--------------|----------------|
| Formula      | Conc           |
| SiO2         | 48,40%         |
| Fe2O3        | 13,10%         |
| Al2O3        | 10,87%         |
| TiO2         | 10,14%         |
| CeO2         | 5,58%          |
| P2O5         | 3,95%          |
| Nd2O3        | 2,49%          |
| La2O3        | 1,72%          |
| SnO2         | 0,94%          |
| Pr6O11       | 0,41%          |
| Sm2O3        | 0,35%          |
| K2O          | 0,34%          |
| MnO          | 0,32%          |
| ZrO2         | 0,21%          |
| MgO          | 0,20%          |
| ZnO          | 0,15%          |
| Gd2O3        | 0,14%          |
| ThO2         | 0,13%          |
| Nb2O5        | 0,13%          |
| CaO          | 0,12%          |
| WO3          | 0,10%          |
| Y2O3         | 0,09%          |
| Ta2O5        | 0,09%          |
| SO3          | 0,04%          |
| SrO          | 0,03%          |
| NiO          | 89 PPM         |
| Ga2O3        | 48 PPM         |
| <b>Total</b> | <b>100,04%</b> |



**XRF Semi-quantitatif**

| ID 365229    |               |
|--------------|---------------|
| Formula      | Conc          |
| SiO2         | 42,72%        |
| Fe2O3        | 32,23%        |
| Al2O3        | 12,41%        |
| CeO2         | 3,56%         |
| P2O5         | 2,17%         |
| Nd2O3        | 1,54%         |
| SnO2         | 1,30%         |
| La2O3        | 1,15%         |
| TiO2         | 0,71%         |
| K2O          | 0,67%         |
| Sm2O3        | 0,33%         |
| Pr6O11       | 0,26%         |
| MgO          | 0,20%         |
| SO3          | 0,15%         |
| ZnO          | 0,09%         |
| ZrO2         | 0,08%         |
| ThO2         | 0,08%         |
| Y2O3         | 0,07%         |
| Cr2O3        | 0,07%         |
| Gd2O3        | 0,05%         |
| MnO          | 0,03%         |
| CaO          | 0,03%         |
| As2O3        | 0,03%         |
| CuO          | 0,02%         |
| MoO3         | 0,01%         |
| Nb2O5        | 87 PPM        |
| SrO          | 83 PPM        |
| Rb2O         | 34 PPM        |
| <b>Total</b> | <b>99,96%</b> |

| ID 365214    |               |
|--------------|---------------|
| Formula      | Conc          |
| SiO2         | 87,60%        |
| Al2O3        | 6,53%         |
| TiO2         | 1,88%         |
| Fe2O3        | 1,79%         |
| K2O          | 0,66%         |
| CeO2         | 0,38%         |
| P2O5         | 0,32%         |
| Na2O         | 0,18%         |
| Nd2O3        | 0,15%         |
| La2O3        | 0,12%         |
| SnO2         | 0,12%         |
| MgO          | 0,08%         |
| Cl           | 0,03%         |
| MnO          | 0,03%         |
| CaO          | 0,03%         |
| SO3          | 0,02%         |
| ZrO2         | 0,02%         |
| ThO2         | 83 PPM        |
| ZnO          | 79 PPM        |
| Y2O3         | 77 PPM        |
| Nb2O5        | 45 PPM        |
| SrO          | 29 PPM        |
| <b>Total</b> | <b>99,94%</b> |

| ID 365218    |                |
|--------------|----------------|
| Formula      | Conc           |
| SiO2         | 89,30%         |
| Al2O3        | 4,97%          |
| Fe2O3        | 2,16%          |
| TiO2         | 2,14%          |
| K2O          | 0,68%          |
| CeO2         | 0,20%          |
| P2O5         | 0,18%          |
| MgO          | 0,09%          |
| Nd2O3        | 0,09%          |
| La2O3        | 0,06%          |
| ZrO2         | 0,03%          |
| MnO          | 0,03%          |
| SO3          | 0,03%          |
| Cl           | 0,02%          |
| CaO          | 0,02%          |
| ZnO          | 68 PPM         |
| Y2O3         | 67 PPM         |
| Nb2O5        | 51 PPM         |
| ThO2         | 41 PPM         |
| SrO          | 16 PPM         |
| <b>Total</b> | <b>100,00%</b> |

| ID 365219    |               |
|--------------|---------------|
| Formula      | Conc          |
| SiO2         | 64,54%        |
| CeO2         | 8,51%         |
| P2O5         | 5,55%         |
| TiO2         | 3,75%         |
| Al2O3        | 3,62%         |
| Nd2O3        | 3,54%         |
| Fe2O3        | 3,30%         |
| La2O3        | 2,47%         |
| SnO2         | 2,26%         |
| Pr6O11       | 0,70%         |
| Sm2O3        | 0,49%         |
| K2O          | 0,29%         |
| Gd2O3        | 0,19%         |
| ThO2         | 0,17%         |
| Y2O3         | 0,13%         |
| MgO          | 0,09%         |
| ZrO2         | 0,08%         |
| MnO          | 0,07%         |
| ZnO          | 0,05%         |
| SrO          | 0,05%         |
| Nb2O5        | 0,04%         |
| Ta2O5        | 0,03%         |
| Cl           | 0,03%         |
| PbO          | 0,03%         |
| NiO          | 0,01%         |
| <b>Total</b> | <b>99,99%</b> |

| ID 365222    |                |
|--------------|----------------|
| Formula      | Conc           |
| SiO2         | 77,40%         |
| Al2O3        | 12,00%         |
| Fe2O3        | 7,00%          |
| K2O          | 1,94%          |
| TiO2         | 0,71%          |
| MgO          | 0,30%          |
| P2O5         | 0,15%          |
| Na2O         | 0,13%          |
| CeO2         | 0,10%          |
| SO3          | 0,07%          |
| CaO          | 0,06%          |
| ZrO2         | 0,05%          |
| La2O3        | 0,04%          |
| Cl           | 0,03%          |
| MnO          | 0,01%          |
| Cr2O3        | 0,01%          |
| Rb2O         | 83 PPM         |
| Y2O3         | 54 PPM         |
| ZnO          | 49 PPM         |
| CuO          | 48 PPM         |
| As2O3        | 40 PPM         |
| SrO          | 33 PPM         |
| Nb2O5        | 29 PPM         |
| <b>Total</b> | <b>100,00%</b> |

| ID 365224    |               |
|--------------|---------------|
| Formula      | Conc          |
| SiO2         | 57,90%        |
| Fe2O3        | 20,34%        |
| Al2O3        | 14,27%        |
| K2O          | 1,58%         |
| SnO2         | 1,18%         |
| CeO2         | 1,11%         |
| P2O5         | 0,93%         |
| TiO2         | 0,83%         |
| Nd2O3        | 0,46%         |
| La2O3        | 0,41%         |
| MgO          | 0,21%         |
| Na2O         | 0,20%         |
| Sm2O3        | 0,15%         |
| SO3          | 0,09%         |
| ZrO2         | 0,06%         |
| Cr2O3        | 0,04%         |
| Gd2O3        | 0,03%         |
| MnO          | 0,03%         |
| ZnO          | 0,03%         |
| Y2O3         | 0,03%         |
| ThO2         | 0,03%         |
| Cl           | 0,02%         |
| As2O3        | 0,02%         |
| Pr6O11       | 0,02%         |
| CuO          | 0,01%         |
| SrO          | 66 PPM        |
| Nb2O5        | 58 PPM        |
| NiO          | 57 PPM        |
| Rb2O         | 36 PPM        |
| <b>Total</b> | <b>99,98%</b> |

### XRF Semi-quantitatif

| ID 365225    |               |
|--------------|---------------|
| Formula      | Conc          |
| SiO2         | 82,90%        |
| Al2O3        | 10,25%        |
| Fe2O3        | 3,90%         |
| K2O          | 1,51%         |
| TiO2         | 0,76%         |
| CeO2         | 0,13%         |
| MgO          | 0,12%         |
| Na2O         | 0,12%         |
| P2O5         | 0,11%         |
| SnO2         | 0,05%         |
| ZrO2         | 0,04%         |
| Cl           | 0,04%         |
| CaO          | 0,02%         |
| MnO          | 0,01%         |
| Nb2O5        | 59 PPM        |
| ZnO          | 57 PPM        |
| Y2O3         | 51 PPM        |
| Rb2O         | 49 PPM        |
| CuO          | 30 PPM        |
| As2O3        | 25 PPM        |
| <b>Total</b> | <b>99,96%</b> |

| ID 365228    |               |
|--------------|---------------|
| Formula      | Conc          |
| SiO2         | 61,48%        |
| Fe2O3        | 17,43%        |
| Al2O3        | 17,08%        |
| K2O          | 2,07%         |
| TiO2         | 0,88%         |
| MgO          | 0,26%         |
| P2O5         | 0,25%         |
| Na2O         | 0,19%         |
| CeO2         | 0,09%         |
| SO3          | 0,09%         |
| ZrO2         | 0,05%         |
| Cr2O3        | 0,03%         |
| MnO          | 0,03%         |
| Cl           | 0,02%         |
| ZnO          | 0,02%         |
| As2O3        | 0,01%         |
| CuO          | 89 PPM        |
| Rb2O         | 83 PPM        |
| SrO          | 59 PPM        |
| Nb2O5        | 38 PPM        |
| <b>Total</b> | <b>99,98%</b> |

| ID 365230    |               |
|--------------|---------------|
| Formula      | Conc          |
| CeO2         | 17,33%        |
| SiO2         | 16,68%        |
| Fe2O3        | 13,49%        |
| TiO2         | 10,85%        |
| P2O5         | 10,62%        |
| Al2O3        | 10,37%        |
| Nd2O3        | 7,11%         |
| La2O3        | 5,35%         |
| SnO2         | 2,69%         |
| Pr6O11       | 1,53%         |
| Sm2O3        | 1,08%         |
| ThO2         | 0,38%         |
| MnO          | 0,38%         |
| Gd2O3        | 0,38%         |
| K2O          | 0,36%         |
| Y2O3         | 0,27%         |
| MgO          | 0,20%         |
| ZrO2         | 0,16%         |
| Nb2O5        | 0,15%         |
| Ta2O5        | 0,14%         |
| ZnO          | 0,14%         |
| CaO          | 0,11%         |
| SrO          | 0,09%         |
| PbO          | 0,05%         |
| WO3          | 0,04%         |
| SO3          | 0,03%         |
| NiO          | 0,01%         |
| <b>Total</b> | <b>99,99%</b> |

| ID 365231    |                |
|--------------|----------------|
| Formula      | Conc           |
| SiO2         | 30,80%         |
| Fe2O3        | 29,21%         |
| Al2O3        | 9,79%          |
| CeO2         | 9,08%          |
| P2O5         | 5,41%          |
| SnO2         | 4,98%          |
| Nd2O3        | 3,75%          |
| La2O3        | 2,92%          |
| TiO2         | 0,80%          |
| Pr6O11       | 0,79%          |
| Sm2O3        | 0,68%          |
| K2O          | 0,29%          |
| Gd2O3        | 0,28%          |
| Na2O         | 0,17%          |
| ZrO2         | 0,17%          |
| ThO2         | 0,17%          |
| Y2O3         | 0,15%          |
| MgO          | 0,11%          |
| SO3          | 0,10%          |
| Cr2O3        | 0,09%          |
| ZnO          | 0,07%          |
| PbO          | 0,07%          |
| MnO          | 0,04%          |
| SrO          | 0,03%          |
| Nb2O5        | 0,02%          |
| Sc2O3        | 0,01%          |
| CuO          | 0,01%          |
| NiO          | 0,01%          |
| <b>Total</b> | <b>100,00%</b> |

| ID 365232    |               |
|--------------|---------------|
| Formula      | Conc          |
| SiO2         | 53,21%        |
| Fe2O3        | 27,19%        |
| Al2O3        | 15,96%        |
| K2O          | 2,05%         |
| TiO2         | 0,85%         |
| MgO          | 0,22%         |
| P2O5         | 0,14%         |
| SO3          | 0,11%         |
| V2O5         | 0,05%         |
| ZrO2         | 0,05%         |
| Cr2O3        | 0,04%         |
| MnO          | 0,03%         |
| CaO          | 0,02%         |
| As2O3        | 0,02%         |
| CuO          | 0,01%         |
| ZnO          | 0,01%         |
| Rb2O         | 83 PPM        |
| <b>Total</b> | <b>99,96%</b> |

| ID 365235    |               |
|--------------|---------------|
| Formula      | Conc          |
| SiO2         | 67,10%        |
| Fe2O3        | 15,23%        |
| Al2O3        | 11,09%        |
| CeO2         | 1,52%         |
| K2O          | 1,23%         |
| P2O5         | 0,92%         |
| Nd2O3        | 0,70%         |
| TiO2         | 0,69%         |
| La2O3        | 0,46%         |
| Sm2O3        | 0,15%         |
| Pr6O11       | 0,14%         |
| MgO          | 0,10%         |
| SnO2         | 0,10%         |
| SO3          | 0,08%         |
| CaO          | 0,07%         |
| Nb2O5        | 0,05%         |
| Gd2O3        | 0,05%         |
| ThO2         | 0,04%         |
| Cl           | 0,03%         |
| Cr2O3        | 0,03%         |
| ZrO2         | 0,03%         |
| Y2O3         | 0,03%         |
| Ta2O5        | 0,03%         |
| MnO          | 0,03%         |
| WO3          | 0,02%         |
| Eu2O3        | 0,01%         |
| ZnO          | 0,01%         |
| As2O3        | 0,01%         |
| SrO          | 89 PPM        |
| Rb2O         | 31 PPM        |
| CoO          | 14 PPM        |
| <b>Total</b> | <b>99,95%</b> |


**SIGNATURE :**

Keven Pépin, chimiste.

COALIA – PROJECT: #9847  
OBAYE, RDC

|   |   |   |   |   |   |
|---|---|---|---|---|---|
| <p><b>ID 365210</b></p>    | <p><b>ID 365211</b></p>    | <p><b>ID 365212</b></p>    | <p><b>ID 365213</b></p>    | <p><b>ID 365216</b></p>    | <p><b>ID 365217</b></p>    |
| <p><b>ID 365233</b></p>   | <p><b>ID 365234</b></p>   | <p><b>ID 365236</b></p>    | <p><b>ID 365237</b></p>    | <p><b>ID 365238</b></p>   | <p><b>ID 365239</b></p>   |
| <p><b>ID 365215</b></p>  | <p><b>ID 365220</b></p>  | <p><b>ID 365221</b></p>  | <p><b>ID 365223</b></p>  | <p><b>ID 365226</b></p>  | <p><b>ID 365227</b></p>  |



|  |   |  |  |   |  |
|--|---|--|--|---|--|
| <p><b>ID 365229</b></p>  <p>M-9846<br/>Central American Nickel<br/>Projet Obaye<br/>ID: 365229.</p> | <p><b>ID 365214</b></p>  <p>M-9846<br/>Central American Nickel<br/>Projet Obaye<br/>ID: 365214</p> | <p><b>ID 365218</b></p>  <p>M-9846<br/>Central American Nickel<br/>Projet Obaye.<br/>ID: 365218</p> | <p><b>ID 365219</b></p>  <p>M-9846<br/>Central American Nickel<br/>Projet Obaye<br/>ID: 365219.</p> | <p><b>ID 365222</b></p>  <p>M-9846<br/>Central American Nickel<br/>Projet Obaye<br/>ID: 365222</p> | <p><b>ID 365224</b></p>  <p>M-9846<br/>Central American Nickel<br/>Projet Obaye<br/>ID: 365224</p>  |
| <p><b>ID 365225</b></p>  <p>M-9846<br/>Central American Nickel<br/>Projet Obaye<br/>ID: 365225.</p> | <p><b>ID 365228</b></p>  <p>M-9846<br/>Central American Nickel<br/>Projet Obaye<br/>ID: 365228</p> | <p><b>ID 365230</b></p>  <p>M-9846<br/>Central American Nickel<br/>Projet Obaye<br/>ID: 365230</p>  | <p><b>ID 365231</b></p>  <p>M-9846<br/>Central American Nickel<br/>Projet Obaye<br/>ID: 365231.</p> | <p><b>ID 365232</b></p>  <p>M-9846<br/>Central American Nickel<br/>Projet Obaye<br/>ID: 365232</p> | <p><b>ID 365235</b></p>  <p>M-9846<br/>Central American Nickel<br/>Projet Obaye<br/>ID: 365235.</p> |

**ANNEXE 4**

**EXTRAIT DE : OPPORTUNITIES IN DRC : COPPER, TANTALITE & RARE EARTHS DEPOSITS – KIBARA  
MINERALS MARCH 2020, PAGES 7 ET 8**

**ACCORD D'ACHAT DE MINERAI DU 12 SEPTEMBRE 2019**

**ACCORD D'ACHAT DE MINERAI DU 3 NOVEMBRE 2020**

**ACCORD PRELIMINAIRE DE PARTENARIAT ENTRE SAKIMA SA ET KIBARA MINERALS SARLU**

# OBAYE RARE EARTH PROJECT

---

- KIBARA has the exclusive option to purchase nodular monazite (natural rare earths concentrate) from the Cooperative Minière Okapi, for a period of two years renewable thereafter. The company has also has the option to apply and be granted the mining license covering the nodular monazite deposit.
- A representative sample of the nodular monazite, was tested by the IGS lab in Delson (Quebec), with results in the attached file. Highlights of the chemical analysis include:
  1. A high content of strategic heavy rare earths including:  
Terbium Oxide: 4.17%, Neodymium Oxide: 11.05%, Praseodymium Oxide: 18.20%;
  2. Non-radioactive material: The nodular monazite is non-radioactive. This is a big advantage during processing and refining, and gives the product a price premium.





# OBYE RARE EARTH PROJECT - Product Marketing

- Canada Rare Earth Corporation (CREC), a TSX listed company has received and tested a sample of the product, and has expressed a firm interest to buy a quantity of 200 tons per month of nodular monazite from KIBARA.
- The product will be sold CIF Main Chinese Port, at 25% of the value of the contained rare earths oxides. At current market conditions, this represents a selling price of USD 9,500 per ton of nodular monazite, as per the attached chemical analysis. CIF Main Chinese Port costs (including purchase price, shipping costs, export taxes) is USD 4,000 per ton of nodular monazite. Net profits is USD 5,500 per ton. For a transaction volume of 200 tons per month of nodular monazite, projected net profits per month is USD 1.1 Million.

*Sample C1 REE scan: LiM/LiT fusion -Strong acid digestion and ICP-OES finish*

|              | Er      | Sc      | Th      | Y       | Yb      | Dy      | Ho      | Lu      | Tm      | Eu      | Gd      | La      | Nd      | Sm      | Tb      | Pr      | Ce      |
|--------------|---------|---------|---------|---------|---------|---------|---------|---------|---------|---------|---------|---------|---------|---------|---------|---------|---------|
|              | 337.271 | 361.383 | 283.730 | 371.029 | 328.937 | 353.170 | 345.600 | 261.542 | 313.126 | 393.048 | 308.199 | 379.478 | 430.358 | 442.434 | 384.873 | 422.293 | 456.236 |
| Metals (ppm) |         | 268     | 94      | 341     | 96      | 299     | 39      | 8       |         | 167     | 1622    | 42236   | 94740   | 10065   | 36103   | 155551  | 155345  |
| Oxides (%)   | 0.00%   | 0.04%   | 0.01%   | 0.04%   | 0.01%   | 0.03%   | 0.00%   | 0.00%   | 0.00%   | 0.02%   | 0.19%   | 4.95%   | 11.05%  | 1.17%   | 4.16%   | 18.20%  | 19.08%  |

*Notes:*

- *The results are obtained after Fusion recipe optimisation (3 with LiM/LiT and 3 with NaOH);*
- *No reference material is used to assert complete fusion recoveries (one sample assay request);*
- *Wavelength selection was optimized to minimize interferences;*

*It is generally considered that analytical determination with an accuracy better than 10% are quantitative, and 30% to 50% are known as semi-quantitative. The C1 REE assay results are rather to be qualified as semi-quantitative.*



## ACCORD D'ACHAT DE MINERAIS

Le présent accord est établi en date du 12 Septembre 2019, entre les parties ci-bas:

- La Coopérative Minière Okapi (ci-après C.M.O), ayant son siège social dans la ville de Kisangani, province de la Tshopo et représentée pour la signature de cet accord par son Président, Monsieur Muhamed SHANI Aloise;

- La société Kibara Minerals s.a.r.l, ayant son siège social au numéro 47, Avenue Roi Baudouin, Commune de Gombe, Kinshasa et représentée pour la signature de cet accord, par son Directeur-Gérant, Monsieur Jean-Claude LUSINDE.

C.M.O et Kibara Minerals conviennent d'établir un accord d'achat de minerais avec les clauses ci-bas:

1. C.M.O accorde à Kibara Minerals, le droit exclusif d'achat de minerais de monazite, provenant de la carrière artisanale d'Obaye. La période d'exclusivité d'achat est de deux ans à compter de la date de signature de cet accord, renouvelable pour une autre période de deux ans par la suite.
2. C.M.O détient l'autorisation de procéder à une exploitation artisanale de monazite dans la carrière d'Obaye, octroyée à C.M.O par le Ministère des Mines de la R.D.Congo.
3. Le prix par tonne sèche de minerai de monazite livrée à Kisangani, est établi a USD 2500.
4. Une révision de prix d'achat sera menée de manière ponctuelle, en cas d'une variation absolue de plus ou de moins de 5% du prix de monazite, à partir de la date de signature de cet accord.
5. Kibara Minerals procédera à sa charge, endéans les 60 jours de la date de signature de cet accord, à la découverte mécanisée de la carrière d'Obaye, en vue d'accroître le volume de production de minerais de monazite.
6. Le volume mensuel ciblé de production est de minimum 100 tonnes sèches de minerais de monazite.
7. Kibara Minerals couvrira à sa charge tous les frais et charges de l'exploitation artisanale de la carrière d'Obaye incluant:
  - 7.1 Achat d'équipement pour les creuseurs (bottes, combinaisons de travail, barres à mines...);
  - 7.2 Machines de travail incluant pompes à eau, groupes électrogènes...
  - 7.3 Carburant;
  - 7.4 Frais et charges administratives provinciales et nationales.

 J-C L



8. C.M.O accorde à Kibara Minerals le droit de déployer son personnel sur le site d'Obaye, afin de superviser les activités de production de minerais de monazite.

9. Cet accord signé et transmis par email est légal et engage les parties signatrices. La juridiction légale de la R.D.Congo est applicable sur cet accord.

10. En cas de non-performance des clauses de cet accord endéans les 60 jours de sa signature, cet accord devient caduque et nul.

- Pour la Coopérative Minière Okapi

**Muhamed SHANI Aloise**  
Président



- Pour Kibara Minerals s.a.r.l



**Jean-Claude LUSINDE**  
Directeur-Gérant

## ACCORD D'ACHAT DE MINERAIS

Le présent accord est établi en date du 3 Novembre 2020, entre les parties ci-bas:

- **La Coopérative Minière Okapi (ci-après C.M.O)**, ayant son siège social dans la ville de Kisangani, province de la Tshopo et représentée pour la signature de cet accord par son Président, Monsieur **Muhamed SHANI Aloise**;

- **La société Kibara Minerals s.a.r.l**, ayant son siège social au numéro 47, Avenue Roi Baudouin, Commune de Gombe, Kinshasa et représentée pour la signature de cet accord, par son Directeur-Gérant, Monsieur **Jean-Claude LUSINDE**.

C.M.O et Kibara Minerals conviennent d'établir un accord d'achat de minerais avec les clauses ci-bas:

1. C.M.O accorde à Kibara Minerals, le droit exclusif d'achat de minerais de monazite, provenant de la carrière artisanale d'Obaye. La période d'exclusivité d'achat est de cinq ans à compter de la date de signature de cet accord, renouvelable pour une autre période de cinq ans par la suite.

2. C.M.O détient l'autorisation de procéder à une exploitation artisanale de monazite dans la carrière d'Obaye, octroyée à C.M.O par le Ministère des Mines de la R.D.Congo.

3. Le prix par tonne sèche de minerai de monazite livrée à Kisangani, est établi à USD 2000.

4. Une révision de prix d'achat sera menée de manière ponctuelle, en cas d'une variation absolue de plus ou de moins de 5% du prix de monazite, à partir de la date de signature de cet accord.

5. Kibara Minerals procèdera à sa charge, endéans les 60 jours de la date de signature de cet accord, à la découverte mécanisée de la carrière d'Obaye, en vue d'accroître le volume de production de minerais de monazite.

6. Le volume mensuel ciblé de production est de minimum 100 tonnes sèches de minerais de monazite.

7. Kibara Minerals couvrira à sa charge tous les frais et charges de l'exploitation artisanale de la carrière d'Obaye incluant:

7.1 Achat d'équipement pour les creuseurs (bottes, combinaisons de travail, barres à

J-C L



mines...);

7.2 Machines de travail incluant pompes à eau, groupes électrogènes...

7.3 Carburant;

7.4 Frais et charges administratives provinciales et nationales.

8. C.M.O accorde à Kibara Minerals le droit de déployer son personnel sur le site d'Obaye, afin de superviser les activités de production de minerais de monazite.

9. Cet accord signé et transmis par email est légal et engage les parties signatrices. La juridiction légale de la R.D.Congo est applicable sur cet accord.

10. En cas de non-performance des clauses de cet accord endéans les 60 jours de sa signature, cet accord devient caduque et nul.

- Pour la Coopérative Minière Okapi



**Muhamed SHANI Aloise**  
Président

- Pour Kibara Minerals s.a.r.l



**Jean-Claude LUSINDE**  
Directeur-Gérant

# ACCORD PRELIMINAIRE

## ENTRE :

La société anonyme dénommée **Société Aurifère du Kivu et du Maniema**, en sigle SAKIMA SA, société de droit congolais immatriculée au Registre du Crédit Commercial et Mobilier sous le numéro 14-B-5785, ayant comme Numéro d'Identification Nationale K30899W et dont le siège social est sis au n°316 de l'avenue Lt. Colonel Lukusa, à Kinshasa/Gombe, en République Démocratique du Congo, représentée aux fins du présent Accord par Messieurs Fidèle BASEMENANE KASONGO et LAZARE KANSILEMBO NGUMBI, respectivement Directeur Général et Directeur Financier, ci-après dénommée « SAKIMA », d'une part ;

## ET

La société KIBARA MINERALS SARLU, société de droit congolais ayant son siège social sis au numéro 47, Avenue Roi Baudouin, Commune de Gombe, Kinshasa être présentée par Monsieur Jean Claude LUSINDE, Directeur Gérant, d'autre part ;

## IL A ÉTÉ PRÉALABLEMENT EXPOSÉ QUE :

- (A) SAKIMA S.A. est titulaire des droits miniers représentés par des Permis d'Exploitation N° 71 et 75 situés dans le Territoire de Walikale, Province du Nord Kivu, couvrant des gisements de cassitérite, de coltan, de wolframite et d'autres substances minérales associées, lui délivrés conformément à la législation minière en vigueur en République Démocratique du Congo ; J-CL
- (B) Ne disposant actuellement de ressources financières suffisantes, SAKIMA SA s'est résolue de recourir à des partenaires disposant de l'expertise technique et de moyens financiers conséquents, en vue de relancer ses activités de prospection, de recherche et d'exploitation dans ses périmètres miniers ;
- (C) Les Parties ont entamé des négociations pour définir les termes de collaboration lors d'un partenariat dont le but ultime est la mise en valeur des périmètres miniers de la SAKIMA S.A. situés dans la Province du Nord Kivu et libres de tout engagement passé, présent ou futur comme cela est précisé à l'article 2 ;
- (D) Sur la base des informations obtenues de la SAKIMA, KIBARA MINERALS SARLU, effectuera des études d'évaluation préliminaires des monazites, cassitérites, wolframites et coltans en vue de conclure éventuellement un projet de partenariat consolidé par écrit entre SAKIMA – KIBARA MINERALS SARLU (ou toute autre entité à laquelle KIBARA MINERALS SARLU voudrait se substituer) en cas de résultat positif. Apporteur des fonds, KIBARA MINERALS aura une part majoritaire dans ce projet.

## IL A ÉTÉ CONVENU ET ARRÊTÉ CE QUI SUIT :





## Article 1 : DE L'OBJET

Le présent Accord préliminaire a pour objet de déterminer les modalités de collaboration entre les Parties pour la conclusion d'un contrat durable ouvrant la voie à l'investissement à long terme par la mise en valeur de certains gisements de SAKIMA. Il s'agit principalement de :

- L'évaluation préliminaire, par KIBARA MINERALS SARLU, des actifs et données disponibles à la SAKIMA afin de prendre une décision éclairée avant tout accord de coentreprise ;
- La définition du partenariat, des droits et obligations des Parties à chaque étape de la mise en œuvre du projet ;
- L'exécution sincère des activités convenues et sélectionnées dans le cadre de cet accord préliminaire, dans le strict respect des dispositions du Code et Règlement miniers en vigueur en République Démocratique du Congo (RDC), ainsi que de toutes les exigences légales et réglementaires en RDC, en particulier en ce qui concerne la protection de l'environnement ;
- La détermination de toutes autres activités convenables entre les Parties comme plus amplement décrit à l'article 4.

## Article 2 : ZONES DU PROJET

Les Parties conviennent que le présent accord préliminaire porte particulièrement sur les permis d'exploitation N°71 et 75 de SAKIMA situés dans le Territoire de Walikale, Province du Nord Kivu.

J- C L

## Article 3 : DE LA DURÉE

Le présent accord préliminaire est conclu pour une durée maximum de quatre (4) mois, prenant cours à la date de sa signature par les deux parties. Cette durée pourra être prorogée par les Parties.

## Article 4 : ACTIVITÉS À RÉALISER PAR LES PARTIES

Les Parties conviennent de se consacrer dans le cadre de cet accord préliminaire à mener diverses activités, dont principalement :

Pour KIBARA MINERALS,

- l'examen des informations et des documents techniques mis à disposition, y compris les rapports de prospection, les cartes et plans divers, les logs de sondages, etc., et autres documents attestant des droits miniers ;
- la réalisation des travaux de recherche et des études de reconnaissance des sites miniers, y compris des échantillonnages appropriés, afin de dégager de zones focales du training minier ultérieur ;



- l'ébauche d'études exploratoires en vue d'investiguer le corps et l'extension de la minéralisation proprement dite ;
- la rédaction d'un rapport clôturant les études préliminaires en vue de la constitution subséquente de la coentreprise ;
- le financement des plans et travaux de recherche convenus.

Pour SAKIMA,

- la facilitation de l'accès de KIBARA MINERALS aux documents juridiques et techniques ainsi qu'aux sites concernés par l'actuel accord préliminaire ;
- l'examen et éventuellement, l'acceptation des plans et travaux de recherche proposés ;
- la sécurisation, avec le concours éventuel des autorités attirées, des personnes désignées pour agir sur le terrain dans le cadre de l'actuel accord préliminaire.

Toute autre activité de mise en valeur des périmètres concernés sera autorisée par un addendum ou un autre accord pour autant qu'elle ne viole pas les dispositions du Code et Règlement miniers, ainsi que les exigences légales et réglementaires en RDC.

#### Article 5 : EXCLUSIVITÉ

La SAKIMA accorde par le présent accord préliminaire à KIBARA MINERALS un accès complet à la zone du projet et d'autre part, les droits d'acquisition et importation des équipements, et de construction et implantation des dispositifs, tous destinés aux activités de recherche minière.

La SAKIMA s'engage à ne pas accorder de droit de prospection ni tout autre droit dans la zone du projet à un tiers pendant la durée du présent accord préliminaire.

La SAKIMA s'engage à sensibiliser, en accord avec les autorités locales, les mineurs artisanaux et les autres personnes pour les empêcher d'entrer sans autorisation dans la zone exclusive d'exploitation sans être pour autant obligée d'utiliser la force pour le faire.

J-C L

#### Article 6 : TYPES DE PARTENARIAT

Au terme du présent accord préliminaire, les Parties conviennent que KIBARA MINERALS notifiera à SAKIMA les résultats de l'évaluation préliminaire qui pourraient mener à la création d'un contrat de partenariat n'énervant pas le Code et Règlement miniers ou toute autre loi de la RDC.

Pour cette option, les Parties conviennent des modalités suivantes :

- Notification par lettre de l'offre prise par la société KIBARA MINERALS, à SAKIMA ;
- Identification détaillée des sites finaux à exploiter ;
- Signature des contrats ad hoc ;
- Mise à jour des estimations des réserves préliminaires en fonction des études réalisées; et






- Élaboration d'un Business plan (Plan d'affaires) proposé pour le développement des dépôts, la production et la commercialisation des ressources le cas échéant.

## **Article 7 : FINANCEMENT DU PROJET**

Les Parties conviennent que KIBARA MINERALS, prendra à sa charge exclusive tous les frais inhérents aux activités et travaux liés à chaque étape du projet, tel que celui-ci sera élaboré suivant l'article 6 ci-dessus.

Pour la phase du présent accord préliminaire, KIBARA MINERALS, prend en charge, notamment :

- Les frais de confidentialité de 50.000 USD (cinquante mille dollars américains) payables à la signature du présent accord préliminaire à titre de bonus de signature. Cette somme donne le droit exclusif à KIBARA de pouvoir conduire ses travaux de recherches et de prospection et ce sur les deux permis No. 71 et No. 75 durant la période d'exclusivité tel que définie à l'article 5 ci-dessus ;
- Les frais de descente sur terrain pour la reconnaissance des sites ;
- Les coûts de mise à jour des réserves sur la base des informations fournies par SAKIMA et des données dérivées d'une étude préliminaire pour vérifier les données disponibles ;
- Le processus de lever des fonds nécessaires au développement du projet.

J-C L

La SAKIMA désignera une équipe compétente pour travailler avec KIBARA MINERALS en vertu de la supervision conjointe. Cette équipe devra avoir fait l'objet d'un accord au préalable par le représentant légal de KIBARA.

## **Article 8 : GARANTIES DE SAKIMA**

SAKIMA atteste et garantit :

- Qu'elle est la seule et unique titulaire des droits miniers couvrant les sites miniers (portant numéro de permis No. 71 et 75) à retenir dans le projet défini par le présent Accord préliminaire ;
- Qu'elle a pleine capacité pour conclure le présent accord préliminaire, et qu'en cas de besoin, elle fera en sorte que KIBARA MINERALS, obtienne les autorisations et visas nécessaires pour les activités liées au projet, pendant toute la période de validité du présent accord préliminaire. Il est par ailleurs convenu tacitement qu'en cas de délai pour l'obtention de toute autorisation ou visa nécessaire permettant la conduite des activités de KIBARA sur les sites miniers, SAKIMA s'engage à reconduire sans frais supplémentaire la période d'exclusivité définie à l'article 5 ci-dessus d'une période équivalente aux délais occasionnés.





- Qu'elle remettra à KIBARA MINERALS toutes les études relatives aux titres miniers autorisés;
- Qu'il n'y a pas d'obligation contractuelle ou autre vis-à-vis de tiers qui pourrait empêcher SAKIMA de s'acquitter de toutes ses obligations et engagements en vertu de cet accord, ou tout autre obstacle qui pourrait empêcher KIBARA MINERALS, en tant que bénéficiaire prioritaire de la production résultant des activités minières menées sur les sites susmentionnés dans le cadre de cet accord.

## Article 9 : GARANTIES DE KIBARA MINERALS

La société KIBARA MINERALS garantit que :

- Elle est une société privée valablement constituée et organisée selon les lois en vigueur en RDC ;
- Elle est organisée et existe valablement conformément aux lois susvisées ;
- Ses représentants ont le plein pouvoir et la capacité nécessaires pour conclure le présent accord préliminaire ainsi que toutes conventions ou actes visés ou envisagés aux termes du présent Protocole, de même que pour exécuter toutes les obligations quelconques lui incombant aux termes du présent accord préliminaire ;
- Elle a obtenu toutes les autorisations légales ou réglementaires nécessaires pour signer et exécuter le présent Accord préliminaire et toutes conventions ou actes quelconques visés ou envisagés aux termes du présent Protocole et que cette signature et cette exécution :
  - Ne contredit ni ne viole aucune disposition de ses statuts, aucune décision d'associés ou de gérants, ni aucun accord, stipulation, accord ou engagement quelconque auquel elle est partie prenante ou par lequel elle est liée et ne donne naissance à aucune charge en vertu de mêmes actes, et
  - Ne viole aucune loi applicable en RDC ;
- Elle a la capacité technique et financière nécessaires pour l'exécution du projet convenu avec SAKIMA;
- En cas de signature d'un contrat ad hoc, elle accepte de payer les frais pour le renouvellement des titres miniers au Cadastre minier (CAMI) et les droits dus à l'Etat pour chaque périmètre mis à sa disposition avant le 31 mars de chaque année. Les Notes de frais lui seront envoyées à cet effet à partir de janvier 2021.

J-C L



## Article 10 : CONFIDENTIALITÉ

Les Parties reconnaissent et déclarent que le présent accord préliminaire revêt un caractère confidentiel.

A cet effet, les Parties s'engagent à traiter et à garder de manière confidentielle toutes les informations fournies ou reçues pendant et après l'exécution du présent accord préliminaire. Ces informations ne peuvent être traitées que par des personnes habilitées à cet effet dans le cadre de leurs attributions et tenues à garder le secret professionnel.

Tous documents, informations et renseignements fournis par une Partie à l'autre Partie ou obtenus par les Parties en exécution du présent accord préliminaire seront considérés comme confidentiels et ne pourront faire l'objet d'aucune communication, divulgation, ou consultation à et/ou par des tiers, sans l'accord écrit préalable de l'une ou l'autre Partie selon le cas.

## Article 11 : RÉSILIATION DE L'ACCORD PRÉLIMINAIRE

La résiliation du présent accord préliminaire peut intervenir pour les principaux motifs ci-après :

- Violation flagrante par l'une des Parties des obligations nées du présent accord préliminaire ;
- [Note : Aucune somme de cette nature n'est due pendant la période d'étude préliminaire. Ces sommes incomberont à KIBARA une fois le contrat de co-entreprise dûment signé.] J-C-L
- Violation par KIBARA MINERALS, des lois et règlements pouvant entraîner des conséquences préjudiciables à SAKIMA;
- Non-paiement de frais de confidentialité tel que stipulé à l'article 7 alinéa 2 ;
- Non-commencement des travaux, notamment le début de l'actualisation des réserves dans les Permis susvisés dans les deux (2) mois à compter de la date de la signature du présent accord préliminaire ;

Cette résiliation ne pourra cependant intervenir qu'après une mise en demeure de soixante (60) jours adressée par la Partie qui prend l'initiative à l'autre partie et restée sans suite, sauf en cas de force majeure.

## Article 12 : MODIFICATIONS DE L'ACCORD PRÉLIMINAIRE

Le présent accord préliminaire ne pourra faire l'objet de modification ou de révision que par un avenant écrit et signé par les Parties aux présentes.

Les Parties conviennent que sur demande motivée de KIBARA MINERALS, les Permis susvisés peuvent être également, par voie d'avenant au présent accord





préliminaire, modifiés ou étendus à tout autre périmètre dont SAKIMA aura la libre disposition ou être réduit en fonction de carrés auxquels KIBARA MINERALS aurait renoncés formellement par écrit.

Les avenants négociés et dûment signés par les parties feront partie intégrante du présent accord préliminaire.

### **Article 13 : FORCE MAJEURE**

L'inexécution par l'une des Parties de l'une de ses obligations prévues par le présent accord préliminaire sera excusée, dans la mesure où cette inexécution est due à un cas de force majeure. Si l'exécution d'une obligation affectée par le cas de force majeure est retardée, le délai prévu pour l'exécution de celle-ci, nonobstant toute disposition contraire au présent accord préliminaire, sera de plein droit prorogé d'une durée égale au retard entraîné par la survenance du cas de force majeure.

Toutes les obligations d'une Partie affectée par cette déclaration de force majeure et toutes les obligations d'une Partie se déclarant affectée par une force majeure seront suspendues tant que l'avènement de force majeure dure et pendant une période raisonnable après sa cessation, à condition que l'insolvabilité financière d'une Partie ne la dispense ni ne l'exonère de remplir son obligation de payer l'argent lorsqu'il est exigible.

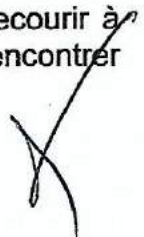
La Partie directement affectée par cette force majeure la notifiera aussitôt que possible à l'autre Partie et communiquera une estimation de la durée de cette situation de force majeure, ainsi que toute autre information utile et circonstanciée.

Le terme « force majeure » tel qu'utilisé dans le présent accord préliminaire, inclut tout fait ou événement soudain, insurmontable et imprévisible, et toute cause de quelque espèce ou de nature qu'elle soit, qui se trouve au-delà de la maîtrise ou du contrôle raisonnable d'une partie, y compris, sans limitation, les lois, ordonnances et réglementations gouvernementales, restrictions, interdictions ou certaines décisions de justice qui empêchent le fonctionnement.

Les Parties ne peuvent invoquer en leur faveur, comme constituant un cas de force majeure, un acte ou agissement ou une quelconque omission d'agir résultant de leur fait.

### **Article 14 : DROIT APPLICABLE ET RÈGLEMENT DES DIFFERENDS**

- a) La validité, l'interprétation et l'exécution du présent accord préliminaire sont régis par les lois en vigueur en République Démocratique du Congo.
- b) En cas de litige né de l'exécution ou de l'interprétation du présent accord préliminaire, en relation avec celui-ci, ou ayant trait à la violation d'une ou des plusieurs stipulations de celui-ci, les Parties s'engagent, avant de recourir à toute procédure judiciaire ou arbitrale, et sauf urgence avérée, à se rencontrer pour trouver un règlement à l'amiable.





- c) À cet effet, la Partie qui estime avoir subi un préjudice doit adresser une invitation à l'autre Partie pour une réunion ad hoc dans les quinze (15) jours à dater de la réception de ladite invitation avec accusé de réception.
- d) Au cas où cette réunion n'a pas lieu dans le délai prévu, ou si le litige ne fait pas l'objet d'un règlement écrit par toutes les PARTIES dans les quinze (15) jours depuis la réunion visée au point 11.c. ci-dessus, les Parties conviennent de s'en remettre à un médiateur accepté de commun accord.
- e) Les Parties conviennent de ne pas s'attaquer au médiateur et que celui-ci ne peut faire l'objet d'aucune sanction ni pénalité tant pour les Parties que pour les tiers directement ou indirectement tenus à l'exécution du présent accord préliminaire.
- f) Pour régler le litige, le médiateur dispose de cinq jours (5), à compter de la date de la communication du différend par l'une des Parties, pour convoquer les deux Parties à une réunion au cours de laquelle il présentera ses propositions de solution au litige lui soumis. Ces propositions seront confirmées par lettre adressée à chacune des Parties avec accusé de réception.
- g) Dans le cas où l'une des Parties n'est pas satisfaite par la solution proposée par le médiateur, elle doit, dans un délai de trois (3) jours, le notifier au médiateur et à l'autre Partie par écrit avec accusé de réception. J-C L
- h) Après la notification décrite au point 11.g. ci-dessus, la Partie qui n'est pas d'accord avec la proposition du médiateur peut saisir une instance arbitrale ou ester en justice contre l'autre Partie si cette dernière ne lui offre aucune autre alternative acceptée par elle.
- i) Les Parties conviennent, en cas d'arbitrage, de régler leurs différends selon les normes OHADA.
- j) La langue de négociation, de médiation et d'arbitrage sera le français. La conclusion devra être rédigée en français. Les documents et mémoires échangés entre les Parties seront rédigés en français. Les pièces seront communiquées dans leur langue d'origine avec une traduction en français, si elles ne sont pas rédigées en français.

#### Article 15 : LANGUE DE TRAVAIL

Les Parties conviennent que le français est la langue officielle du présent Accord préliminaire. Toute la documentation y relative sera rédigée en langue française.





## Article 16 : PUBLICITÉ

Toute décision relative à une quelconque publicité sur l'objet du présent accord préliminaire (média, communiqué de presse, spot télévisé, site Internet ...) devra être prise de commun accord écrit par les Parties.

## Article 17 : AMENDEMENT

Cet accord préliminaire ne doit être amendé que par voie d'avenant signé par les deux Parties.

Tout amendement ou modification au présent accord préliminaire non signé par les Parties est nul et non avenu.

## Article 18 : CLAUSE D'ÉQUITÉ

Au cas où des événements non prévus par les Parties modifient fondamentalement l'équilibre du présent contrat, entraînant ainsi une charge excessive pour l'une des Parties dans l'exécution de ses obligations contractuelles, cette Partie aura le droit de formuler une demande en vue de la révision éventuelle d'une clause pertinente du présent accord préliminaire.

Une telle demande devra indiquer les motifs de la révision et devra être adressée dans un délai raisonnable à compter du moment où la Partie concernée aura eu connaissance de l'événement concerné et de ses incidences sur l'économie de l'accord préliminaire.

A défaut d'une telle communication, la Partie concernée perdra toute possibilité de formuler ladite demande en référence à la présente clause d'équité.

J-C L

## Article 19 : NOTIFICATIONS


Toutes notifications ou communications relatives au présent accord préliminaire doivent être faites par lettre recommandée avec accusé de réception aux adresses ci-après :

### Pour SAKIMA :

A l'intention de Monsieur le Directeur Général de la SAKIMA SA  
316, Avenue Lt Colonel Lukusa, Kinshasa/Gombe  
République Démocratique du Congo.  
E-mail : [sakimardc@yahoo.fr](mailto:sakimardc@yahoo.fr) avec copie à [sakimardc@sakima.cd](mailto:sakimardc@sakima.cd)

### Pour KIBARA MINERALS

A l'intention de Monsieur Jean Claude LUSINDE, Directeur Gérant, 47, Avenue Roi Beaudoin, Commune de Gombe, Kinshasa, République Démocratique du Congo.  
Courriel : [jclus@hotmail.com](mailto:jclus@hotmail.com)



**Article 20 : ENTRÉE EN VIGUEUR**

Le présent accord préliminaire entre en vigueur à la date de sa signature.

En foi de quoi, les Parties ont signé le présent accord préliminaire à Kinshasa, le **11 DEC 2020**, en (4) exemplaires originaux.

Pour KIBARA MINERALS

Jean Claude LUSINDE



Pour SAKIMA SA

Lazare KANSILEMBO NGUMBI

**DIRECTEUR FINANCIER**

Fidèle BASEMENANE KASONGO



**ANNEXE 5**

**RAPPORT : CRITICAL REVIEW OF THE NAL PLANT RESTARTING OPTIONS, DECEMBER 2020**

**Note technique Laboratoire Coalia : Observations réalisées par microscopie électronique à balayage (MEB), Mars 2021**





**Central America Nickel Inc.**

**Critical Review of The NAL PLANT Restarting Options**

Prepared by: Ahmed Bouajila, VP R&D and technology transfer

Draft version: 01

Issue Date: December 22, 2020



## Table of Contents

|       |  |    |
|-------|--|----|
| 1     | Executive Summary                              | 1  |
| 2     | About the report author                        | 4  |
| 3     | About the existing plant                       | 4  |
| 4     | Explored options                               | 6  |
| 5     | Retained base case                             | 8  |
| 5.1   | Spodumene production                           | 8  |
| 5.2   | Tantalum oxide by-production                   | 9  |
| 5.3   | Nickel sulphate and Cobalt sulphate production | 10 |
| 5.4   | REE Refining                                   | 11 |
| 5.4.1 | Mining aspects                                 | 13 |
| 5.4.2 | Environmental aspects                          | 14 |
| 5.4.3 | CAPEX/OPEX Estimation                          | 14 |
| 5.4.4 | Rare earth Market assumptions                  | 16 |
| 5.4.5 | General market outcomes                        | 16 |
| 5.4.6 | Prices for Rare Earths                         | 24 |
| 6     | Overall production schedule                    | 25 |
| 7     | Project Execution Plan                         | 26 |
| 8     | Risk Register                                  | 28 |
| 9     | CONCLUSIONS                                    | 29 |

## Appendices

Appendix A – RE Benchmarking Case



## 1 Executive Summary

This document was prepared for Central America Nickel Inc. ('CAN') by Ahmed Bouajila, CAN's Board member and VP R&D and Technology Transfer, who is leading the technical part of the North American Lithium ('NAL') acquisition project. The main objectives of this document are to:

- Help the CAN Board and management team better understand the technical reasoning path behind the foreseen business plan
- Help understand the motivation of the selected restarting scenario
- Guide any third party due diligent review

Up to seven (7) options have been suggested/explored/studied at different deepness levels. The bidding proposal was tuned in an evolving process, and in adequation with outcomes from the meetings with NAL maintenance care team, potential investors, Contemporary Amperex Technology (CATL), Investissement Quebec (IQ), the Quebec Government and the potential feedstock suppliers and target product off-takers.

The **selected** option of the NAL restarting plan intends to refurbish, convert, expand and rump up the existing plant to produce:

- 180 000 t/y of saleable spodumene (+5,8% Li<sub>2</sub>O) concentrate
- 248 t/y of saleable (+25% Ta<sub>2</sub>O<sub>5</sub>) Tantalum concentrate, an equivalent of 62 t/y Ta<sub>2</sub>O<sub>5</sub>
- 100 000 t/y of battery grade (+22% Ni) Nickel sulphate
- 2 922 t/y of battery grade (+20,9%) Cobalt sulphate
- 2 7761 t/y of Mix REO, and then refining those Mix in a second phase into + 3N separate REO distributed as per Table 1





| Target production |              |
|-------------------|--------------|
| +3N REO equ.      | t/y          |
| CeO2              | 14823        |
| Nd2O3             | 5770         |
| La2O3             | 4410         |
| Pr6O11            | 1210         |
| Sm2O3             | 934          |
| Gd2O3             | 342          |
| Y2O3              | 230          |
| Dy2O3             | 42           |
| <b>Total</b>      | <b>27761</b> |

Table 1: REO Target production

The above scheduled production capacity will be supported by the acquisition of a fully permitted lithium refinery with fully operational and care maintained processing and hydrometallurgical plant sections. The operational expanded asset will be sourced as following:

- Lithium ore from a developed and operational lithium mine as part of the NAL asset and relying on the following remaining resources, insuring over 20 years LOM

The Mineral Resource as of April 1<sup>st</sup>, 2019 is as follows:

- Measured Resources – 2.094 Mt at 1.25 % Li<sub>2</sub>O
- Indicated Resources – 17.205 Mt at 1.40 % Li<sub>2</sub>O
- Inferred Resources – 5.312 Mt at 1.42 % Li<sub>2</sub>O

- Potential tantalum resources present in the lithium pegmatite ore, being detected at the level of 150 ppm in the ROM and 1000 ppm in the magnetic separation tailing of the flotation feed with the following figures:

# CA-CAN-NAL-2020-020- Critical Review-NAL Restarting Plan



| Samples     | Gd   | Nd   | Tb  | Y    | Sc | Ga   | Be  | Cs   | Rb   | Sr  | Ge  | Hf   | Li    | Nb    | Ta   | K<br>% |
|-------------|------|------|-----|------|----|------|-----|------|------|-----|-----|------|-------|-------|------|--------|
|             | ppm  |      |     |      |    |      |     |      |      |     |     |      |       |       |      |        |
| AL-X11      | 7,8  | 21   | 1,1 | 28,9 | 9  | 94,7 | 219 | 112  | 1400 | 261 | 5,5 | 20   | 8940  | 120,9 | 110  | 1,8    |
| AL-X05      | 1,9  | 8    | 0,2 | 5,4  | 4  | 50,7 | 107 | 84,9 | 1410 | 326 | 3,8 | < 10 | 2670  | 34,8  | 29,6 | 2,2    |
| AL-X22      | 3,7  | 5,6  | 0,6 | 11,1 | 5  | 57,3 | 193 | 86,8 | 1870 | 107 | 4,7 | < 10 | 2660  | 406,8 | 386  | 2,3    |
| AL-X23      | 2,5  | 5,6  | 0,3 | 6,8  | 4  | 62   | 180 | 99,6 | 1930 | 154 | 4,4 | < 10 | 2750  | 82,1  | 78,2 | 2,4    |
| Average     | 3    | 6    | 0   | 8    | 4  | 57   | 160 | 90   | 1737 | 196 | 4   | 0    | 2693  | 175   | 165  | 2      |
| M-Sep-Conc. | 29,8 | 57   | 4,6 | 91,6 | 23 | 83,5 | 147 | 112  | 1240 | 467 | 8   | 10   | 8250  | 1394  | 1000 | 1,6    |
| FL-Conc.    | 6,9  | 17,4 | 1,1 | 19,9 | 17 | 155  | 307 | 68   | 425  | 165 | 5,7 | 20   | 26945 | 162,4 | 192  | 0,7    |

Table 2: typical Critical elements content of Flotation Conc. and tailings at NAL lithium plant

- Two potential feedstocks of Nickel Mixed Hydroxide Product (MHP) with the following descriptions were identified and tested

# CA-CAN-NAL-2020-020- Critical Review-NAL Restarting Plan



## a) Green Ni MHP with low cobalt content

| Number | Specification | Batch number | Ni%   | Co%      | Zn%      | Ca%    | Mg%    | Fe%    | Mn%           | Cd%    | Cu%    | Pb%           | Cr%    | Na%    | Si% | Al% | NO <sub>3</sub> <sup>-</sup> % | SO <sub>4</sub> <sup>2-</sup> % | Cl <sup>-</sup> % | H <sub>2</sub> O % |
|--------|---------------|--------------|-------|----------|----------|--------|--------|--------|---------------|--------|--------|---------------|--------|--------|-----|-----|--------------------------------|---------------------------------|-------------------|--------------------|
|        |               |              | /     | 0.7±0.05 | 3.0±0.05 | /      | /      | /      | 0.0005-0.0010 | 0.0002 | 0.0002 | 0.0005-0.0007 | 0.0001 | /      | /   | /   | 0.004                          | /                               | 0.004             | /                  |
| 1      | YRMK31        | 2007801      | 58.34 | 0.74     | 3.01     | 0.0027 | 0.0044 | 0.0006 | 0.0006        | 0.0001 | 0.0003 | 0.0007        | 0.0001 | 0.0018 | /   | /   | 0.004                          | 0.16                            | 0.004             | 0.48               |
| 2      | YRMK31        | 2007802      | 58.39 | 0.72     | 2.98     | 0.0023 | 0.0053 | 0.0004 | 0.0005        | 0.0002 | 0.0002 | 0.0006        | 0.0001 | 0.0022 | /   | /   | 0.004                          | 0.15                            | 0.004             | 0.81               |
| 3      | YRMK31        | 2007803      | 58.40 | 0.71     | 2.98     | 0.0076 | 0.0049 | 0.0004 | 0.0005        | 0.0002 | 0.0003 | 0.0005        | 0.0001 | 0.0015 | /   | /   | 0.004                          | 0.16                            | 0.004             | 0.38               |
| 4      | YRMK31        | 2007804      | 58.60 | 0.71     | 2.99     | 0.0033 | 0.0050 | 0.0004 | 0.0006        | 0.0002 | 0.0002 | 0.0007        | 0.0001 | 0.0016 | /   | /   | 0.004                          | 0.15                            | 0.004             | 0.52               |

## b) Dark Ni MHP with higher cobalt content

| Number | Specification | Batch number | Ni%   | Co%     | Zn%     | Ca%    | Mg%    | Fe%    | Mn%    | Cd%    | Cu%    | Pb%    | Cr%    | Na%    | Si%   | Al%     | NO <sub>3</sub> <sup>-</sup> % | SO <sub>4</sub> <sup>2-</sup> % | Cl <sup>-</sup> % | H <sub>2</sub> O% |
|--------|---------------|--------------|-------|---------|---------|--------|--------|--------|--------|--------|--------|--------|--------|--------|-------|---------|--------------------------------|---------------------------------|-------------------|-------------------|
| 1      | YRFK31        | 2007801      | 54.73 | 4.82    | 2.85    | 0.0023 | 0.0028 | 0.0013 | 0.0005 | 0.0002 | 0.0002 | 0.0007 | 0.0001 | 0.35   | /     | /       | 0.004                          | 0.10                            | 0.004             | 0.74              |
| 2      | YRFK31        | 2007802      | 54.80 | 4.88    | 2.81    | 0.0020 | 0.0027 | 0.0030 | 0.0006 | 0.0002 | 0.0002 | 0.0006 | 0.0001 | 0.37   | /     | /       | 0.004                          | 0.11                            | 0.004             | 0.72              |
| Number | Specification | Batch number | Ni%   | Co%     | Zn%     | Ca%    | Mg%    | Fe%    | Mn%    | Cd%    | Cu%    | Pb%    | Cr%    | Na%    | Si%   | Al%     | NO <sub>3</sub> <sup>-</sup> % | SO <sub>4</sub> <sup>2-</sup> % | Cl <sup>-</sup> % | H <sub>2</sub> O  |
|        |               |              | ≥54.5 | 3.0±0.3 | 4.0±0.3 | ≤0.03  | ≤0.03  | ≤0.01  | ≤0.01  | ≤0.005 | ≤0.005 | ≤0.01  | ≤0.005 | /      | /     | /       | ≤0.02                          | ≤0.3                            | ≤0.01             | ≤1.               |
|        |               |              |       | 2.9-3.0 | 3.9-4.0 |        |        |        |        |        |        |        |        |        |       |         |                                |                                 |                   | 0.5-1             |
| 1      | YRM4S         | 2003103      | 55.32 | 2.99    | 3.93    | 0.0093 | 0.0073 | 0.0011 | 0.0007 | 0.0002 | 0.0002 | 0.0006 | 0.0001 | 0.0021 | /     | /       | 0.004                          | 0.28                            | 0.004             | 0.38              |
| 2      | YRM4S         | 2003104      | 55.37 | 2.96    | 3.96    | 0.0096 | 0.0075 | 0.0010 | 0.0008 | 0.0002 | 0.0002 | 0.0007 | 0.0001 | 0.0022 | 0.012 | <0.0001 | 0.004                          | 0.27                            | 0.004             | 0.28              |
| 3      | YRM4S         | 2003105      | 55.30 | 2.99    | 3.95    | 0.0095 | 0.0074 | 0.0010 | 0.0006 | 0.0002 | 0.0002 | 0.0006 | 0.0001 | 0.0039 | /     | /       | 0.004                          | 0.29                            | 0.004             | 0.32              |
| 4      | YRM4S         | 2003106      | 55.47 | 2.93    | 3.96    | 0.010  | 0.0074 | 0.0010 | 0.0006 | 0.0002 | 0.0002 | 0.0005 | 0.0001 | 0.0035 | /     | /       | 0.004                          | 0.29                            | 0.004             | 0.29              |

Table 2: Typical contents of tested a) green Ni MHP and b) Dark Ni MHP



# CA-CAN-NAL-2020-020- Critical Review-NAL Restarting Plan



- c) The base case was based on the simultaneous processing of 80% of the green MHP and 20% of the dark MHP
- d) An identified Rare Earth ore referred to as a dark monazite with low content of Naturally Occurring Radiative Materials (**NORM**) and exportable (trading) according to the mineral radioactivity international rules. This feedstock asset being in advanced acquiring position by CAN, will be supplied to NAL site at the level of 55 188 t/y with the following figures of monetized rare earth.

| Formula | Conc    |  |  |  |  |  |  |
|---------|---------|--|--|--|--|--|--|
| CeO2    | 31,61%  |  |  |  |  |  |  |
| P2O5    | 18,01%  |  |  |  |  |  |  |
| Nd2O3   | 12,34%  |  |  |  |  |  |  |
| SiO2    | 10,60%  |  |  |  |  |  |  |
| La2O3   | 9,41%   |  |  |  |  |  |  |
| SnO2    | 3,55%   |  |  |  |  |  |  |
| Al2O3   | 2,90%   |  |  |  |  |  |  |
| Pr6O11  | 2,58%   |  |  |  |  |  |  |
| Fe2O3   | 2,12%   |  |  |  |  |  |  |
| Sm2O3   | 1,99%   |  |  |  |  |  |  |
| TiO2    | 1,53%   |  |  |  |  |  |  |
| Gd2O3   | 0,73%   |  |  |  |  |  |  |
| ThO2    | 0,65%   |  |  |  |  |  |  |
| Y2O3    | 0,49%   |  |  |  |  |  |  |
| K2O     | 0,32%   |  |  |  |  |  |  |
| CaO     | 0,23%   |  |  |  |  |  |  |
| Nb2O5   | 0,18%   |  |  |  |  |  |  |
| SrO     | 0,15%   |  |  |  |  |  |  |
| ZrO2    | 0,15%   |  |  |  |  |  |  |
| SO3     | 0,11%   |  |  |  |  |  |  |
| Dy2O3   | 0,09%   |  |  |  |  |  |  |
| PbO     | 0,08%   |  |  |  |  |  |  |
| Cl      | 0,06%   |  |  |  |  |  |  |
| Ta2O5   | 0,06%   |  |  |  |  |  |  |
| UO2     | 0,04%   |  |  |  |  |  |  |
| NiO     | 0,02%   |  |  |  |  |  |  |
| Total   | 100,00% |  |  |  |  |  |  |

|        | Content | +3N Oxide Price | In-situ Ore value | % Contribution to the Value |        |
|--------|---------|-----------------|-------------------|-----------------------------|--------|
|        | %       | USD/kg          | USD/t             | % LREE                      | % HREE |
| CeO2   | 31,6    | 1,45 \$         | 458,20 \$         | 4%                          |        |
| Nd2O3  | 12,3    | 78,39 \$        | 9 641,97 \$       | 79%                         |        |
| La2O3  | 9,4     | 1,45 \$         | 136,30 \$         | 1%                          |        |
| Pr6O11 | 2,58    | 57,08 \$        | 1 472,66 \$       | 12%                         |        |
| Sm2O3  | 1,99    | 1,75 \$         | 34,83 \$          | 0%                          |        |
| Gd2O3  | 0,73    | 28,54 \$        | 208,34 \$         | 2%                          |        |
| Y2O3   | 0,49    | 2,48 \$         | 12,15 \$          | 0%                          |        |
| Dy2O3  | 0,09    | 295,28 \$       | 265,75 \$         | 2%                          |        |
|        |         |                 | 12 230,21 \$      | 100%                        |        |

Table 3: typical values of a DRC-Monazite RE Ore sample

An additional CAPEX of C\$ 109 million will have to be committed during the first year to secure Li-Ta-Ni-Co saleable compounds production within the first 18 months, generating the following financial figures:

# CA-CAN-NAL-2020-020- Critical Review-NAL Restarting Plan



| North American Lithium   |                          |             |               |               |               |               |               |               |               |               |                 |
|--|--------------------------|-------------|---------------|---------------|---------------|---------------|---------------|---------------|---------------|---------------|-----------------|
| Enterprise Valuation   |                          |             |               |               |               |               |               |               |               |               |                 |
| After Phase 1 - Investment for Li, Ta, Ni, Co production   |                          |             |               |               |               |               |               |               |               |               |                 |
| Assumptions  |                          |             |               |               |               |               |               |               |               |               |                 |
| Depreciation (years), with half-year in Year   |                          | 10          |               |               |               |               |               |               |               |               |                 |
| Tax rate (combined)  |                          | 26,50%      |               |               |               |               |               |               |               |               |                 |
| Discount rate  |                          | 15%         |               |               |               |               |               |               |               |               |                 |
| Terminal multiple  |                          | 0           |               |               |               |               |               |               |               |               |                 |
|  |                          | Year        |               |               |               |               |               |               |               |               |                 |
|  | Investment               | 2021        | 2022          | 2023          | 2024          | 2025          | 2026          | 2027          | 2028          | 2029          | Total           |
| EBITDA   |                          | \$8 951 957 | \$121 481 882 | \$163 351 822 | \$163 351 822 | \$163 351 822 | \$168 351 822 | \$168 351 822 | \$168 351 822 | \$168 351 822 | \$1 293 896 591 |
| Depreciation   |                          | \$5 475 000 | \$10 950 000  | \$10 950 000  | \$10 950 000  | \$10 950 000  | \$10 950 000  | \$10 950 000  | \$10 950 000  | \$10 950 000  | \$93 075 000    |
| EBIT   |                          | \$3 476 957 | \$110 531 882 | \$152 401 822 | \$152 401 822 | \$152 401 822 | \$157 401 822 | \$157 401 822 | \$157 401 822 | \$157 401 822 | \$1 200 821 591 |
| Taxes  |                          | \$921 394   | \$29 290 949  | \$40 386 483  | \$40 386 483  | \$40 386 483  | \$41 711 483  | \$41 711 483  | \$41 711 483  | \$41 711 483  | \$318 217 722   |
| Profit after tax   |                          | \$2 555 563 | \$81 240 933  | \$112 015 339 | \$112 015 339 | \$112 015 339 | \$115 690 339 | \$115 690 339 | \$115 690 339 | \$115 690 339 | \$882 603 869   |
| <b>Free Cash Flow</b>  |                          |             |               |               |               |               |               |               |               |               |                 |
| Profit after tax   |                          | \$2 555 563 | \$81 240 933  | \$112 015 339 | \$112 015 339 | \$112 015 339 | \$115 690 339 | \$115 690 339 | \$115 690 339 | \$115 690 339 | \$882 603 869   |
| (+) Depreciation   |                          | \$5 475 000 | \$10 950 000  | \$10 950 000  | \$10 950 000  | \$10 950 000  | \$10 950 000  | \$10 950 000  | \$10 950 000  | \$10 950 000  | \$93 075 000    |
| (-) Maintenance capex  |                          | \$0         | \$1 000 000   | \$1 000 000   | \$1 000 000   | \$1 000 000   | \$2 000 000   | \$3 000 000   | \$4 000 000   | \$5 000 000   | \$18 000 000    |
| Free Cash Flow   |                          | \$8 030 563 | \$91 190 933  | \$121 965 339 | \$121 965 339 | \$121 965 339 | \$124 640 339 | \$123 640 339 | \$122 640 339 | \$121 640 339 | \$957 678 869   |
| with Terminal Multiple   |                          |             |               |               |               |               |               |               |               | \$0           | \$0             |
| FCF with TM  |                          | \$8 030 563 | \$91 190 933  | \$121 965 339 | \$121 965 339 | \$121 965 339 | \$124 640 339 | \$123 640 339 | \$122 640 339 | \$121 640 339 | \$957 678 869   |
| Discounted FCF   |                          | \$6 983 098 | \$68 953 446  | \$80 194 190  | \$69 734 078  | \$60 638 329  | \$53 885 458  | \$46 480 983  | \$40 091 344  | \$34 577 776  | \$461 538 704   |
| CapEx  | \$109 500 000            |             |               |               |               |               |               |               |               |               |                 |
| Initial Capital - NAL  | \$163 000 000            |             |               |               |               |               |               |               |               |               |                 |
| Total Investment   | \$272 500 000            |             |               |               |               |               |               |               |               |               |                 |
| Net Present Value  | \$189 038 704            |             |               |               |               |               |               |               |               |               |                 |
| Internal Rate of Return  | -272 500 000             | \$8 030 563 | \$91 190 933  | \$121 965 339 | \$121 965 339 | \$121 965 339 | \$124 640 339 | \$123 640 339 | \$122 640 339 | \$121 640 339 |                 |
|  | 29%                      |             |               |               |               |               |               |               |               |               |                 |
| <b>Sensitivity Analysis</b>  |                          |             |               |               |               |               |               |               |               |               |                 |
|  | <b>Net Present Value</b> |             |               |               |               |               |               |               |               |               |                 |
|  | (\$ millions)            |             | Discount Rate |               |               |               |               |               |               |               |                 |
|  |                          |             | 5%            | 10%           | 15%           |               |               |               |               |               |                 |
| Terminal Multiple  | 0x                       | \$461       | \$303         | \$189         |               |               |               |               |               |               |                 |
|  | 5x                       | \$853       | \$561         | \$362         |               |               |               |               |               |               |                 |
|  | 10x                      | \$1 246     | \$819         | \$535         |               |               |               |               |               |               |                 |
| <b>Notes</b>   |                          |             |               |               |               |               |               |               |               |               |                 |
| This analysis of the value of the plan is independent of financing structure. Therefore interest and interest tax shields are not incorporated.                                |                          |             |               |               |               |               |               |               |               |               |                 |
| Changes in net working capital do not impact the free cash flow analysis.  |                          |             |               |               |               |               |               |               |               |               |                 |
| The \$163,000,000 in initial capital includes \$100,000,000 to be paid to secured creditors and \$63,000,000 in unsecured debt, which will be converted into preferred shares. |                          |             |               |               |               |               |               |               |               |               |                 |

Table 4: Phase 1 of NAL restarting valuation

Another C\$ 160 million will have to be engaged to cope with the phase 2 Rare Earth refining, generating the following financial figures:

# CA-CAN-NAL-2020-020- Critical Review-NAL Restarting Plan



| North American Lithium  |                   |              |               |               |               |               |               |               |                 |                 |                 |
|---|-------------------|--------------|---------------|---------------|---------------|---------------|---------------|---------------|-----------------|-----------------|-----------------|
| Enterprise Valuation  |                   |              |               |               |               |               |               |               |                 |                 |                 |
| After Phase 2 - Rare Earth Element production   |                   |              |               |               |               |               |               |               |                 |                 |                 |
| Assumptions   |                   |              |               |               |               |               |               |               |                 |                 |                 |
| Depreciation (years), with half-year in Yea   |                   | 10           |               |               |               |               |               |               |                 |                 |                 |
| Tax rate (combined)   |                   | 26,50%       |               |               |               |               |               |               |                 |                 |                 |
| Discount rate   |                   | 10%          |               |               |               |               |               |               |                 |                 |                 |
| Terminal multiple   |                   | 5            |               |               |               |               |               |               |                 |                 |                 |
|   |                   | Year         |               |               |               |               |               |               |                 |                 |                 |
|   | Investment        | 2021         | 2022          | 2023          | 2024          | 2025          | 2026          | 2027          | 2028            | 2029            | Total           |
| EBITDA  |                   |              | \$343 379 279 | \$381 532 532 | \$656 038 713 | \$656 038 713 | \$656 038 713 | \$656 038 713 | \$656 038 713   | \$656 038 713   | \$4 005 105 376 |
| Depreciation  |                   |              | \$4 229 977   | \$12 195 213  | \$15 930 472  | \$15 930 472  | \$15 930 472  | \$15 930 472  | \$15 930 472    | \$15 930 472    | \$96 077 551    |
| EBIT  |                   |              | \$339 149 302 | \$369 337 319 | \$640 108 241 | \$640 108 241 | \$640 108 241 | \$640 108 241 | \$640 108 241   | \$640 108 241   | \$3 909 027 825 |
| Taxes   |                   |              | \$89 874 565  | \$97 874 390  | \$169 628 684 | \$169 628 684 | \$169 628 684 | \$169 628 684 | \$169 628 684   | \$169 628 684   | \$1 035 892 374 |
| Profit after tax  |                   |              | \$249 274 737 | \$271 462 929 | \$470 479 557 | \$470 479 557 | \$470 479 557 | \$470 479 557 | \$470 479 557   | \$470 479 557   | \$2 873 135 451 |
| Free Cash Flow  |                   |              |               |               |               |               |               |               |                 |                 |                 |
| Profit after tax  |                   |              | \$249 274 737 | \$271 462 929 | \$470 479 557 | \$470 479 557 | \$470 479 557 | \$470 479 557 | \$470 479 557   | \$470 479 557   | \$2 873 135 451 |
| (+) Depreciation  |                   |              | \$4 229 977   | \$12 195 213  | \$15 930 472  | \$15 930 472  | \$15 930 472  | \$15 930 472  | \$15 930 472    | \$15 930 472    | \$96 077 551    |
| (-) Maintenance capex   |                   |              | \$5 000 000   | \$4 000 000   | \$7 000 000   | \$6 000 000   | \$5 000 000   | \$3 000 000   | \$2 000 000     | \$2 000 000     | \$32 000 000    |
| Free Cash Flow  |                   |              | \$248 504 714 | \$279 658 142 | \$479 410 029 | \$480 410 029 | \$481 410 029 | \$483 410 029 | \$484 410 029   | \$484 410 029   | \$2 937 213 002 |
| with Terminal Multiple  |                   |              |               |               |               |               |               |               |                 | \$2 422 050 146 | \$2 422 050 146 |
| FCF with TM   |                   |              | \$248 504 714 | \$279 658 142 | \$479 410 029 | \$480 410 029 | \$481 410 029 | \$483 410 029 | \$484 410 029   | \$2 906 460 176 | \$5 359 263 149 |
| Discounted FCF  |                   |              | \$186 705 269 | \$191 010 274 | \$297 675 910 | \$271 178 937 | \$247 039 465 | \$225 514 346 | \$1 232 622 838 | \$2 651 747 040 |                 |
| CapEx   | \$5 500 000       | \$55 369 673 | \$23 729 860  | \$74 705 192  |               |               |               |               |                 |                 | \$159 304 724   |
| Total Capex   | \$159 304 724     |              |               |               |               |               |               |               |                 |                 |                 |
| Net Present Value   | \$2 651 747 040   |              |               |               |               |               |               |               |                 |                 |                 |
| Internal Rate of Return   |                   | 102%         | \$0           | \$248 504 714 | \$279 658 142 | \$479 410 029 | \$480 410 029 | \$481 410 029 | \$483 410 029   | \$2 906 460 176 |                 |
| Sensitivity Analysis  |                   |              |               |               |               |               |               |               |                 |                 |                 |
|   | Net Present Value |              |               |               |               |               |               |               |                 |                 |                 |
|   | (\$ millions)     |              |               |               |               |               |               |               |                 |                 |                 |
|   |                   |              | Discount Rate |               |               |               |               |               |                 |                 |                 |
|   |                   |              | 5%            | 10%           | 15%           |               |               |               |                 |                 |                 |
| Terminal Multiple   | 0x                | \$2 160      | \$1 625       | \$1 264       |               |               |               |               |                 |                 |                 |
|   | 5x                | \$3 722      | \$2 652       | \$1 935       |               |               |               |               |                 |                 |                 |
|   | 10x               | \$5 283      | \$3 679       | \$2 623       |               |               |               |               |                 |                 |                 |
| Notes   |                   |              |               |               |               |               |               |               |                 |                 |                 |
| This analysis of the value of the plan is independent of financing structure. Therefore interest and interest tax shields are not incorporated. |                   |              |               |               |               |               |               |               |                 |                 |                 |
| Changes in net working capital do not impact the free cash flow analysis.   |                   |              |               |               |               |               |               |               |                 |                 |                 |
| Valuation After Phase 2   |                   |              |               |               |               |               |               |               |                 |                 |                 |
| Book value  | \$159 304 724     |              |               |               |               |               |               |               |                 |                 |                 |
| Net Present Value   | \$2 651 747 040   |              |               |               |               |               |               |               |                 |                 |                 |
| Internal Rate of Return   | 102%              |              |               |               |               |               |               |               |                 |                 |                 |

Table 5: Phase 1 of NAL restarting valuation





## 2 About the report author

Ahmed Bouajila acting as a VP R&D and technology transfer for CAN, know very well the asset:

- Through his understanding of the flowsheet development, plant design and the lithium metallurgical challenges being 20 years with CRM/COREM a mineral testing and R&D facility involved in almost all mining activities undertaken in the Québec province from the fifteen's. CRM was the Québec Government technical reference for the mineral resource development. The later was historically involved in the development efforts for the lithium exploration and mining in Québec.
- More specifically, through the Du Diligent Review mandate given by IQ to G mining services inc. for an independent opinion to support a request for C\$ 50 million to complete the plant ramp up. Ahmed bouajila, Acting as VP metallurgy and ore processing was the leading expert of the mandate conducted from September to October 20214
- More specifically, through a quick mandate given by NAL to IGS to propose a processing solution to the spodumene flotation ramp up. Ahmed Bouajila was acting as Principal at IGS and the mandate was in January 2017
- Even more specifically through tight involvement with CAN from November 2019 up to date, as technical lead of the acquiring effort and through IGS technical involvement and testing of the target feedstocks

## 3 About the existing plant

NAL plant is a fully operational and permitted lithium processing plant:

- Originally designed to produce over 23 000 t/y battery grade lithium carbonate
- Commissioned in 2012-2013 with non-ramped up operation during 2014. Only 100 t of lithium carbonate was produced before the shutdown late 2014. The unsuccessful Li- carbonate ramp up was mainly due to the missing of Na sulphate crystalliser, a major equipment critical for the lithium carbonate circuit ramp up
- First bankruptcy in 2015 despite many attempts to rise the needed CAPEX mainly for lithium carbonate circuit completion
- In 2016, the asset was acquired by another group, and after while CATL becomes the major operator, succeeding to significantly refurbish the spodumene production infrastructure and thus significantly ramping up the concentrate production despite the front-end related downtime

# CA-CAN-NAL-2020-020- Critical Review-NAL Restarting Plan



- During the full year 2018 production 113 684 t @ 5.53% Li<sub>2</sub>O were produced and shipped to Chinese market as part of 2 off-take agreements
- The transportation and shipment logistic (trucking from the mine to Val d'or Rail station and them to Bécancour heavy industrial port) was well experienced and optimized

The above listed remarks and statements regarding the spodumene mining and production are detailed/summarised in the documents of BCG DR: 4.d. The NI43-101 2017 is the most recent, valuable, and independent report capturing in all it sections all the needed data/opinions and valuation of the existing plant and the readiness to produce what it is originally designed for.


|  |                 |       |                                    |   |                                 |  |  |  |
|---|-----------------|-------|------------------------------------|---|---------------------------------|--|--|--|
| 2017  |                 |       |                                    |   |                                 |  |  |  |
| Mois  | Tonnage Usinées | Tm/h  | Tonnage Concentré Flottation Final | %Li <sub>2</sub> O Concentré Final Flottation | %Fer Concentré Flottation Final | Récupération %Li <sub>2</sub> O Concentré Final Flottation | Distribution %Fer Concentré Flottation Final |  |
| juin  | 24481           | N.D.  | 295,1                              | 2,42  | N.D.                            | 2,86   | N.D.   |  |
| juillet   | 52989           | 116,2 | 1228,0                             | 3,86  | 2,26                            | 8,62   | N.D.   |  |
| août  | 52987           | 124,6 | 2693,8                             | 4,41  | 1,62                            | 20,05  | N.D.   |  |
| septembre   | 63284           | 117,9 | 5459,1                             | 4,98  | 1,78                            | 39,42  | N.D.   |  |
| octobre   | 58787           | 114,1 | 5373,6                             | 4,67  | 1,66                            | 41,35  | N.D.   |  |
| novembre  | 45800           | 114,3 | 5087,0                             | 4,82  | 1,23                            | 49,00  | 9  |  |
| décembre  | 63450           | 114,8 | 7224,0                             | 5,56  | 1,00                            | 53,00  | 12   |  |
| Total:  | 361778          |       | 27361                              | 4,9   |                                 |  |  |  |
| max   | 63450           |       |                                    |   |                                 |  |  |  |
| 2018  |                 |       |                                    |   |                                 |  |  |  |
| Mois  | Tonnage         | Tm/h  | Tonnage Concentré Flottation Final | %Li <sub>2</sub> O Concentré Final Flottation | %Fer Concentré Flottation Final | Récupération %Li <sub>2</sub> O Concentré Final Flottation | Distribution %Fer Concentré Flottation Final |  |
| janvier   | 39187           | 115   | 4518                               | 5,91  | 1,12                            | 55   | 16   |  |
| février   | 63797           | 128   | 9328                               | 5,36  | 1,14                            | 62   | 18   |  |
| mars  | 62574           | 133   | 8543                               | 5,45  | 1,23                            | 61   | 20   |  |
| avril   | 76801           | 148   | 8918                               | 5,56  | 1,13                            | 56   | 20   |  |
| mai   | 80377           | 156   | 9810                               | 5,43  | 1,57                            | 55   | 23   |  |
| juin  | 71699           | 149   | 9524                               | 5,56  | 1,16                            | 58   | 18   |  |
| juillet   | 76323           | 148   | 10367                              | 5,50  | 0,99                            | 63   | 13   |  |
| août  | 75017           | 148   | 10547                              | 5,55  | 0,91                            | 61   | 17   |  |
| septembre   | 84928           | 146   | 13259                              | 5,50  | 1,23                            | 63   | 26   |  |
| octobre   | 78849           | 146   | 10343                              | 5,57  | 1,38                            | 57   | 21   |  |
| novembre  | 69706           | 136   | 9757                               | 5,49  | 1,38                            | 60   | 28   |  |
| décembre  | 62982           | 136   | 8770                               | 5,71  | 1,36                            | 60   | 25   |  |
| Total:  | 842240          |       | 113684                             | 5,53  |                                 |  |  |  |
|   | 84928           |       |                                    |   |                                 |  |  |  |
| 2019  |                 |       |                                    |   |                                 |  |  |  |
| Mois  | Tonnage         | Tm/h  | Tonnage Concentré Flottation Final | %Li <sub>2</sub> O Concentré Final Flottation | %Fer Concentré Flottation Final | Récupération %Li <sub>2</sub> O Concentré Final Flottation | Distribution %Fer Concentré Flottation Final |  |
| janvier   | 57226           | 132   | 8790                               | 5,58  | 1,31                            | 65   | 24   |  |
| février   | 52717           | 130   | 9260                               | 5,96  | 1,62                            | 69   | 25   |  |
| mars  | 39062           | 123   | 6354                               | 5,91  | 1,17                            | 67   | 27   |  |
| avril   | 0               | 0     | 0                                  |   |                                 |  |  |  |
| Total:  | 149005          |       | 24404                              | 5,81  |                                 |  |  |  |
|   | 57226           |       |                                    |   |                                 |  |  |  |
| Best Month  | 84928           | 146   | 13259                              | 5,5   | 1,23                            | 63   | 26   |  |
| Extrapolation   | 1019136         |       | 159108                             |   |                                 |  |  |  |

Table 6: Spodumene concentrate production track record



## 4 Explored options

Seven (7) options have been addressed to address the economical value of the NAL plant restarting:

**O1: Spodumene only production**, Producing the spodumene only is not viable. That is well supported by the present status of the project- a bankruptcy

**O2: Lithium carbonate production**, an option that fits with the original mission the mine/plant were designed for. This option was well addressed in the NI43-101 2017 and was deeply studied by CATL referring to as phase 2 in its restarting plan. Partial CAPEX was committed to upgrade the lithium carbonate production section. Kiln replacement and crystalliser were never committed despite the advanced detailed engineering mainly on the crystalliser side with a contract awarded to Viola and then postponed later in 2018.

Since the last restarting in 2016, and up to the end of august 2017, the following CAPEX was committed, increasing the plant restarting readiness and capability. The following figures are extracted from the NI43-1010 2017 report and supporting the over 400 M\$ already spent on NAL asset:

- The capital investment for implementing the improvements and recommissioning the mine, crusher and spodumene concentrator (Phase 1) is \$75M. This work, started in July 2016, was substantially completed in July 2017.
- The capital investment for implementing the improvements and recommissioning the lithium carbonate plant to achieve production of 22,800 tpy (Phase 2) is \$144M. The implementation of Phase 2 began with the contracting of the engineering and fabrication of the evaporator/crystallizer in March 2017 and, subject to NAL obtaining sufficient project financing, will be completed in December 2018. Phase 2 is independent of Phase 1 and will only be carried out if NAL obtains sufficient project financing.
- As of July 28, 2017, \$99.2M has been committed by NAL to the overall Project, i.e. Phases 1 and 2, and \$75.7M has been incurred for the two phases of the Project; \$65.2M for Phase 1 and \$10.5M for Phase 2.

As per the NI43-101 and the effort made by HATCH and BBA, the option will require a remaining additional CAPEX of over C\$ 100 million to ensure successful ramp up to the original Li-carbonate name plate capacity.

It is the opinion of CAN team that this CAPEX effort will be very risky, keeping the project restarting less attractive considering the unsure lithium carbonate market recovery. Even more, compared to the retained CAN option, the project viability will suffer being dependent on the production of only one commodity and





that another bankruptcy will be more probable. Noted here that CATL and IQ struggled to rise such additional CAPEX based on this option valuation.

### **O3: Spodumene and lithium carbonate production**

This option is in the same valuation level as the option 2 and will only have the merit to lower the CAPEX by using the limited Kiln and acid bake capacity and redesigning the crystalliser accordingly. Only C\$ 20-30 million CAPEX will be need compared to the above C\$ 100 million for option 2. Only near 15 000 t/y lithium carbonate will be producible.

For the same reason, this option will be even more risky than option 2.

### **O4: Spodumene and lithium carbonate and by-product extraction from the processing tailings**

CAN investigated this option more deeply and presented this option to both CATL and IQ, who appreciated the CAN additional by-production opportunity, having the merit to extract valuable but with limited market of critical minerals such as Rb, Cs. This option was abundant in the mean while as it can not insure potential off-takes and still require the C\$ 100 million CAPEX for maintaining the lithium stream and additional C\$ 100-150 million to increase lithium recovery from the tailings and extract valuable compounds of critical metals.

### **O5: Spodumene and moderate lithium carbonate and cobalt sulfate production**

This option was the first option CAN looked at following discussions with an emerging EV battery producer based in the USA (XERION). Even though more attractive and less CAPEX requiring, this option was considered risky, the potential off-taker did not show solid commitment in adequation with the target production level used for the option valuation.

### **O6: Spodumene and tantalum oxide by-production with Nickel and Cobalt sulfate co-production**

This option, till recently was the most probable and attractive option as it relies on more solid potential off-takes supported by serious and sustained discussions made with Tesla, SK Innovation, etc.

### **O7: Spodumene and tantalum oxide by-production with Nickel and Cobalt sulfates and Mix and/or separate Rare earth oxides co-production.**

Resulting from optimisation of option 6 with an additional Rare Earth refining capability, this is the retained base case option and it will be addressed in more details in the remaining sections of this report.



## 5 Retained base case

### 5.1 Spodumene production

The readiness for the existing plant and mine to cope with the target production capacity is well documented in section 4.d.

- NI43-101-2017 report
- The Metchem design criteria book used for the plant commissioning in 2012 and the section 17.3 of the NI43-101-2017
- 2018 Economic Valuation for LOM starting 2019
- The operation track record of mining and processing
- The sales and delivery of the concentrate as per the off-take agreements
- The maintenance care effort to insure quick and successful restart as per the allocated and consumed budget since the shutdown in June 2019
- The capability of the Water treatment, tailing and waste facilities to cope with the foreseen LOM plan. As per the original and updated permitting. There is room for the 3-5 full years production after which the TSF will have to be expanded.
- The foreseen improvements depicted from (2.13 NAL corporative review, BCG DR: section 5)
- There is enough lithium to mine as per the last resource evaluation reported by G mining Services Inc. From this report:

The Mineral Resource as of April 1<sup>st</sup>, 2019 is as follows:

- Measured Resources – 2.094 Mt at 1.25 % Li<sub>2</sub>O
- Indicated Resources – 17.205 Mt at 1.40 % Li<sub>2</sub>O
- Inferred Resources – 5.312 Mt at 1.42 % Li<sub>2</sub>O

The author of this report is confident that the existing plant and mine will be capable to produce up to 180 000 t/y of spodumene concentrate @ 5,8% Li<sub>2</sub>O with an additional CAPEX of C\$ 12 million to be committed immediately after the acquisition. The additional CAPEX will be mainly used to upgrade the front end of the reclaim and crushing to mainly reduce the down time experienced in the last year

# CA-CAN-NAL-2020-020- Critical Review-NAL Restarting Plan



of production and improve H&SE conditions as per the priorities outlined in the corresponding document in section 4.d of the data room.

## 5.2 Tantalum oxide by-production

CAN's plan is to by produce up to 248 t/y of (+25% Ta<sub>2</sub>O<sub>5</sub>) concentrate or 62 t/y of contained Ta<sub>2</sub>O<sub>5</sub>. This will require an additional CAPEX of C\$ 6 million to be committed immediately after the acquisition.

This by-product is motivated by the 'discovery' of tantalum and other critical minerals in the NAL deposit that may become interesting to look at them as a long-term opportunity.

The presence of Tantalum in the ROM and the processing streams and particularly its pre-concentration in the magnetic separation unit installed in the flotation feed for the iron removal purposes as per the:

- The limited drill core analysis
- The various stream samples collected by CAN during January 2020 plant visit and analysed by IGS and/or Actlabs

| Samples     | Gd   | Nd   | Tb  | Y    | Sc | Ga   | Be  | Cs   | Rb   | Sr  | Ge  | Hf  | Li    | Nb    | Ta   | K<br>% |
|-------------|------|------|-----|------|----|------|-----|------|------|-----|-----|-----|-------|-------|------|--------|
|             | ppm  |      |     |      |    |      |     |      |      |     |     |     |       |       |      |        |
| AL-X11      | 7,8  | 21   | 1,1 | 28,9 | 9  | 94,7 | 219 | 112  | 1400 | 261 | 5,5 | 20  | 8940  | 120,9 | 110  | 1,8    |
| AL-X05      | 1,9  | 8    | 0,2 | 5,4  | 4  | 50,7 | 107 | 84,9 | 1410 | 326 | 3,8 | <10 | 2670  | 34,8  | 29,6 | 2,2    |
| AL-X22      | 3,7  | 5,6  | 0,6 | 11,1 | 5  | 57,3 | 193 | 86,8 | 1870 | 107 | 4,7 | <10 | 2660  | 406,8 | 386  | 2,3    |
| AL-X23      | 2,5  | 5,6  | 0,3 | 6,8  | 4  | 62   | 180 | 99,6 | 1930 | 154 | 4,4 | <10 | 2750  | 82,1  | 78,2 | 2,4    |
| Average     | 3    | 6    | 0   | 8    | 4  | 57   | 160 | 90   | 1737 | 196 | 4   | 0   | 2693  | 175   | 165  | 2      |
| M-Sep-Conc. | 29,8 | 57   | 4,6 | 91,6 | 23 | 83,5 | 147 | 112  | 1240 | 467 | 8   | 10  | 8250  | 1394  | 1000 | 1,6    |
| FL-Conc.    | 6,9  | 17,4 | 1,1 | 19,9 | 17 | 155  | 307 | 68   | 425  | 165 | 5,7 | 20  | 26945 | 162,4 | 192  | 0,7    |

Table 7: typical Critical elements content of Flotation Conc. and tailings at NAL lithium plant

Considering the absence of an official resource's estimation for the critical elements in NAL deposit, the author of this report performed a thorough review of developing projects on deposits with similar geological and petrographic features. The most relevant published study was made by critical Elements Inc. Based on the depicted similarities, we are confident that the outlined metals and mainly Tantalum are present in even higher quantities in NAL ROM. The reviewer is encouraged to refer to the





published report to appreciate the potentiality and/feasibility of tantalum oxide by-production from the spodumene ROM. Ref:

CRITICAL ELEMENTS CORPORATION

## ROSE LITHIUM-TANTALUM PROJECT FEASIBILITY STUDY NI 43 101 TECHNICAL REPORT

NOVEMBER 29, 2017

From the benchmarking on the abovementioned reference and the experience of the author of this report with Tantalum niobium flowsheet development and processing, we conclude that the NAL plant will be capable of extracting the tantalum oxide in a saleable concentrate by-product as per:

- The benchmarking with similar pegmatite projects, showing similar mineralisation and highlighting Tantalum recovery opportunities
- The NAL plant layout showing existing footprint to host an additional magnetic separation, increasing the recovery and an additional gravity separation unit (i.e. Knelson) to upgrade the preconcentrated magnetic separation tailings as per:
  - The video tour
  - The plant scan and layout
  - The referred benchmarking flowsheet and stream assessment

The tantalum circuit was benchmarked on the above-mentioned Li-Ta Feasibility study reference. A CAPEX provision of C\$ 6 million must be committed earlier in the restarting plan.

### **5.3 Nickel sulphate and Cobalt sulphate production**

- The production of up to 100 000 t/y battery grade Nickel sulphate and up to 2 922 t/y Battery grade Cobalt sulphate with additional CAPEX of C\$ 74 million to be committed during the first year from the acquisition
- Typical Ni MHP feedstock was tested for leaching. Two feedstocks identified as Green MHP with low Co content and Dark MHP with significantly higher Co content were used in the base case valuation model.



- The production of MHP feedstock from GUATIMALA nickel saprolite (CAN asset) to secure MHP supply at the significant and expanding level with additional CAPEX to be committed by CAN through potential partnership. CAN is willing to fulfill a feasibility study on the project during the year 2021-2022, seeking for entering MHP production at year 4 from the NAL acquisition and thus securing NAL feedstock supply.

The capability to add a Nickel/Cobalt sulfates revenue streams was reviewed with the followings to be highlighted:

- o The availability of acid leach tanks and associated sulfuric acid storage and handling infrastructure
- o The capability of CAN to be supplied by at least two (2) potential mix hydroxide products (MHP) as an intermediate feedstock containing up to 54-58% Ni and 0.75-4.8% Co with 3% Zn as the only major impurity
- o The suitability of a conventional processing scheme producing high purity Ni and Co sulphates as per the process scheme option disclosed in the Business model excel file
- o The technical feasibility of the proposed scheme, confirmed by literature and tech review, similar projects review and preliminary IGS ongoing testing, confirming reported results
- o The suitability for high recoveries and fast leaching with dilute sulfuric acid of the tested samples representative of the foreseen MHP feedstock
- o The needed additional capex estimated at C\$ 69 million to add the required processing units and infrastructure to produce +3N nickel sulfate and cobalt sulfate respectively at the level of 100 000 t/y and 2 922 t/y.

The proposed option has the merit to offer the possibility to switch back to original plant vocation of lithium carbonate production, considering a possible lithium market recovery and the attractiveness for pulling out critical elements such as Rb and Cs from the spodumene production tailings. The missing crystalliser critical for Li-carbonate production will be secured by the added crystallisation capacity required for Ni-Co sulfate production.

### 5.4 REE Refining

The production of rare earth as an additional stream in the existing NAL plant is motivated by the followings:



- The suitability of the existing plant to handle the production of target capacity, being faster to partially permit, convert and expand
- To be the first Canadian and North American RE full refining in less than 2-3 years. An even faster commissioning could be target as the required CAPEX could be raised earlier on the base of successful restarting records
- The timing of taking advantages from the warming and growing RE market, mainly driven by the growth demand from EV, new technology and Clean Energy Sourcing

The REE feedstock ore to be fed to the foreseen plant may be sourced from:

- DRC RE Ore, defined as dark monazite, different from yellow monazite classified as source of thorium. A representative bulk sample from this feedstock with low NORMs, was analysed and subject to limited met testing to be qualified for the selected processing scheme option. This ore feedstock is used for the base case related to the RE business plan.
- Other REE ore from other CAN’s sourcing opportunities may be considered to secure such feedstock. CAN is already active in the trading of such rough material commodities.

CAN’s plan is to produce up to 2 7761 t/y of + 3N separate REO equivalent distributed as following:

| <b>Target production</b> |              |
|--------------------------|--------------|
| <b>+3N REO equ.</b>      | <b>t/y</b>   |
| CeO2                     | 14823        |
| Nd2O3                    | 5770         |
| La2O3                    | 4410         |
| Pr6O11                   | 1210         |
| Sm2O3                    | 934          |
| Gd2O3                    | 342          |
| Y2O3                     | 230          |
| Dy2O3                    | 42           |
| <b>Total</b>             | <b>27761</b> |

Table 8: REO Target production

The required additional CAPEX of C\$ 160 million to be committed as per the schedule of the execution plan, with the CAPEX being mostly covered by the expected positive Cash flow generated at year two.





REO Co-production capability and readiness is reviewed based on the selected processing option described in the BM excel file. The overall scheme was selected based on literature and tech review, similar projects review and preliminary ongoing IGS testing, confirming the reported results

The assessment of capability to expand NAL plant to the RE refining is based on the following facts and assumptions:

- The capability of CAN be supplied by at least one potential REE ore referred to as dark monazite ore, particularly containing over 12% NdO<sub>5</sub>, leading to an in-situ value of over 12 000 UDS/t. This feedstock is easy to supply requiring no challenging mining development
- The suitability of a conventional processing scheme primarily producing an added value rare earth purified mixed concentrate and eventually a more added value separated 4N rare earth oxides
- The technical feasibility of Acid Bake Water Leach to dissolve the target REE as per the preliminary results of ongoing met testing.
- The availability of an acid bake reactor primarily designed for the processing of the calcined spodumene concentrate no longer part of the foreseen base case. That reactor was re-assessed in 2017 by HATCH and BBA, suggesting a reviewed capacity of over 15 t/h and supporting the readiness of the existing Acid bake reactor to process 5-10 tph of the target REE ore feedstock
- The availability of leach tanks with effective volumes (residence time) and accessories to perform water leach step
- The availability of purification (precipitation) tanks, volume, and accessories to perform rare earth precipitation
- The availability and/or feasibility of the addition of processing unit for REE precipitates metathesis using existing and upgraded NaOH storage and handling capacity
- The estimated additional CAPEX to realise the above highlighted steps with phase 1 production of mix rare earth products.
- The phase 2, to be undertaken for rare earth separation may be achieved consequently at site or in another site favoring the 4N rare earth oxide production mainly using the straightforward and conventional solvent extraction technology or any other emerging/proven technology

### 5.4.1 Mining aspects

A provision of 9 M\$ CAD was made to enhance mining plan realisation, assuming the 2019 mining CAPEX priorities highlighted in the following documents: (2.13 Mining CAPEX priority 2019; BCG DR: Section 5)



### 5.4.2 Environmental aspects

A provision of 9 M\$ CAD was made to enhance mining plan realisation, assuming the 2019 mining CAPEX priorities highlighted in the following documents: (2.13 Presentation priority 2019; BCG DR: Section 5)

### 5.4.3 CAPEX/OPEX Estimation

Considering that we are in the case of an acquisition of an existing plant and that there is no sufficient time for at least a preliminary economic assessment (PEA), the RE processing part was roughly benchmarked using a confidential communication and a nonpublished (private/confidential) PEA study report, with main outcomes captured in appendix.

CAPEX benchmarking results are summarized in the following table. Calculation formula and factors could be easily reviewed in the corresponding worksheet of the excel file:

# CA-CAN-NAL-2020-020- Critical Review-NAL Restarting Plan



| Summary of Process Plant Capital Cost Estimate                              |                     |         |                     |  |                     |                |             |             |
|---|---------------------|---------|---------------------|--|---------------------|----------------|-------------|-------------|
| Area  | Benchmarking Ref    |         | NAL case            |  | Capital Cost (C\$M) |                |             |             |
|   | Capital Cost (C\$M) |         | Capital Cost (C\$M) |  | Capital Cost (C\$M) | Mix RE         | Seperate RE |             |
| Year of estimation  | 2019                |         | 2020                |  | NAL accreditation   | Retained CAPEX | Phase 1     | Phase 2     |
| Inflation   | 2%                  |         |                     |  |                     |                |             |             |
| Plant Capacity (t/y)  |                     | 150 000 | 55 188              |  |                     |                |             |             |
| Plant Production capacity   |                     |         |                     |  |                     |                |             |             |
| Bécancour Port  | 0,2                 |         | 0,1                 |  | 0%                  | 0,1            | 0,1         |             |
| Ore, Lime and Sulphur Handling  | 11,8                |         | 6,6                 |  | 15%                 | 5,6            | 5,6         |             |
| Acid Baking   | 47,4                |         | 26,5                |  | 0,1                 | 23,9           | 23,9        |             |
| Leaching and Process Waste Treatment  | 20,3                |         | 11,4                |  | 80%                 | 2,3            | 2,3         |             |
| Outside Piping and Pipe Racks   | 10,1                |         | 5,7                 |  | 25%                 | 4,2            | 0,4         | 3,8         |
| Direct Precipitation Plant  | 59                  |         | 33,0                |  | 50%                 | 16,5           | 16,5        |             |
| REO Separation Plant  | 50                  |         | 28,0                |  | 0%                  | 28,0           |             | 28,0        |
| Site Works  | 12,2                |         | 6,8                 |  | 25%                 | 5,1            |             | 5,1         |
| Energy Supply (Electricity and Gas)   | 14,5                |         | 8,1                 |  | 95%                 | 0,4            | 0,4         |             |
| Services  | 14,5                |         | 8,1                 |  | 70%                 | 2,4            | 0,4         | 2,1         |
| Buildings   | 19                  |         | 10,6                |  | 10%                 | 9,6            | 1,4         | 8,1         |
| Other Infrastructure  | 1,4                 |         | 0,8                 |  | 5%                  | 0,7            | 0,7         |             |
|   |                     |         |                     |  |                     | 0,0            |             |             |
| <b>Total</b>  | <b>260,4</b>        |         | <b>145,8</b>        |  |                     | <b>98,9</b>    | <b>51,8</b> | <b>47,1</b> |
| Summary of Residue Management Facility Capital Cost Estimate                |                     |         |                     |  |                     |                |             |             |
| Area  | Capital Cost (C\$M) |         | Capital Cost (C\$M) |  | Capital Cost (C\$M) |                |             |             |
|   | Capital Cost (C\$M) |         | Capital Cost (C\$M) |  | Capital Cost (C\$M) | Mix RE         | Seperate RE |             |
| Site Preparation  | 0,1                 |         | 0,1                 |  | 80%                 | 0,0            | 0,0         | 0,0         |
| Residue Containment   | 1                   |         | 0,6                 |  | 80%                 | 0,1            | 0,1         | 0,1         |
| Cement Handling   | 0,1                 |         | 0,1                 |  | 80%                 | 0,0            | 0,0         | 0,0         |
| Residue Filtration  | 19                  |         | 10,6                |  | 90%                 | 1,1            | 0,5         | 0,5         |
| Run-off Water Management  | 0,2                 |         | 0,1                 |  | 10%                 | 0,1            | 0,1         | 0,1         |
| Environment   | 0,4                 |         | 0,2                 |  | 10%                 | 0,2            | 0,1         | 0,1         |
| <b>Total</b>  | <b>20,8</b>         |         | <b>11,6</b>         |  |                     | <b>1,5</b>     | <b>0,8</b>  | <b>0,8</b>  |
| Summary of Indirect and Owner's Capital Cost Estimate                       |                     |         |                     |  |                     |                |             |             |
| Area  | Capital Cost (C\$M) |         | Capital Cost (C\$M) |  | Capital Cost (C\$M) |                |             |             |
|   | Capital Cost (C\$M) |         | Capital Cost (C\$M) |  | Capital Cost (C\$M) | Mix RE         | Seperate RE |             |
| Owner's Team  | 46,8                |         | 17,2                |  | 90%                 | 1,7            | 0,9         | 0,9         |
| Financing , Land & Royalties  | 3,0                 |         | 1,1                 |  | 100%                | 0,0            | 0,0         | -           |
| EPCM  | 44,6                |         | 16,4                |  | 50%                 | 8,2            | 2,1         | 6,2         |
| Direct Precipitation Indirects  | 21,8                |         | 8,0                 |  | 75%                 | 2,0            | 2,0         | -           |
| Separation Plant Indirects  | 18,5                |         | 6,8                 |  | 5%                  | 6,5            | 0,0         | 6,5         |
| Temporary Facilities  | 0,1                 |         | 0,0                 |  | 100%                | 0,0            | 0,0         | -           |
| Site Operation and Maintenance  | 4,4                 |         | 1,6                 |  | 95%                 | 0,1            | 0,0         | 0,1         |
| Supply, Equipment and Communications  | 1,9                 |         | 0,7                 |  | 95%                 | 0,0            | 0,0         | 0,0         |
| Construction Camps  | 7,4                 |         | 2,7                 |  | 100%                | 0,0            | 0,0         | -           |
| Construction and Commissioning Support                                      | 4,1                 |         | 1,5                 |  | 70%                 | 0,5            | 0,1         | 0,4         |
| Freight   | 28,4                |         | 10,4                |  | 15%                 | 8,9            | 1,8         | 7,1         |
|   |                     |         |                     |  |                     |                |             | -           |
| <b>Total</b>  | <b>181,0</b>        |         | <b>66,6</b>         |  |                     | <b>27,8</b>    | <b>6,8</b>  | <b>21,1</b> |
| Summary of Capital Cost Contingency   |                     |         |                     |  |                     |                |             |             |
| Area  | Capital Cost (C\$M) |         | Capital Cost (C\$M) |  | Capital Cost (C\$M) |                |             |             |
|   | Capital Cost (C\$M) |         | Capital Cost (C\$M) |  | Capital Cost (C\$M) | Mix RE         | Seperate RE |             |
| Bécancour Site  | 68,1                |         | 25,1                |  | 43%                 | 10,7           | 5,0         | 5,8         |
| <b>Total</b>  | <b>68,1</b>         |         | <b>25,1</b>         |  |                     | <b>10,7</b>    | <b>5,0</b>  | <b>5,8</b>  |
| <b>Total HYDROMET AND SEPM PLANT</b>  | <b>530,3</b>        |         | <b>249,1</b>        |  |                     | <b>139,0</b>   | <b>64,3</b> | <b>74,7</b> |
| Extra from Monazite<br>Phosphoric acid production and hndling as a major BP |                     |         |                     |  |                     | 14,8           | 14,8        |             |
| <b>TOTAL</b>  |                     |         |                     |  |                     | <b>153,8</b>   | <b>79,1</b> | <b>74,7</b> |

Table 9: RE refining CAPEX benchmarking





**5.4.4 Rare earth Market assumptions**

The market assumptions are mainly based on the author search and private communications from recently performed studies on the subject, with the following highlights:

**5.4.5 General market outcomes**

Figure 1

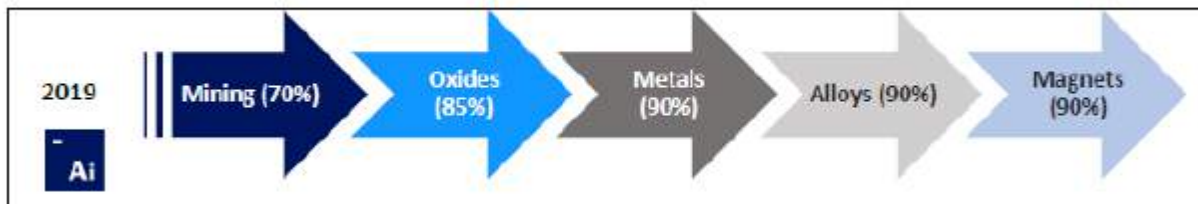
**Global Mine Production of Rare Earths (t REO)**



Roskill, 2019a.

Figure 2

**China's Dominance of the Rare Earth Permanent Magnet Supply Chain**



Adamas, 2019.



Table 10

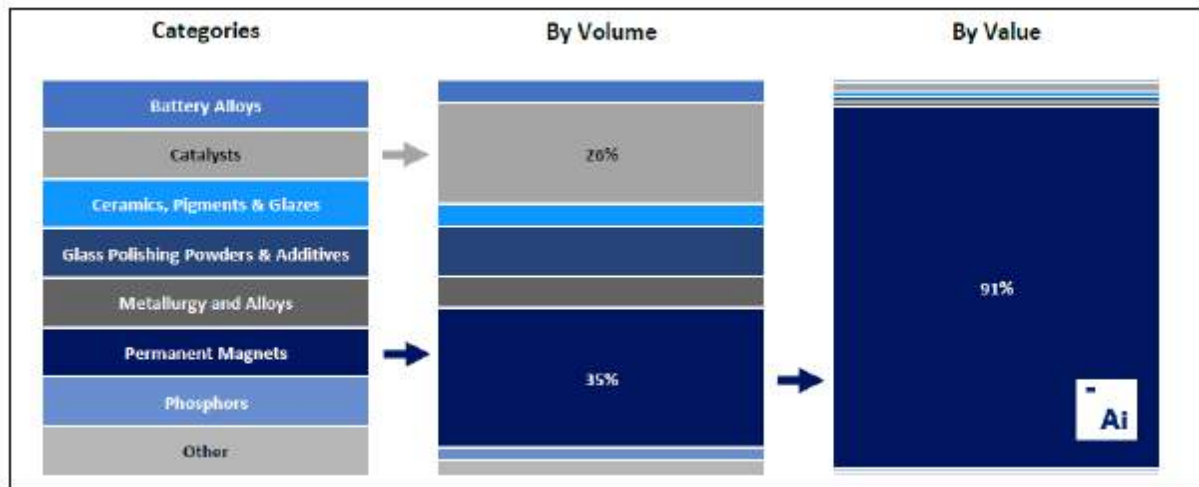
First Half, 2019 Production Quotas for the Six Chinese Rare Earth State-owned Enterprises (t REO)

| State-owned Enterprise                                | Mining        |                      | Separation    |
|---|---------------|----------------------|---------------|
|   | Light REE     | Medium and Heavy REE |               |
| Chinalco Rare Earth & Metals Co., Ltd.                | 5,925         | 1,250                | 9,690         |
| China Minmetals Rare Earth Co., Ltd.                  |               | 1,005                | 2,829         |
| China Northern Rare Earth (Group) High-Tech Co., Ltd. | 34,625        |                      | 29,741        |
| Xiamen Tungsten Co., Ltd.                             |               | 1,720                | 1,982         |
| China Southern Rare Earth Group Co., Ltd.             | 9,875         | 4,250                | 7,956         |
| Guangdong Rare Earths Industry Group Co., Ltd.        |               | 1,350                | 5,302         |
| <b>Total</b>  | <b>50,425</b> | <b>9,575</b>         | <b>57,500</b> |

Baiinfo, 2019.

Figure 3

Rare Earth Applications by Volume and Value



Adamas, 2019.



Table 11

Principal Applications for Rare Earth Elements

| Application             | Rare Earths                   | Details   |
|-------------------------|-------------------------------|---|
| Permanent magnets       | Nd, Pr, Dy, Tb, Sm            | Automotive motors and traction motors, wind turbines, consumer and industrial electronics, robotics, power tools, sensors, motors for elevators and white goods, medical imaging systems. |
| Batteries               | La, Ce, Pr, Nd                | Nickel metal hydride batteries for hybrid vehicles, electronics and rechargeable consumer goods.  |
| Metallurgy              | Y, Nd, Tb, LREE               | REE are used in a wide range of alloys, for example, Y in light weight and super alloys, Nd in magnesium alloys, Tb in magnetostrictive alloys, LREE in pyrophoric alloys.                |
| Fuel cracking catalysts | Ce, La, Pr, Nd                | Petroleum cracking catalysts used in refining plants.   |
| Automotive catalysts    | Ce, La, Nd                    | Vehicle catalyst systems for treating exhaust emissions.  |
| Glass polishing         | Ce, La, Nd                    | Polishing compounds for glass, including glass for electronic applications.   |
| Glass additives         | Ce, La, Nd, Er, Dy            | LREE as colourants, decolourizers and stabilizers in optical, safety and crystal glasses; HREE/Dy as dopant in laser glass.   |
| Phosphors               | Eu, Y, Tb, La, Dy, Ce, Pr, Gd | Fluorescent and LED lighting, LCD and other display screens; X-ray film.  |
| Fibre optics            | Er, Y, Tb, Eu                 | Signal amplification.   |
| Ceramics and pigments   | LREE, HREE                    | Range of commercial, industrial and decorative ceramic applications.  |
| Other                   | LREE, HREE                    | Range of other applications in defence, lasers, medical devices, industrial and other applications (e.g. La for water treatment products which remove phosphorus).                        |

Figure 4

Rare Earth Use in Automobiles

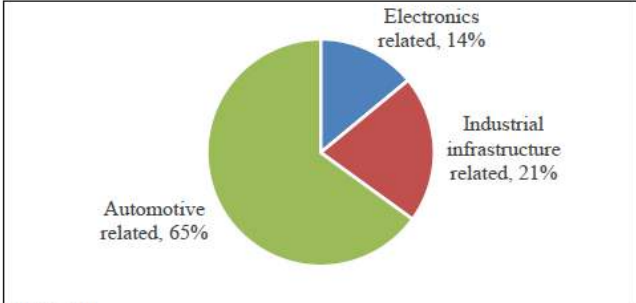


Source: <https://www.trei.co.in/index.html>.



Figure 5

Demand for Permanent Magnets by Application



GREL, 2019.

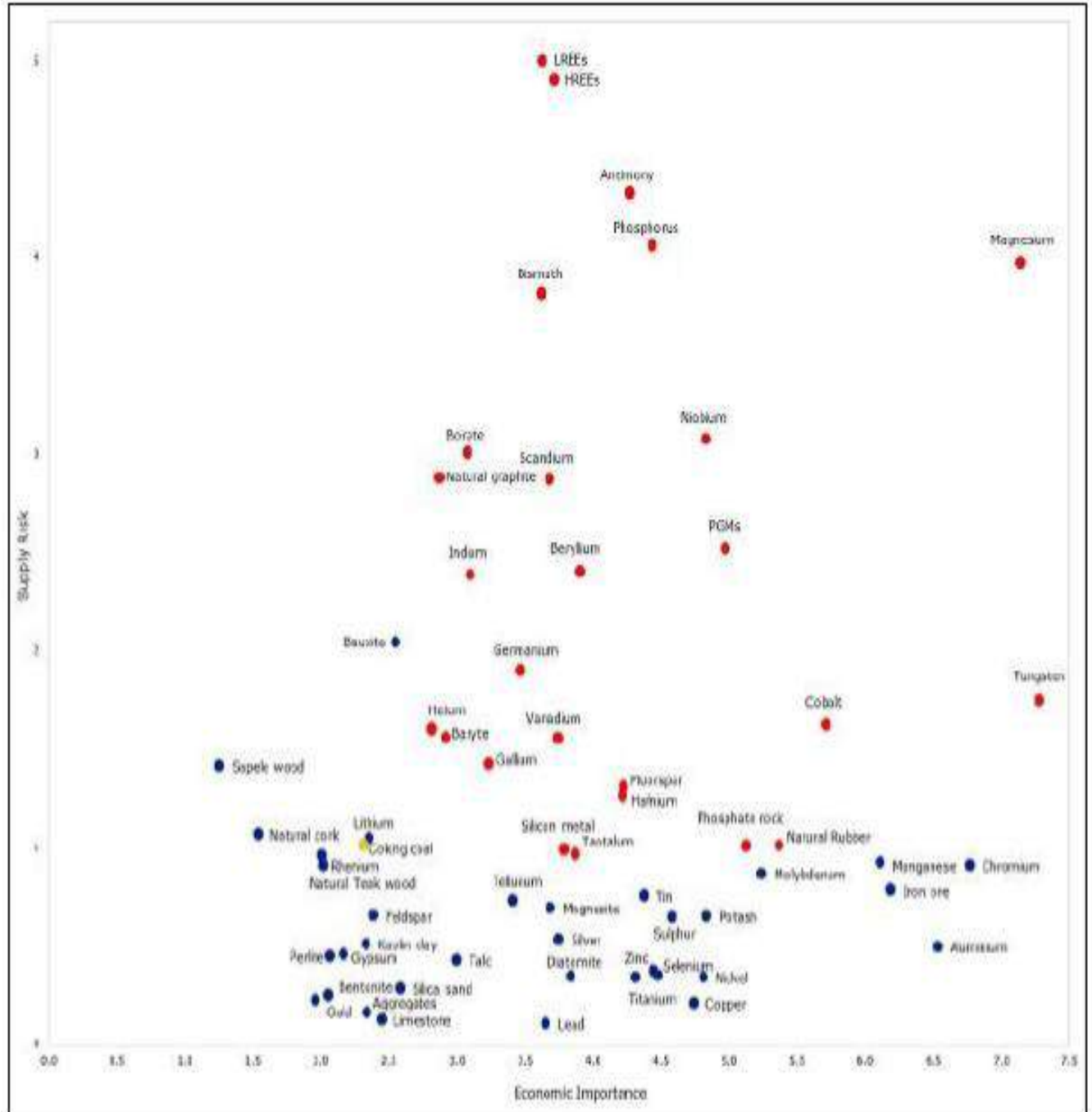




Figure 6



Critical Mineral Analysis for Europe

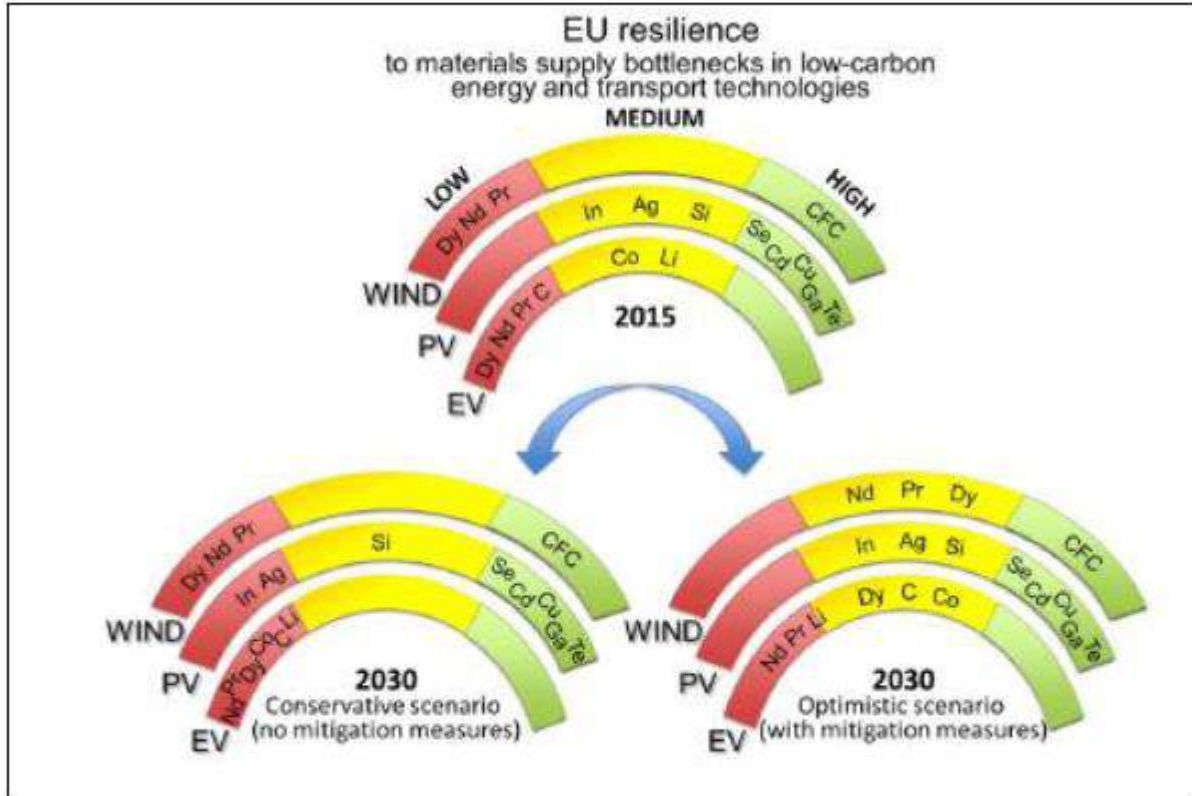


European Commission, 2017.



Figure 7

Optimistic and Conservative Scenarios for European Union Resilience to REE Supply to 2030

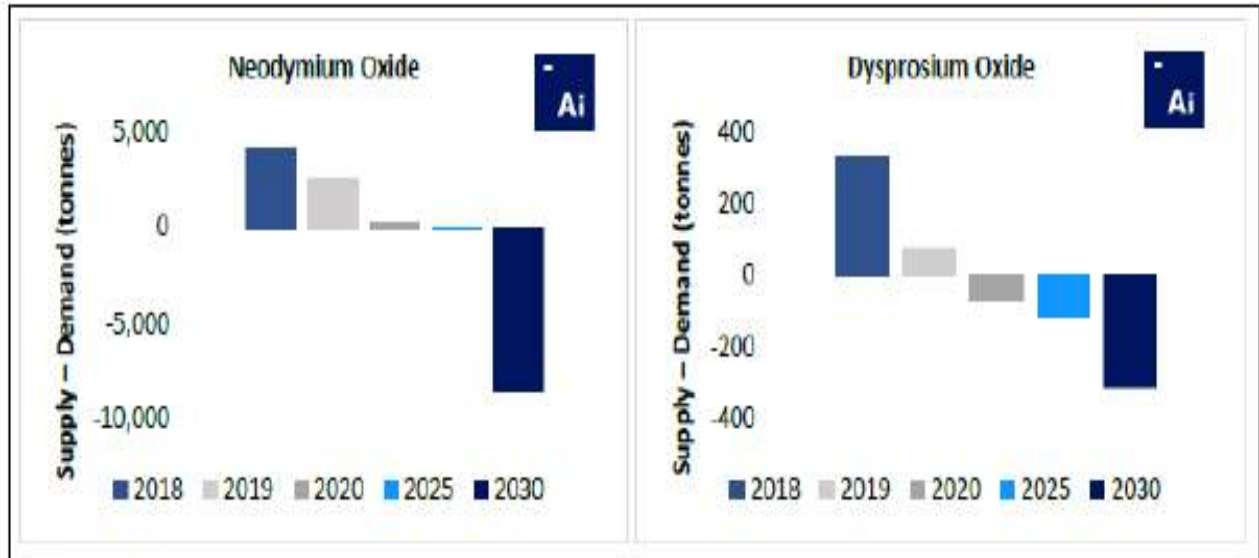


Blagoeva et al., 2016.



Figure 8

Adamas Projected Supply Shortage for Neodymium and Dysprosium



Adamas, 2019.

Figure 10

Adamas Dysprosium Demand and Supply Analysis



Adamas, 2018.





## 5.4.6 Prices for Rare Earths

- There is no terminal market for rare earth products and sales are arranged between buyer and seller, spot prices and analysis for the rare earth oxides and rare earth metals are reported by Asian Metal, Roskill Information Services, Argus Media, SMM Information and Technology Co. Ltd., Bai info and Adamas Intelligence.
- Several rare earth purchasers have indicated to CAN that they formulate long-term contracts based on Asian Metals prices.
- The suggested price projection of prices for separated rare earth oxides for use in the proposed Project financial model are based on an assessment of analyses from sources including Roskill and Adamas which notes that “prices of most rare earth products [will] return to levels that sustain the profitability and growth of today’s dominant producers and incentivize continued investment in exploration and resource development globally”. (Adamas, 2016).
- In order to conduct its own data collection and analysis, CAN regularly holds discussions with a range of companies active along the rare earth value chain, including consumers of rare earth concentrates, intermediates and oxides within the various end-use sectors and geographical regions.
- CAN’s projection of rare earth prices and a summary of the price drivers are shown in the following table

| Forecast Price in 2023 |          |   |
|------------------------|----------|---|
| RE Oxide               | (USD/kg) | Price Drivers   |
| La2O3                  | 4,00     | La is well supplied since it is one of the more common REEs. However, new applications are creating future demand growth.   |
| CeO2                   | 2,00     | Ce is used in high volume applications but is one of the most abundant REEs and is therefore well supplied.   |
| Pr6O11                 | 85,00    | Pr supply growth will be challenged to match demand driven by growth in permanent magnet demand.  |
| Nd2O3                  | 85,00    | Nd supply growth will be challenged to match demand driven by growth in permanent magnet demand.  |
| Sm2O3                  | 2,00     | Sm magnet demand is stable and the market is sufficiently supplied.   |
| Eu2O3                  | 40,00    | Eu demand has fallen with developments in lighting, however longer term, unit sales growth (LED lighting, electronic display screens) and new applications will support ongoing demand. |
| Gd2O3                  | 50,00    | Niche market and relatively low supply will support future prices, along with its use in some permanent magnets.  |
| Tb4O7                  | 625,00   | Demand growth for Tb, which has a very low supply forecast due to its relative rarity, will be driven by growth in permanent magnet demand.   |
| Dy2O3                  | 360,00   | Demand will be driven by growth in permanent magnet demand, particularly for the high-performance applications.   |
| Ho2O3                  | 5,00     | Er, Tm, Yb, Ho will be sold by Tomgat as a mixed REO product. A conservative, nominal price has been estimated.   |
| Er2O3                  | 5,00     |   |
| Tm2O3                  | 5,01     |   |
| Yb2O3                  | 5,02     |   |
| Lu2O3                  | 750,00   | Highly specialized market; Lu has advanced medical equipment and other applications.  |
| Y2O3                   | 4,00     | Y has many high-volume uses but is relatively abundant and therefore well supplied.   |

Table 12: Rare Earth pricing used in the Business model



- Based on its analysis of current conditions and future trends, CAN has developed a conservative price projection
- Prices are forecast to increase above current prices due to projected supply tightness, particularly for the magnet rare earths. However, these prices are below levels that would cause users to seek substitutes and below levels that would encourage relatively high-cost production to enter the market
- For more refined business, Lanthanum, cerium, and yttrium will be extracted during the hydrometallurgical process and NAL expansion to REE's economic analysis may assume that they will be sold at a discount of 50% to the prices noted in above table. Erbium, thulium, ytterbium, and holmium, if any will be sold as a mixed REO product for which nominal prices of USD 5.00/kg are assumed
- For the moment we assume Full refining and separation as per the potential Business model presented in the associated excel file. Production of mixed TREO will be considered for phase 1 of the REE expansion.

### 6 Overall production schedule

The production schedule assumes that the full ramp up of all the production streams will be realized in 2025, generating a highly diversified sources of revenue as per the following table:

## CA-CAN-NAL-2020-020- Critical Review-NAL Restarting Plan



|                      | Production Schedule |         |         |         |         |           |
|----------------------|---------------------|---------|---------|---------|---------|-----------|
|                      | 2021                | 2022    | 2023    | 2024    | 2025    | 2026 Etc. |
|                      | dmt/y               |         |         |         |         |           |
| Li spodumen conc.    | 100 000             | 180 000 | 180 000 | 180 000 | 180 000 | 180 000   |
| Tantalum oxide Conc. | 116                 | 248     | 248     | 248     | 248     | 248       |
| Ni- sulphate         | -                   | 80 000  | 100 000 | 100 000 | 100 000 | 100 000   |
| Co- sulphate         | -                   | 2 337   | 2 922   | 2 922   | 2 922   | 2 922     |
| Mix REO              | -                   | -       | 24 985  | 27 761  | -       | -         |
| Separate REO         |                     |         |         |         |         |           |
| <i>CeO2</i>          | -                   | -       | -       | -       | 14 823  | 14 823    |
| <i>Nd2O3</i>         | -                   | -       | -       | -       | 5 770   | 5 770     |
| <i>La2O3</i>         | -                   | -       | -       | -       | 4 410   | 4 410     |
| <i>Pr6O11</i>        | -                   | -       | -       | -       | 1 210   | 1 210     |
| <i>Sm2O3</i>         | -                   | -       | -       | -       | 934     | 934       |
| <i>Gd2O3</i>         | -                   | -       | -       | -       | 342     | 342       |
| <i>Y2O3</i>          | -                   | -       | -       | -       | 230     | 230       |
| <i>Dy2O3</i>         | -                   | -       | -       | -       | 42      | 42        |
|                      |                     |         |         |         | 27 761  | 27 761    |

Table 13: Overall production schedule

### 7 Project Execution Plan

CAN and partners are committed to allocate their resources to initiate the project upon approval by the investor and the completion of the transaction. The project restarting schedule will span over a period of approximately xx months, from the expected bid award date of February 1, 2021 to the 2024.

# CA-CAN-NAL-2020-020- Critical Review-NAL Restarting Plan

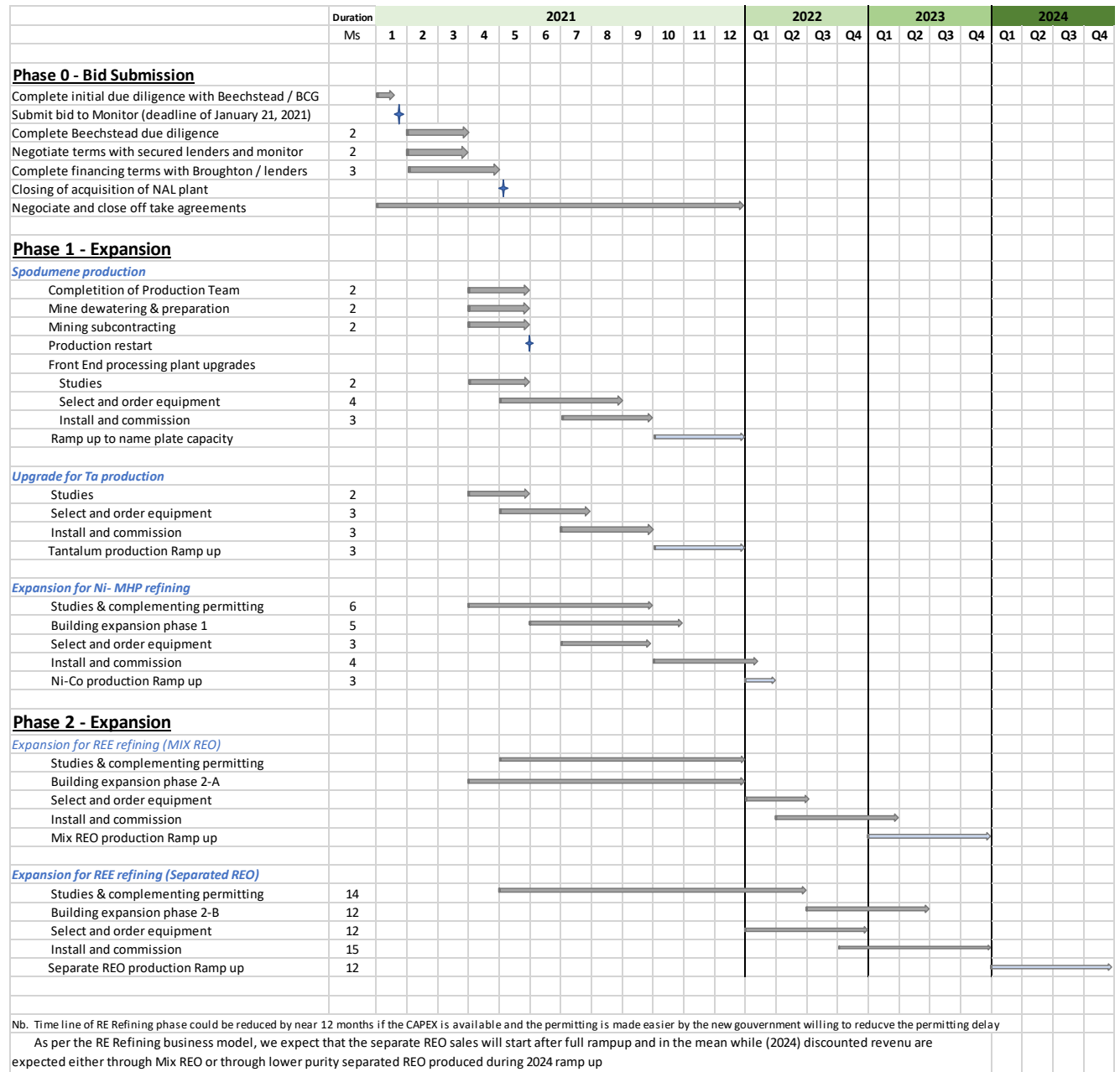


Figure 11: Base case execution plan





## 8 Risk Register

We consider that the project is build around an existing fully permitted plant for the production mission, LOM and capacity it was originally designed for and therefore many risks generally associated with similar projects will be easier to mitigate.

Despite the above, CAN will have to develop a detailed risk register not to significantly affect the execution plan and the project CAPEX.

Typical risk register to assess risks and develop management or mitigation measures for the Project, will take it from the following critical risk items identified, which had assigned preventive and mitigation measures:

- COVID-19 Pandamic effects
- Public concern over carbon footprint, radioactivity.
- Delays to IBA negotiations beyond dates required by EIA/permitting.
- Delay to approval of EIA.
- Inability to secure land rights for mining, relative to DRC REE asset
- Impact on capital and operating costs of major changes to design due to scaling from mini-pilot/laboratory to commercial scale.
- Occupational exposure of workers to dust.
- Dust from the TSF and RSF due to radioactive content.
- Impact on recovery and operating costs of material changes to the process design criteria due to unexpected test results from Acid bake and Water leach, acid and reagent recycle efficiency at design temperatures tests and REO separation tests.
- Impact of discharging treated water to the environment at Lacorne.

It was noted that the minority of these identified critical risk factors relate to strictly technical issues, the remainder generally relate to environmental and/or social issues. Risks to Project development associated with exposure to radioactive elements are likely to have greater impact on Project activities if the lower than permitted feedstock contents in U and Th is not proven and controlled at the supply source. At this stage, the identified REE feedstock was qualified as exportable as per the available XRF analysis on a representative bulk sample.



## 9 CONCLUSIONS

Based on the above, we believe that the proposed option will have the merits of:

- Highly/fully de-risking the NAL restarting
- Bringing an interesting production flexibility
- Securing the economical viability, being multi-production facility in adequation with the evolving and volatile energy and critical metals
- Taking advantages from the existing infrastructure by leveraging the already committed + 400 M\$ CAD
- Optimizing the use of each piece of existing equipment/infrastructure and expanding the plant in a conventional and proven manner
- Relying on existing operating team and subcontractors that could be leveraged by highly qualified personnel and experts with proven track record in the target processing fields

CAN team believe that, based on the results, review and project benchmarking is adequate for the overall valuation of the NAL restarting opportunity. It is understood that further detailed studies are warranted on the REE Project side of the NAL expansion. The further studies will have to be undertaken immediately after the acquisition is secured. Metallurgical processes and infrastructure options will be refined for fast tracked and phased commissioning of the complementing part of the plant.



## Appendix A

### Benchmarking reference- Canadian rare earth refining project

**Report Date: December 6, 2019**

**Effective Date of Mineral Resource Estimate: October 31, 2019**

**Effective Date of PEA Study: November 27, 2019**

The referred to report is for private company, thus unavailable for public. The following reference outcomes are given here to comfort our REE processing estimates:

- Processing at the mine site will produce a mixed rare earth concentrate which will then be transported to Bécancour, in southern Québec, for further processing into a range of finished individual rare earth oxide products.
- The processing plant at the mine site designed for an initial throughput of 1.5 million tonnes per year (Mt/y), it will then be expanded to 3.0 Mt/y in Year 6 and to 6.0 Mt/y in Year 20.
- The plant at Bécancour will be designed initially to treat 155,000 t/y of rare earth concentrate, with an expansion to 310,000 t/y in Year 20.
- The benchmarking reference project has the following production schedule:

# CA-CAN-NAL-2020-020- Critical Review-NAL Restarting Plan



| Description                                   | Units   | Year 1 | Year 2 | Annual Average for Period |          |           | TOTAL LOM |
|---|---------|--------|--------|---------------------------|----------|-----------|-----------|
|   |         |        |        | Y3 to 5                   | Y6 to 18 | Y19 to 30 |           |
| <b>Concentrator</b>                           |         |        |        |                           |          |           |           |
| Concentrator feed                             | kt      | 413    | 1,200  | 1,500                     | 3,000    | 6,000     | 117,113   |
| Concentrator feed grade                       | %TREO+Y | 1.39%  | 1.48%  | 1.44%                     | 1.12%    | 0.87%     | 0.98%     |
| Concentrate produced                          | kt      | 21     | 61     | 77                        | 154      | 307       | 5,993     |
| Concentrate grade                             | %TREO+Y | 14.42% | 15.35% | 14.87%                    | 11.07%   | 8.48%     | 9.68%     |
| <b>Production at Bécancour</b>                |         |        |        |                           |          |           |           |
| Impure Ce <sub>2</sub> O <sub>3</sub> product | t REO   | 674    | 2,003  | 2,354                     | 3,786    | 6,629     | 138,508   |
| Impure La <sub>2</sub> O <sub>3</sub> product | t REO   | 294    | 872    | 1,016                     | 1,648    | 3,062     | 62,376    |
| Impure Y <sub>2</sub> O <sub>3</sub> product  | t REO   | 631    | 2,047  | 2,549                     | 3,443    | 4,155     | 104,947   |
| Er, Tm, Yb, Ho mixed oxide product            | t REO   | 822    | 2,545  | 3,103                     | 4,660    | 7,156     | 159,135   |
| Pure Dy <sub>2</sub> O <sub>3</sub> product   | t REO   | 90     | 293    | 357                       | 504      | 627       | 15,534    |
| Pure Nd <sub>2</sub> O <sub>3</sub> product   | t REO   | 259    | 765    | 915                       | 1,478    | 2,632     | 54,573    |
| Pure Tb <sub>4</sub> O <sub>7</sub> product   | t REO   | 14     | 43     | 53                        | 77       | 100       | 2,413     |
| Pure Lu <sub>2</sub> O <sub>3</sub> product   | t REO   | 8      | 28     | 36                        | 47       | 53        | 1,401     |
| Pure Pr <sub>6</sub> O <sub>11</sub> product  | t REO   | 76     | 226    | 266                       | 427      | 749       | 15,643    |
| Pure Gd <sub>2</sub> O <sub>3</sub> product   | t REO   | 61     | 190    | 233                       | 353      | 537       | 11,989    |
| Pure Eu <sub>2</sub> O <sub>3</sub> product   | t REO   | 4      | 11     | 13                        | 20       | 32        | 698       |
| Pure Sm <sub>2</sub> O <sub>3</sub> product   | t REO   | 64     | 189    | 232                       | 360      | 578       | 12,560    |

- The PEA is based on an estimated initial capital expenditure of C\$769 million to construct the facilities required at the mine and Bécancour sites.
- The summary tables of the estimated capital cost for the studied ore processing plant at Bécancour, including the rare earth separation plant are reported in (CAN-NAL-REE-BM.xls; CBG DR: section 5.
- Subsequent sustaining and expansion capital expenditures, to be incurred over the 30-year operating life, are estimated at C\$390 million and C\$467 million, respectively.
- Average annual operating costs, for both sites combined and including transportation, are estimated at C\$76/t of mineralized resource milled, C\$1,482/t of concentrate produced at the mine site and approximately C\$20,000/t of rare earth oxide produced at Bécancour.
- The hydromet recovery method is mainly composed of the direct precipitation plant (DPP) and the REE separation plant.
  - **Acid Bake Water Leach (ABWL)**, where the flotation concentrate received from the mine site will be dried, heated, mixed with preheated sulphuric acid and fed to an acid thermal processing vessel for the transformation of contained REE and yttrium into water soluble sulphates. The acid bake product will feed an acid recovery vessel where sweep gas (air) recovers unspent acid via acid coolers and an electrostatic precipitator. The discharging air flow will be passed through a slaked lime scrubber to capture any residual acid prior to release to the environment. The recovered acid will be recycled to the concentrate-acid mixing stage for reuse. The calcine product will be cooled and fed to the water leach circuit. The leach discharge slurry will be pressure filtered and washed to produce pregnant leach solution (PLS). The calcine product will generate a clean leach solution with low concentrations of impurities such as iron and aluminium, and low free acid, to feed the direct precipitation plant. The rare earth elements and yttrium will be recovered from the





clean solution by a simple precipitation method. Water leach residue will be treated and neutralized in a residue neutralization circuit along with direct precipitation plant waste streams. The resulting treated residue will be filtered and mixed with cement for discharge to the Bécancour residue management facility (RMF).

- **Impurity Removal** where the PLS from the acid bake-water leach circuit will be fed to the impurity removal circuit. Impurities including iron, aluminium, thorium, titanium, and residual zirconium and niobium, will be selectively precipitated by pH adjustment. The precipitated impurities will be thickened, filtered, washed and finally combined with leached residue solids for disposal in the RMF. Thickener overflow and impurity precipitate filtrates will be combined to form the feed solution to REE crude concentrate precipitation. The reported met testing results highlighted that pregnant leach solution (PLS) generated by the ABWL process was successfully used for the development of a hydrometallurgical process for recovery of zirconium, niobium, REE and yttrium, and the removal of uranium and thorium.
- **Crude Concentrate Precipitation** where an oxidizing agent will be added to the solution from the impurity removal circuit to precipitate the cerium in the form of the insoluble cerium-(IV)-oxide. The solution will be pH-adjusted to selectively precipitate a crude rare earth concentrate. The concentrate will be thickened, filtered and washed before being fed to the concentrate re-leach circuit.
- **Crude Concentrate Re-Leach and Ce-La-Y Separation** where the mixed REE+Y oxide will be digested in acid to form a concentrated solution, with the insoluble cerium oxide separated by filtration. Prior to separation of lanthanum and yttrium from the concentrated solution of the mixed oxides, uranium will be separated by ion-exchange. The remaining rare earth salts in solution with most of the cerium, yttrium and lanthanum removed will be fed to the separation plant.
- **Separation Plant** where the rare earth compounds still in solution will be fed to a conventional rare earth separation circuit, based on solvent extraction. Individual, purified rare earth strip solutions (from stripping of loaded organic from the solvent extraction circuit) will be precipitated and pure rare earth solids will be filtered and washed to produce the final high purity compounds with physical properties to customer specifications. Stripped and regenerated organic will be recycled in the circuit.

## NOTE TECHNIQUE

**Client :** Central America Nickel  
**CC :**  
**Équipe CTMP :** Manipulations techniques : Julie Alain, technicienne en minéralurgie  
Rédaction : Jean-François Grenier, M.Sc ,ing.  
Validation : Valérye Desbiens, ing.  
**Date :** 2021-03-01  
**Objet :** CTMP – M-9846  
Observations d'échantillons contenant de la monazite et des terres rares au MEB-EDX (échantillons 365213, 365215 et 365230)

---

Cette note technique présente les observations réalisées par microscopie électronique à balayage (MEB) et les analyses par spectroscopie de rayons X à dispersion d'énergie (EDSX) de trois échantillons contenant des terres rares qui ont été fournis par Central American Nickel. L'objectif était d'observer la répartition des éléments chimiques, notamment des terres rares, dans les grains et proposer, si possible, une identification des minéraux qui peuvent y correspondre. L'identification des minéraux est basée sur les données semi-quantitatives obtenues avec l'appareil et peut diverger de la nature réelle des minéraux.

Les échantillons de sables ont été préparés en sections polies afin d'avoir des échantillons représentatifs facilement manipulables. Pour chaque échantillon, le matériel a été déposé dans un petit moule cylindrique puis recouvert de résine afin de solidifier les grains entre eux. La surface de grains solidifiés a par la suite été poncée et polie afin d'obtenir une surface lisse exposant des sections fraîches de grains constituant l'échantillon. Finalement, les compositions élémentaires de certaines sections de ces grains visibles sur la surface ont été évaluées par EDSX. La spectroscopie EDSX est utilisée pour faire une cartographie élémentaire sur des échantillons, c'est-à-dire d'observer, lorsque l'analyse s'y prête bien, la localisation des différents éléments chimiques à travers l'échantillon. À partir des éléments chimiques identifiés sur une même particule, il est généralement possible d'émettre une hypothèse sur la composition chimique du solide et de proposer une identification minérale. Cette analyse de grains requiert néanmoins du temps et le nombre de grains analysés est limité. Les particules observées dans cette note technique sont représentatives des zones analysées sur les sections polies et les proportions observées ne sont pas nécessairement représentatives de l'échantillon. Les observations dans cette note technique se sont limitées à retrouver des grains contenant les éléments chimiques identifiés par spectrométrie de fluorescence des rayons X semi-quantitative (XRF-SQ).

**Les échantillons analysés dans le cadre de cette aide technique sont : 365213, 365215 et 365230.**

---

# 1 ÉCHANTILLON 365213

## 1.1 COMPOSITION CHIMIQUE ÉVALUÉE AU XRF-SQ

Le résultat de l'analyse XRF-SQ pour cet échantillon est présenté au tableau suivant :

Tableau 1 - Résultat d'analyse XRF-SQ de l'échantillon 365213.

| <b># 365213</b> |               |
|-----------------|---------------|
| <b>Formule</b>  | <b>%</b>      |
| SiO2            | 31,26%        |
| CeO2            | 19,08%        |
| P2O5            | 11,07%        |
| Nd2O3           | 7,92%         |
| SnO2            | 6,15%         |
| La2O3           | 5,86%         |
| TiO2            | 5,65%         |
| Fe2O3           | 4,50%         |
| Al2O3           | 3,69%         |
| Pr6O11          | 1,58%         |
| Sm2O3           | 1,12%         |
| Gd2O3           | 0,40%         |
| ThO2            | 0,34%         |
| Y2O3            | 0,27%         |
| K2O             | 0,24%         |
| MnO             | 0,15%         |
| MgO             | 0,12%         |
| PbO             | 0,10%         |
| CaO             | 0,10%         |
| SrO             | 0,09%         |
| ZnO             | 0,06%         |
| Nb2O5           | 0,06%         |
| Dy2O3           | 0,06%         |
| Ta2O5           | 0,05%         |
| Cl              | 0,03%         |
| NiO             | 0,02%         |
| UO2             | 0,02%         |
| <b>Total</b>    | <b>99,99%</b> |

## 1.2 OBSERVATION MEB-EDX

**Monazite-(Ce)** : La cartographie élémentaire a mis en évidence des grains constitués des éléments caractéristiques de la monazite de cérium, à savoir le cérium, le phosphore et l'oxygène ((Ce)PO<sub>4</sub>). Ce minéral contiendrait toujours d'autres éléments de terres rares qui remplacent le cérium<sup>1</sup>. Dans l'échantillon 365213, on constate que ces grains contiennent aussi les éléments de néodyme (Nd), lanthane (La), praséodyme (Pr), samarium (Sm), gadolinium (Gd) et d'yttrium (Y). Il peut avoir des traces de thorium (Th) et potassium (K) qui soient associées à ces grains.

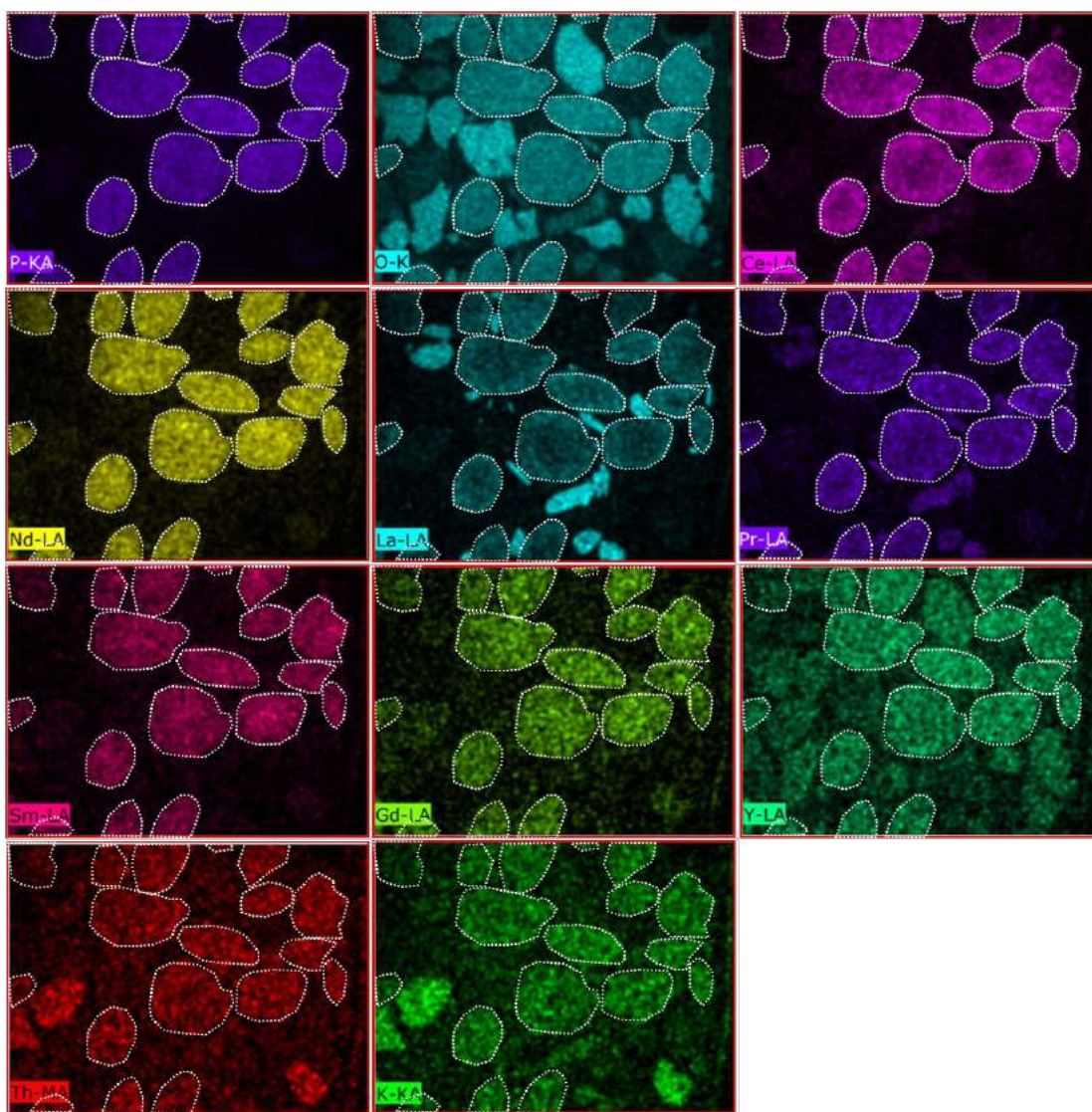


Figure 1 - Échantillon 365213 - cartographie élémentaire mettant en évidence la présence de grains de Monazite-(Ce).

Les grains de monazite sont riches en inclusions minérales, visibles sur la Figure 2 suivante, qui pourraient possiblement contenir de la silice (Si), du fer (Fe), de l'aluminium (Al) et certains des éléments observés sur

<sup>1</sup> <https://www.mindat.org/min-2751.html>



la cartographie élémentaire précédente (Figure 1). Ces inclusions donnent une apparence poreuse aux grains dans la section polie.

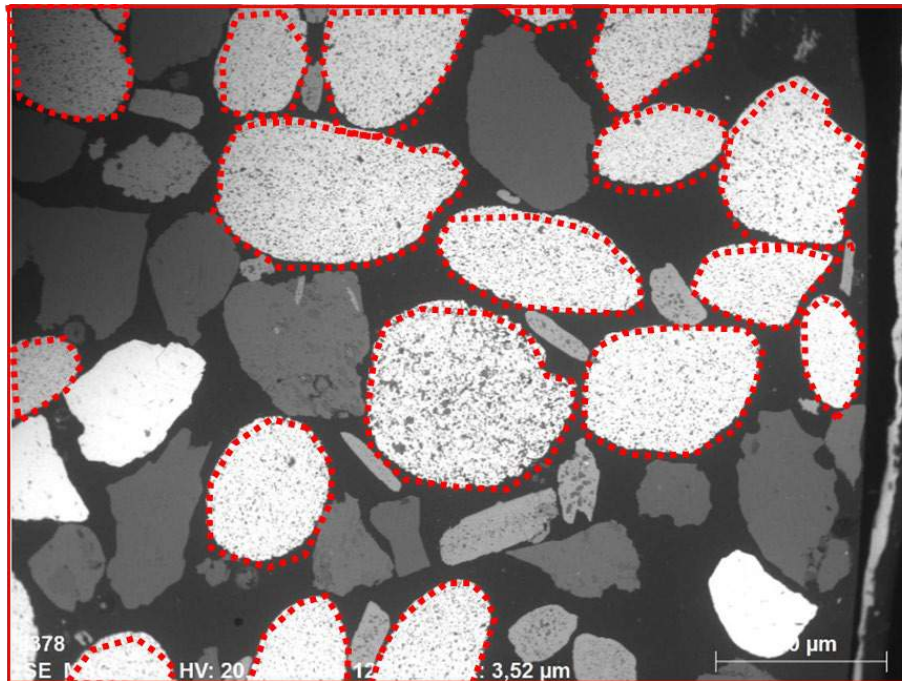


Figure 2 - Échantillon 365213 - grains analysés au MEB-EDX identifiés comme de la Monazite-(Ce)(en tiret rouge).

**Ilménite** : La cartographie élémentaire a mis en évidence des grains identifiés comme de l'ilménite contenant du fer et du titane ( $\text{FeTiO}_3$ ). Ces grains pourraient aussi contenir du lanthane (La) et du praséodyme (Pr). Les grains d'ilménites sont libérés ou en inclusions dans d'autres grains et sont visibles sur les Figure 3 et Figure 4 suivantes :

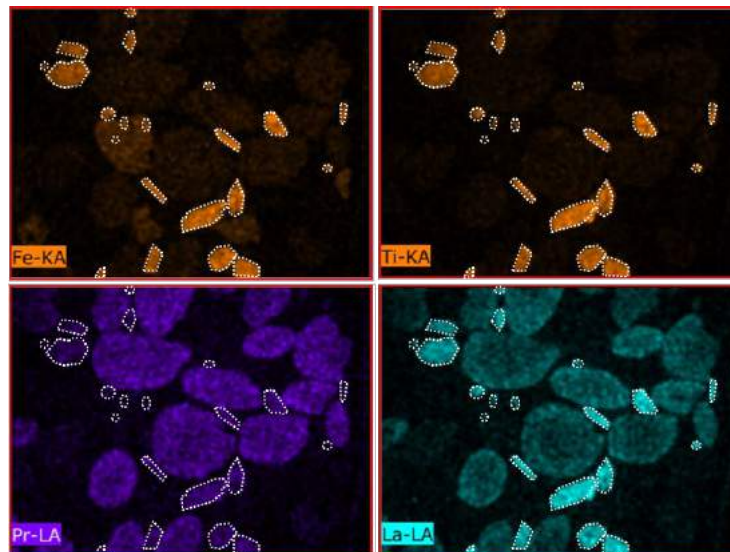


Figure 3 - Échantillon 365213 - cartographie élémentaire mettant en évidence la présence de grains d'ilménite.

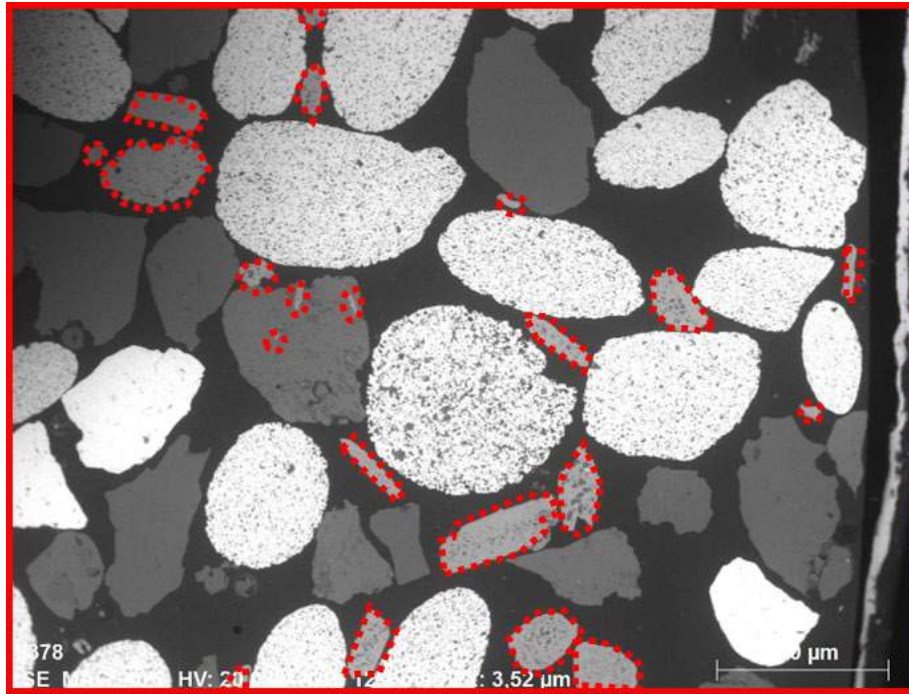


Figure 4 -Échantillon 365213 - grains analysés au MEB-EDX identifiés comme de l'ilménite (en tiret rouge).

**Étain** : Quelques grains contenant de l'étain (Sn) ont été observés au MEB-EDX, avec du thorium et du possiblement du potassium.<sup>2</sup> Ces grains sont visibles sur les Figure 5 et Figure 6 suivantes :

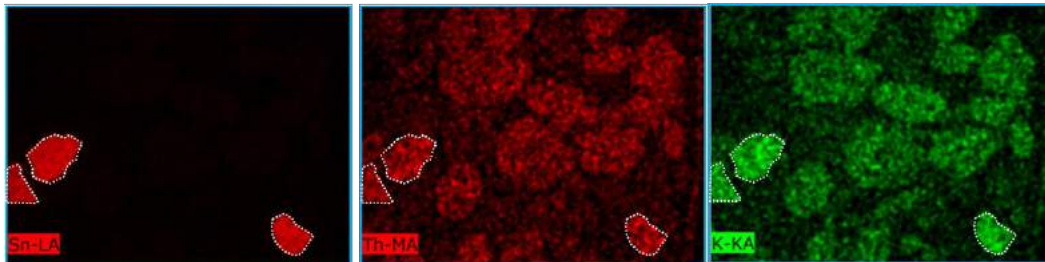


Figure 5 - Échantillon 365213 - cartographie élémentaire mettant en évidence la présence de grains contenant de l'étain (Sn).

<sup>2</sup> <https://pubs.geoscienceworld.org/books/book/1998/chapter/16271441/Placer-Type-Rare-Earth-Element-Deposits>

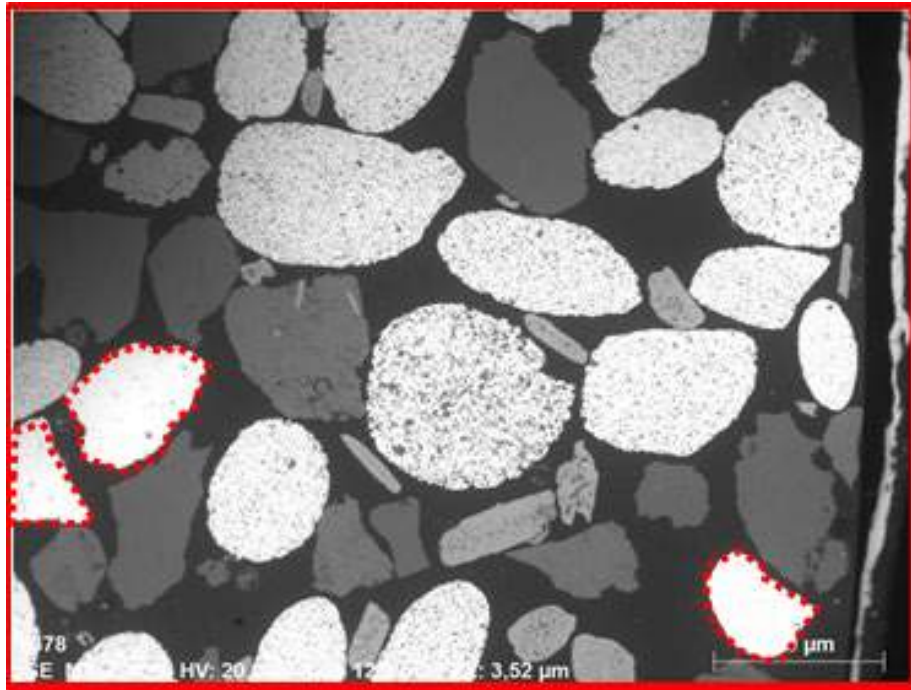


Figure 6 - Échantillon 365213 - grains analysés au MEB-EDX contenant de l'étain (en tiret rouge).

### 1.3 VUE MACROSCOPIQUE

La portion de section polie analysée au MEB-EDX est localisée sur la figure suivante :



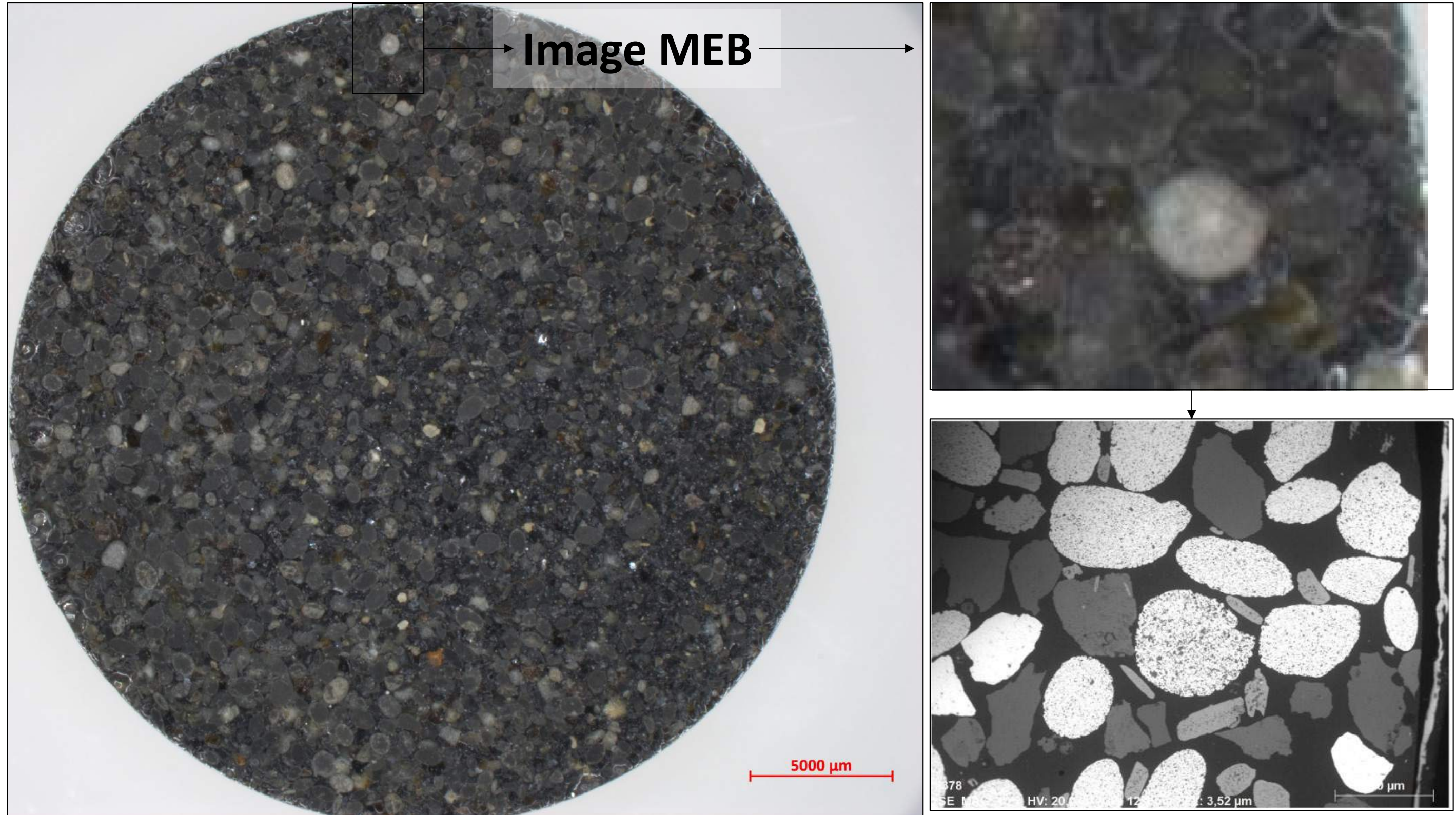


Figure 7 - Échantillon 365213 - Grains analysés sur la section polie.



## 2 ÉCHANTILLON 365215

### 2.1 COMPOSITION CHIMIQUE ÉVALUÉE AU XRF-SQ

Le résultat de l'analyse XRF-SQ pour cet échantillon est présenté au tableau suivant :

*Tableau 2 - Résultat d'analyse XRF-SQ de l'échantillon 365215.*

| <b># 365215</b> |               |
|-----------------|---------------|
| <b>Formule</b>  | <b>%</b>      |
| CeO2            | 23,46%        |
| SiO2            | 21,40%        |
| P2O5            | 13,23%        |
| SnO2            | 10,75%        |
| Nd2O3           | 9,22%         |
| La2O3           | 6,84%         |
| Al2O3           | 3,38%         |
| TiO2            | 3,26%         |
| Fe2O3           | 2,99%         |
| Pr6O11          | 1,89%         |
| Sm2O3           | 1,37%         |
| Gd2O3           | 0,53%         |
| ThO2            | 0,39%         |
| Y2O3            | 0,32%         |
| K2O             | 0,28%         |
| PbO             | 0,16%         |
| SrO             | 0,11%         |
| Nb2O5           | 0,09%         |
| MnO             | 0,08%         |
| ZrO2            | 0,07%         |
| Ta2O5           | 0,07%         |
| ZnO             | 0,06%         |
| WO3             | 0,02%         |
| NiO             | 0,02%         |
| <b>Total</b>    | <b>99,99%</b> |

## 2.2 OBSERVATION MEB-EDX

**Monazite-(Ce)** : De façon similaire à l'échantillon 365213, l'échantillon 365215 est constitué de ce qui semble être de la monazite de cérium ((Ce)PO<sub>4</sub>). Les grains de monazite contiennent aussi des terres rares de remplacement comme le néodyme (Nd), lanthane (La), praséodyme (Pr), samarium (Sm), gadolinium (Gd) et d'yttrium (Y). Il semble avoir des traces de thorium (Th) et potassium (K) (Figure 8).

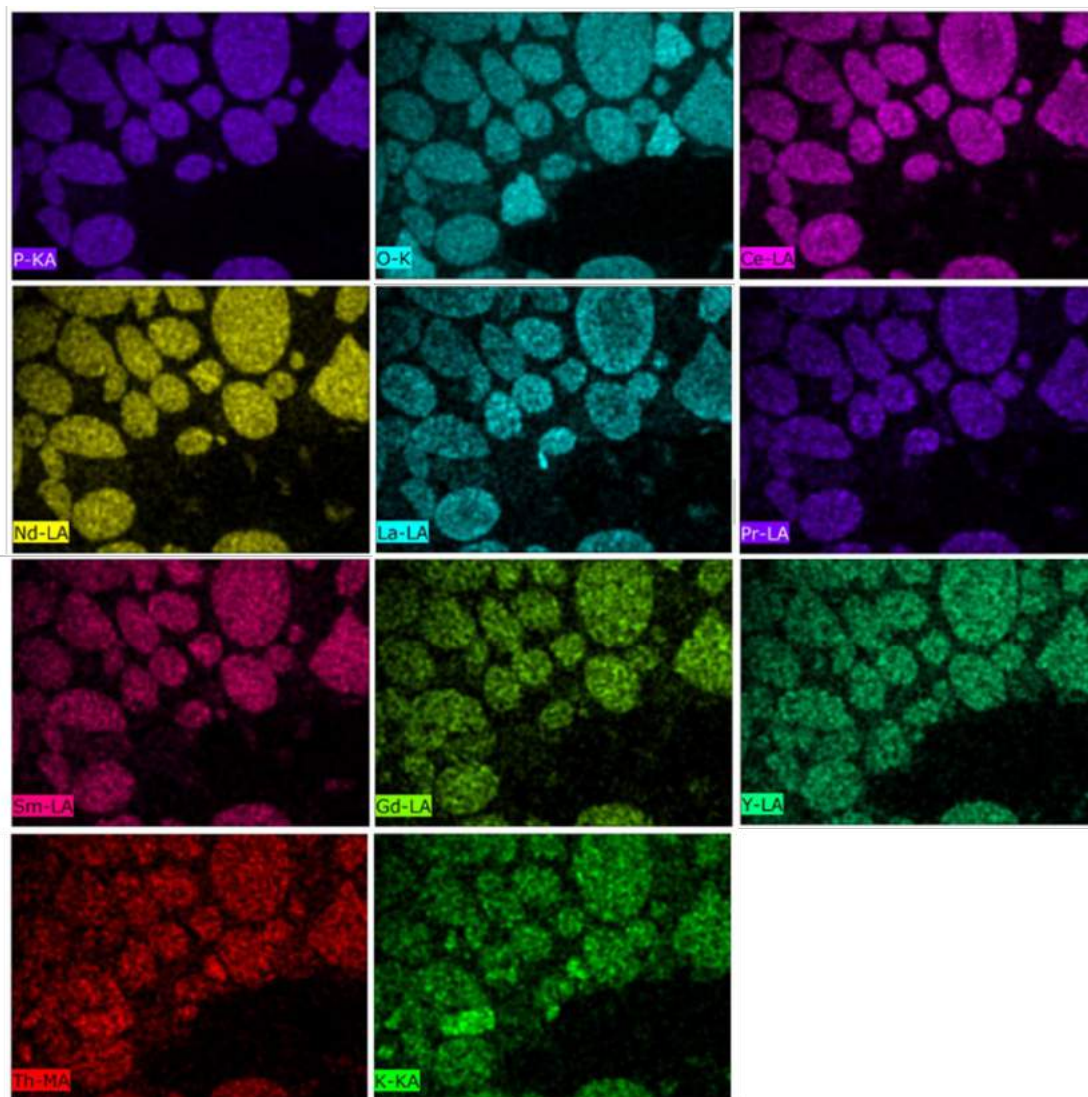


Figure 8 - Échantillon 365215 - cartographie élémentaire mettant en évidence la présence de grains de Monazite-(Ce).

**Ilménite** : La cartographie élémentaire a aussi mis en évidence un grain identifié comme de l'ilménite contenant du fer et du titane ( $\text{FeTiO}_3$ ) (flèche blanche sur la Figure 9). Ce grain semble aussi contenir du lanthane (La) et du praséodyme (Pr).

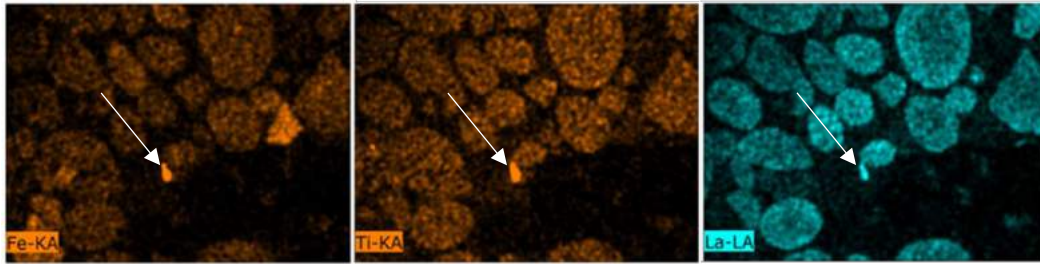


Figure 9 - Échantillon 365215 - cartographie élémentaire mettant en évidence la présence d'un grain d'ilménite.

**Étain** : Quelques grains contenant de l'étain (Sn) ont été observés au MEB-EDX, avec du potassium et possiblement du thorium (Th).

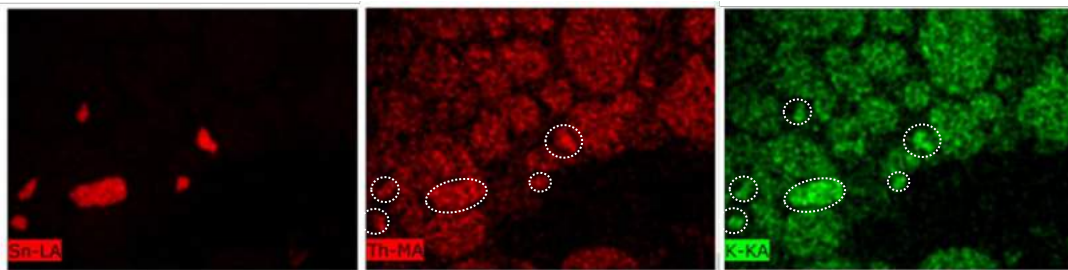


Figure 10 - Échantillon 365215 - cartographie élémentaire mettant en évidence la présence de grains contenant de l'étain (Sn).

**Silicates** : la zone analysée semble contenir des grains de quartz, riches en silice (Si) et dépourvus d'autres éléments significatifs. On retrouve aussi un grain contenant de l'aluminium (Al), du fer (Fe) avec un peu de silice (Si), pouvant être un minéral silicaté contenant du fer.

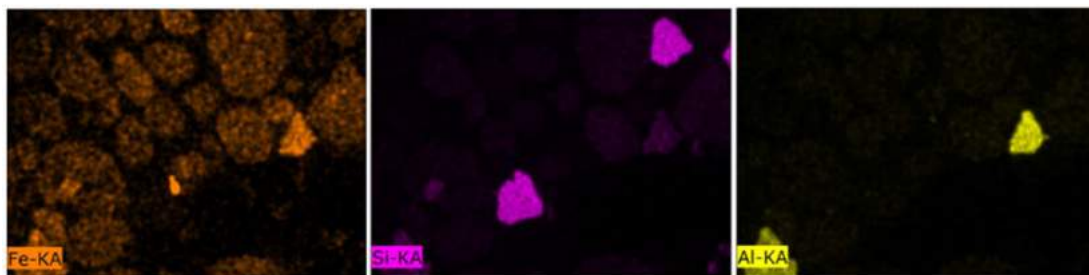


Figure 11 - Échantillon 365215 - cartographie élémentaire mettant en évidence la présence de grains enrichis en fer (Fe), silice (Si) et aluminium (Al).

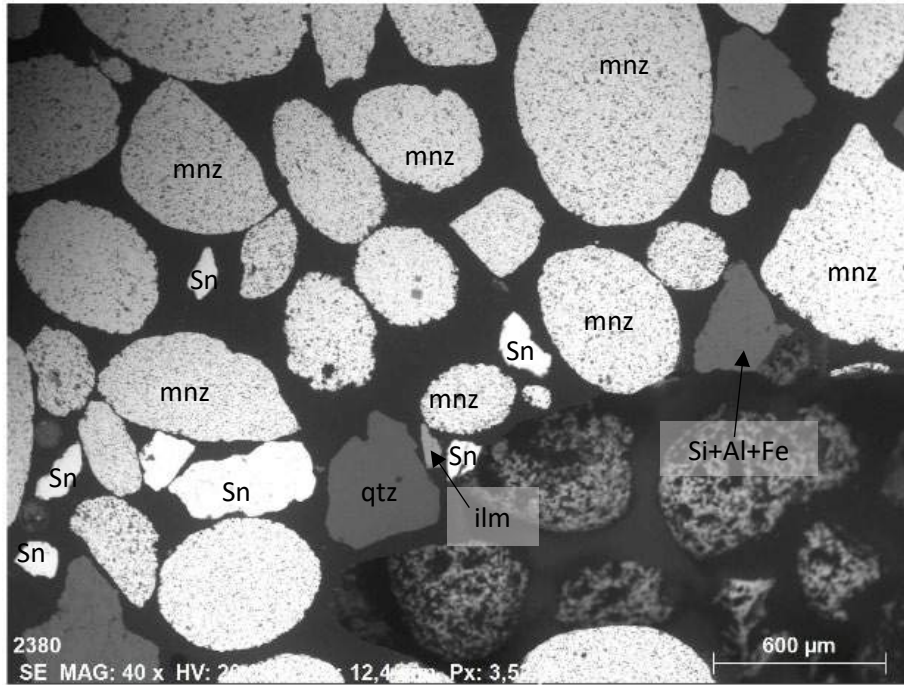


Figure 12 – Échantillon 365215 – zone analysée au MEB-EDX en identification de minéraux suggérée (mnz = monazite, Sn = étain, qtz = quartz, ilm = ilménite).

### 2.3 VUE MACROSCOPIQUE

La portion de section polie analysée au MEB-EDX est localisée sur la figure suivante :



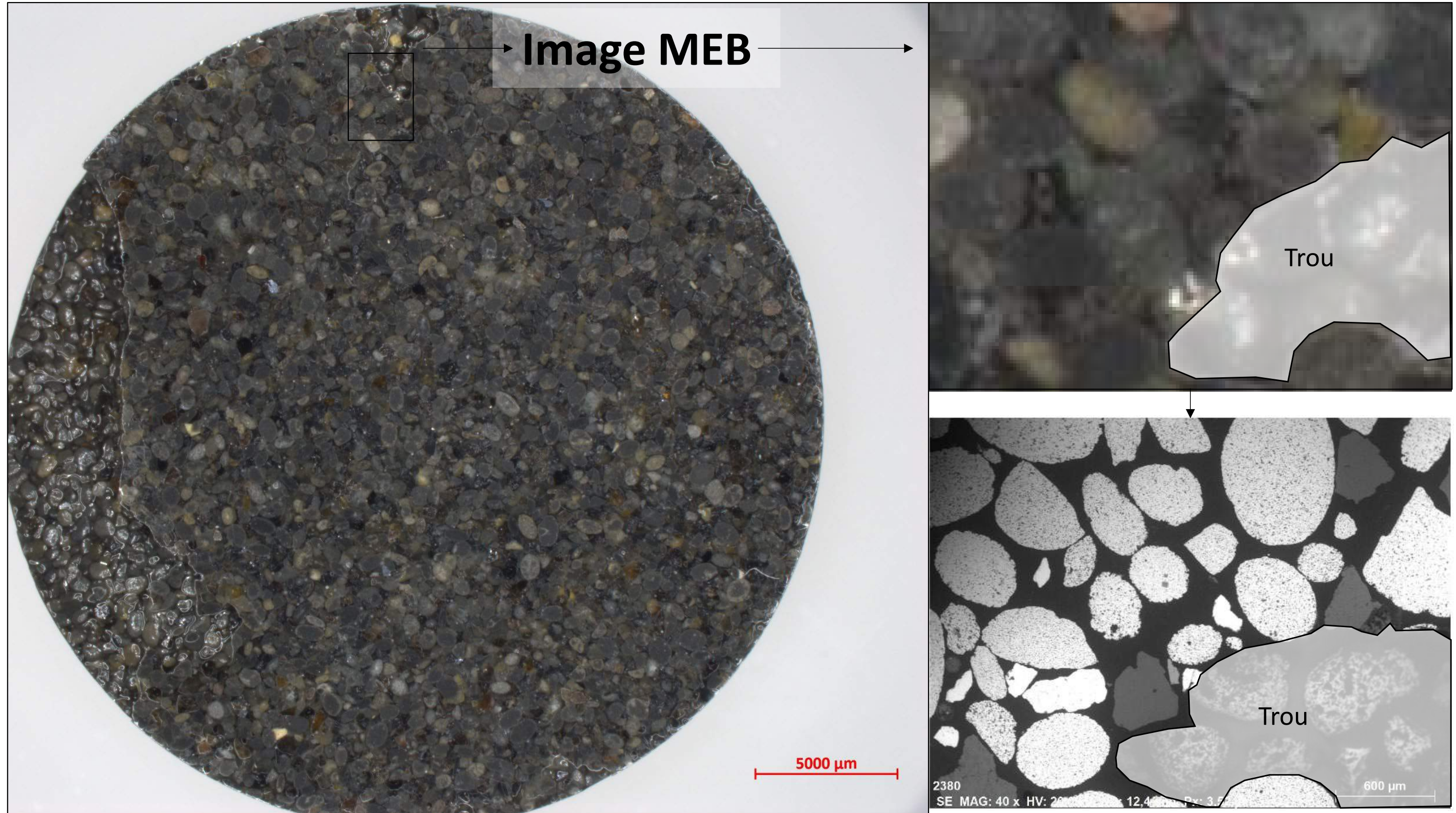


Figure 13 - Échantillon 365215 - Grains analysés sur la section polie.

### 3 ÉCHANTILLON 365230

#### 3.1 COMPOSITION CHIMIQUE ÉVALUÉE AU XRF-SQ

Le résultat de l'analyse XRF-SQ pour cet échantillon est présenté au tableau suivant :

*Tableau 3 - Résultat d'analyse XRF-SQ de l'échantillon 365230.*

| <b># 365230</b> |               |
|-----------------|---------------|
| <b>Formule</b>  | <b>%</b>      |
| CeO2            | 17,33%        |
| SiO2            | 16,68%        |
| Fe2O3           | 13,49%        |
| TiO2            | 10,85%        |
| P2O5            | 10,62%        |
| Al2O3           | 10,37%        |
| Nd2O3           | 7,11%         |
| La2O3           | 5,35%         |
| SnO2            | 2,69%         |
| Pr6O11          | 1,53%         |
| Sm2O3           | 1,08%         |
| ThO2            | 0,38%         |
| MnO             | 0,38%         |
| Gd2O3           | 0,38%         |
| K2O             | 0,36%         |
| Y2O3            | 0,27%         |
| MgO             | 0,20%         |
| ZrO2            | 0,16%         |
| Nb2O5           | 0,15%         |
| Ta2O5           | 0,14%         |
| ZnO             | 0,14%         |
| CaO             | 0,11%         |
| SrO             | 0,09%         |
| PbO             | 0,05%         |
| WO3             | 0,04%         |
| SO3             | 0,03%         |
| NiO             | 0,01%         |
| <b>Total</b>    | <b>99,99%</b> |



### 3.2 OBSERVATION MEB-EDX

**Monazite-(Ce)** : De la monazite de cérium ((Ce)PO<sub>4</sub>) serait retrouvée dans l'échantillon 365230. Les grains de monazite contiennent aussi des terres rares de remplacement comme le néodyme (Nd), lanthane (La), praséodyme (Pr), samarium (Sm), gadolinium (Gd) et d'yttrium (Y). Du zirconium (Zr) et du titane (Ti) sont possiblement associés aux particules de monazite.

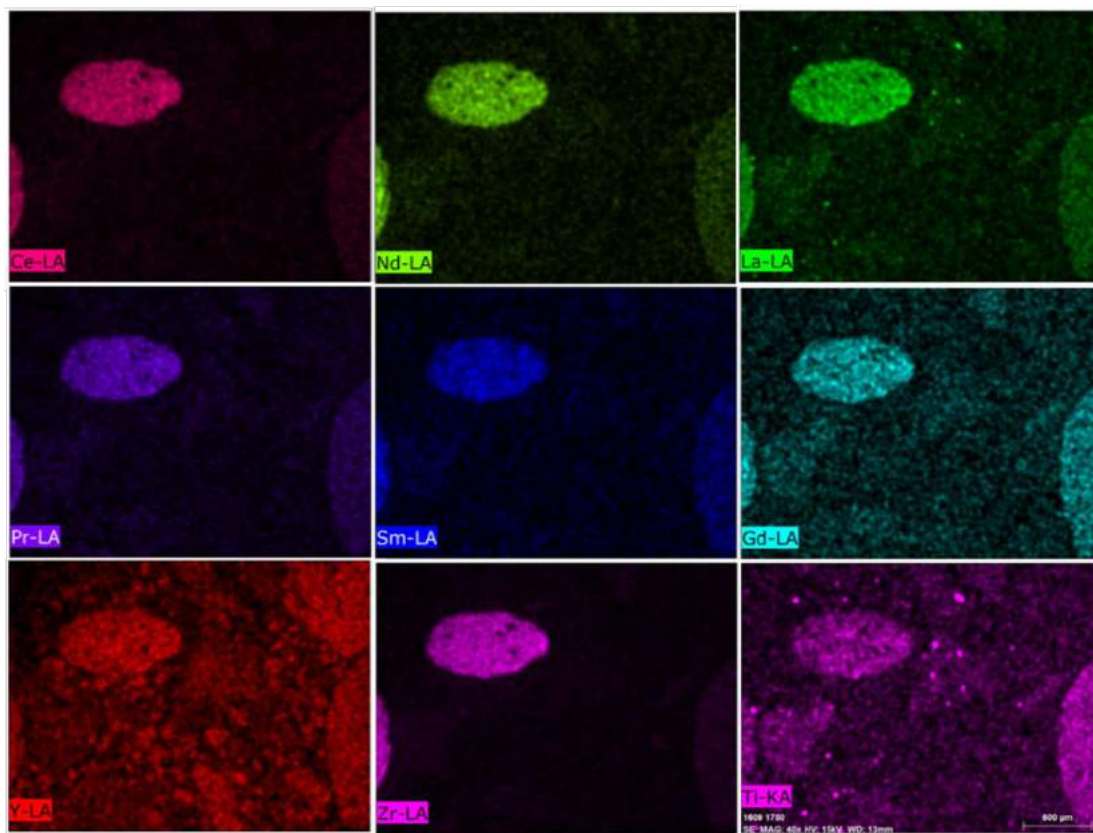


Figure 14 - Échantillon 365230- cartographie élémentaire mettant en évidence la présence de grains de Monazite-(Ce).

**Ilménite** : La cartographie élémentaire a mis en évidence de possibles petites inclusions d'ilménite contenant du fer et du titane (FeTiO<sub>3</sub>) (flèches blanches sur la Figure 14).

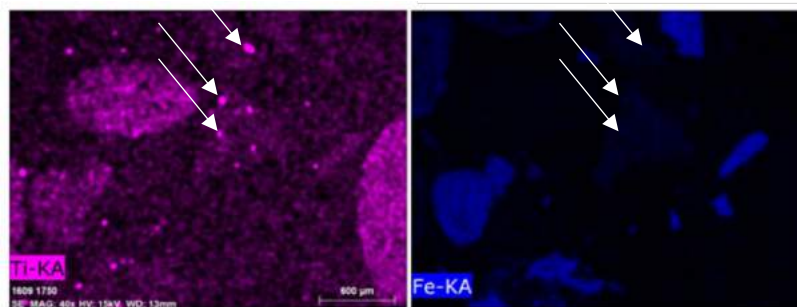


Figure 15 - Échantillon 365230 - cartographie élémentaire mettant en évidence la présence possible de quelques inclusions d'ilménite.

**Étain :** Un grain contenant de l'étain (Sn) a été observé au MEB-EDX, avec possiblement du titane (Ti) associé.

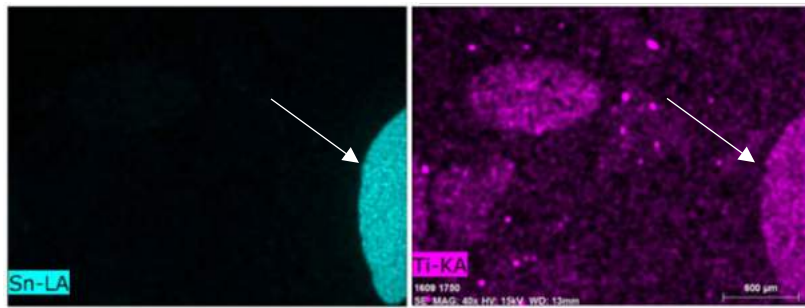


Figure 16 - Échantillon 365230 - cartographie élémentaire mettant en évidence la présence d'un grain contenant de l'étain (Sn) (flèche blanche).

**Autres :** la zone analysée semble contenir des grains de quartz anguleux et peu sphériques, riches en silice (Si) et dépourvus d'autres éléments significatifs (Figure 16). La forme de ces grains de quartz diffère des grains de monazite et d'étain qui sont très arrondis. Certains grains sont enrichis en aluminium (Figure 17) avec une association avec des petits grains de fer (Fe) et silice (Si). Des grains enrichis en fer sont aussi présents (Figure 18) et pourraient correspondre à des oxydes de fer, par exemple. La couleur des grains de cet échantillon s'apparente à la couleur de la bauxite. (Figure 21).



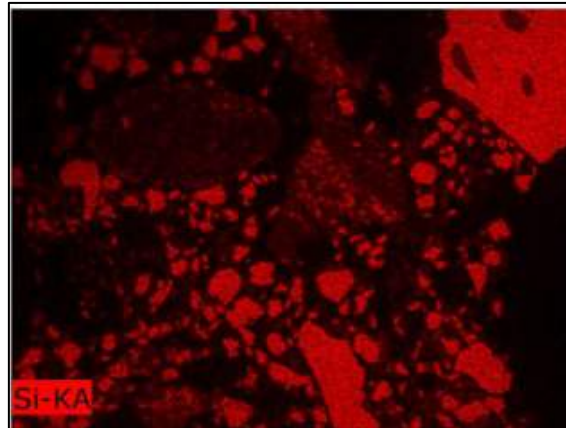


Figure 17 - Échantillon 365230- cartographie élémentaire mettant en évidence la présence de grains enrichis en silice (rouge clair).

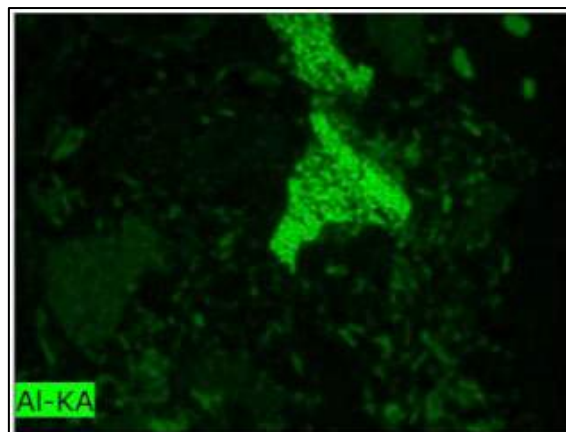


Figure 18 - Échantillon 365230- cartographie élémentaire mettant en évidence la présence de grains enrichis en aluminium (vert clair).

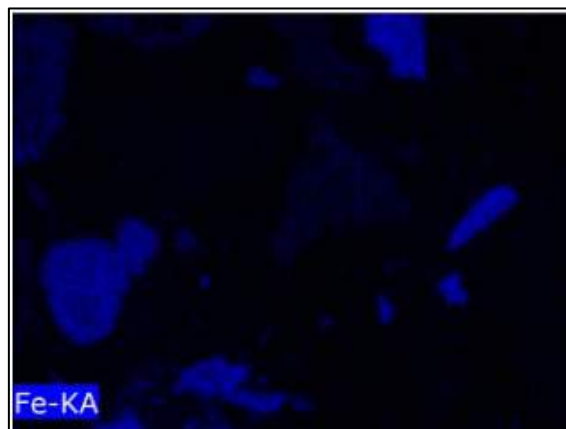


Figure 19 - Échantillon 365230- cartographie élémentaire mettant en évidence la présence de grains enrichis en fer (bleu clair).

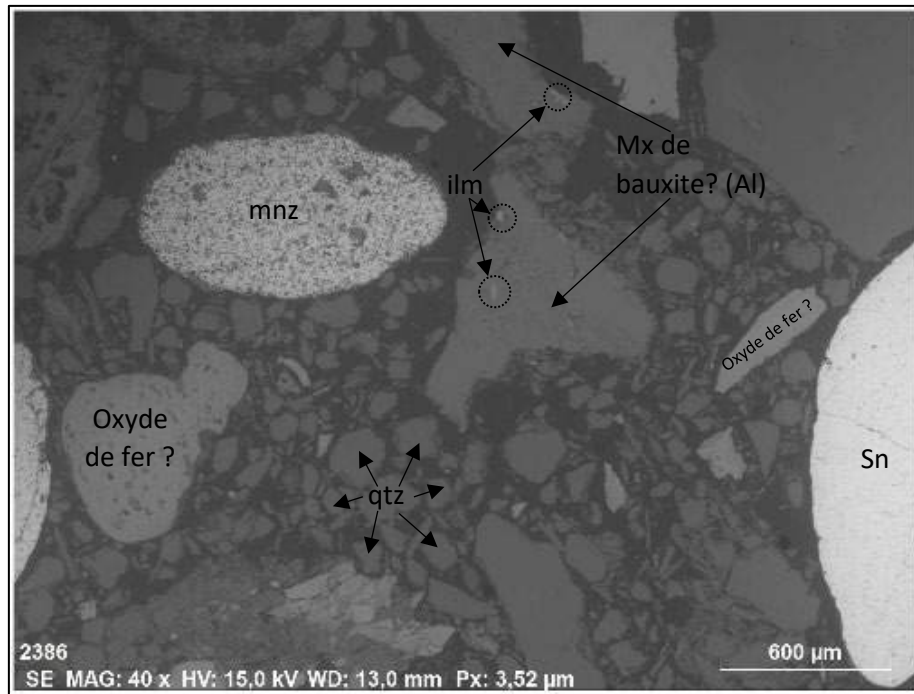


Figure 20 - Échantillon 365230 – zone analysée au MEB-EDX en identification possible des minéraux (mnz = monazite, Sn = étain, qtz = quartz, ilm = ilménite).

### 3.3 VUE MACROSCOPIQUE

La portion de section polie analysée au MEB-EDX est localisée sur la figure suivante :



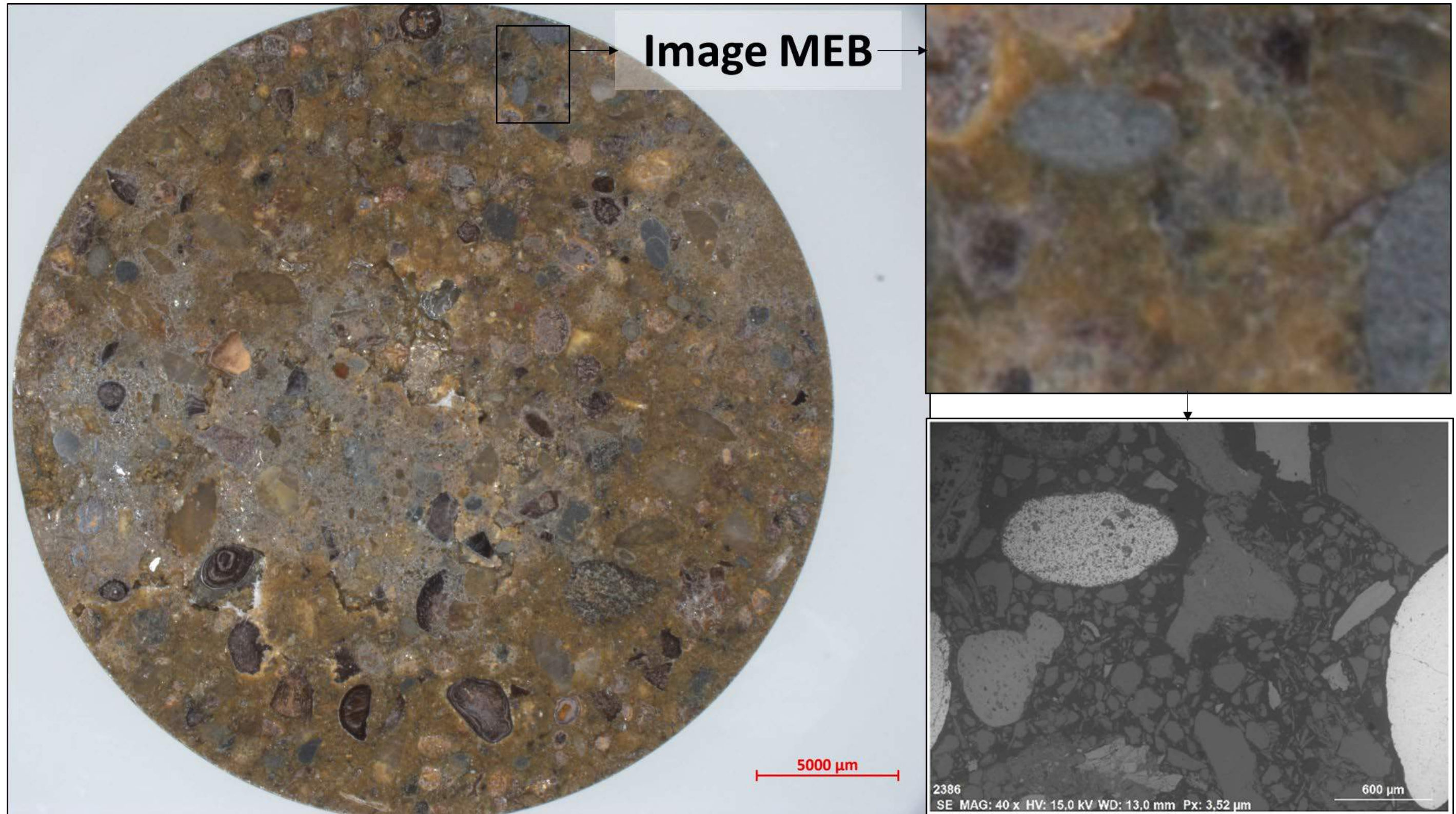


Figure 21 - Échantillon 365230 - Grains analysés sur la section polie.